

La dynamique atmosphérique des Céphéides, la rotation de la Voie Lactée et l'étalonnage des échelles de distance dans l'Univers



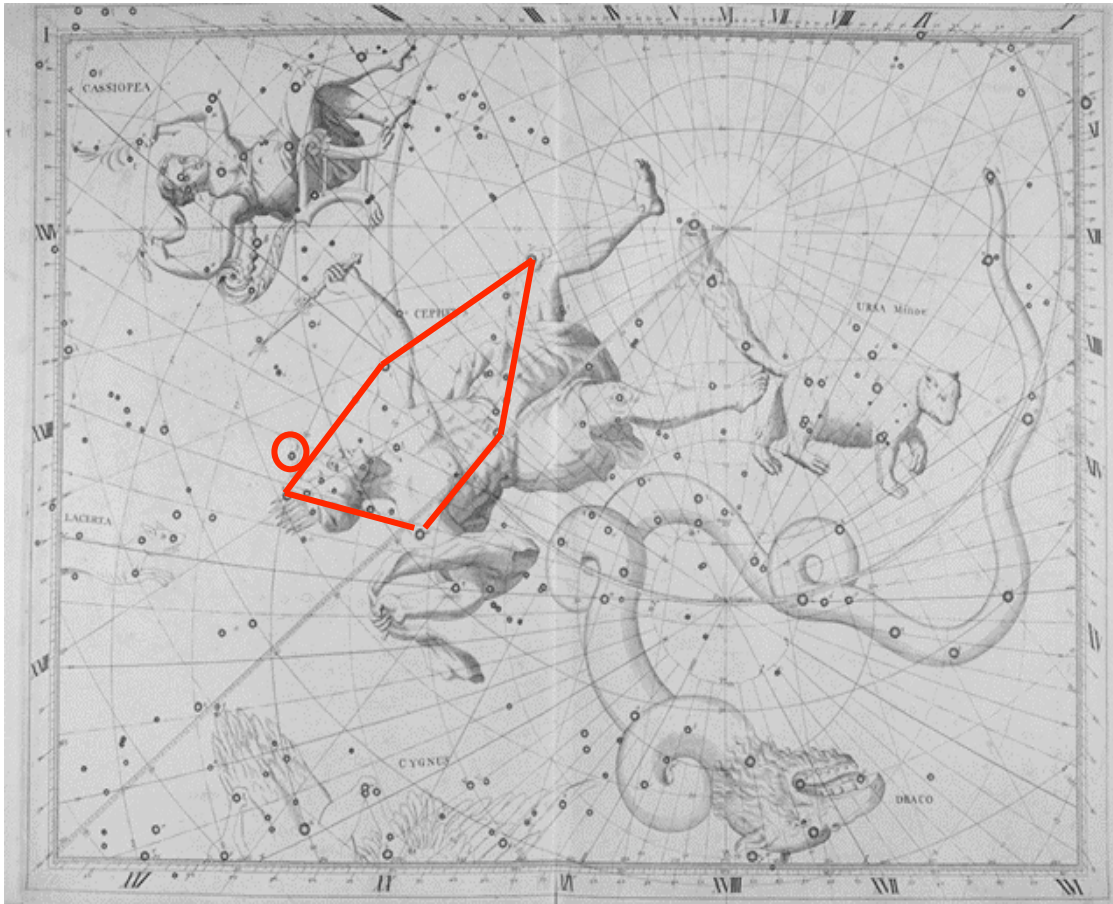
Sommaire:

- 1/ Les Céphéides : petit historique
- 2/ Etalonnage des échelles de distance dans l'Univers
- 3/ Structure Vélocimétrique de la Voie Lactée
- 4/ Enveloppe circumstellaire
- 5/ Perspectives : la spectro-interférométrie

Nicolas Nardetto

Post-Doc à l'Université de Concepcion, Chili

Découverte de la première Céphéide : δ Cephei



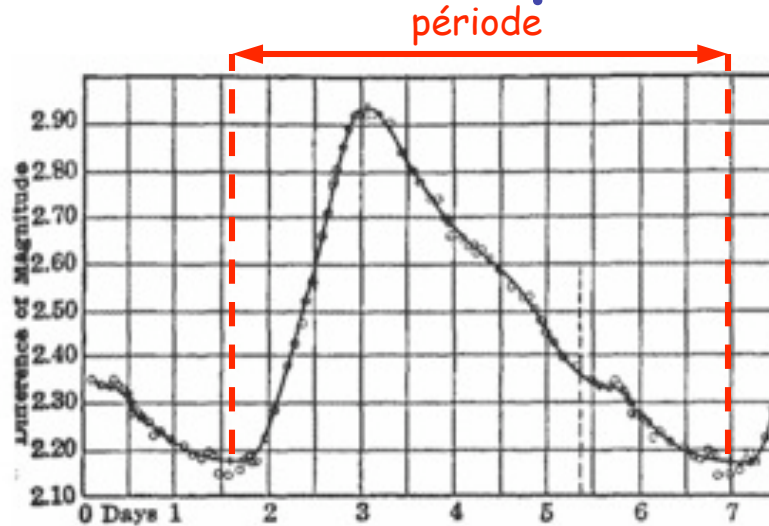
John Goodrick (1764-1786)

$M=5 M_{\odot}$
 $R=41.6 R_{\odot}$
 $L=2000 L_{\odot}$
 $T_{\text{eff}}=5500-6800 \text{ K}$

$P=5.36 \text{ jours}$
 $\Delta R/R=10\%$

Découverte de la relation période-luminosité (PL)

16 Céphéides dans les Nuages de Magellan



H. Leavitt (1908)

magnitude

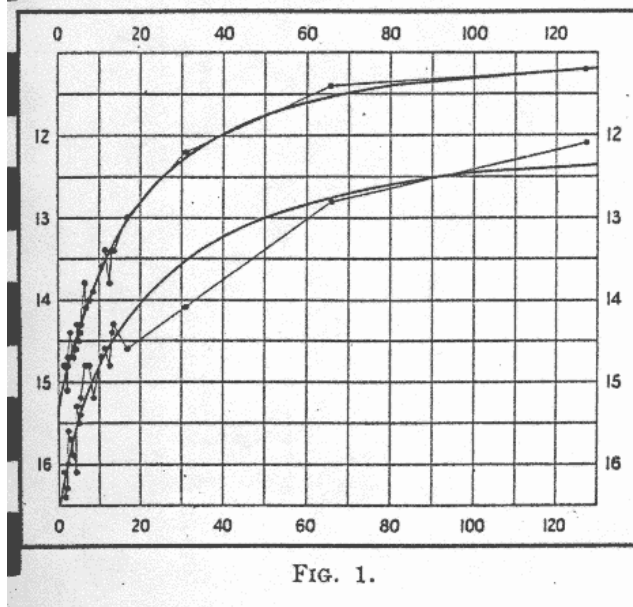


FIG. 1.

Période (jours)

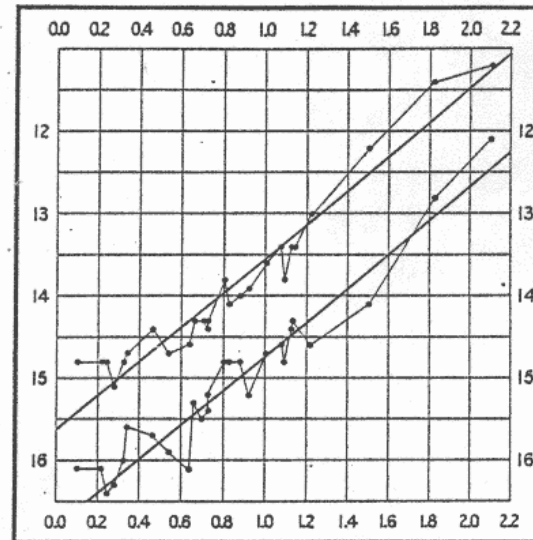


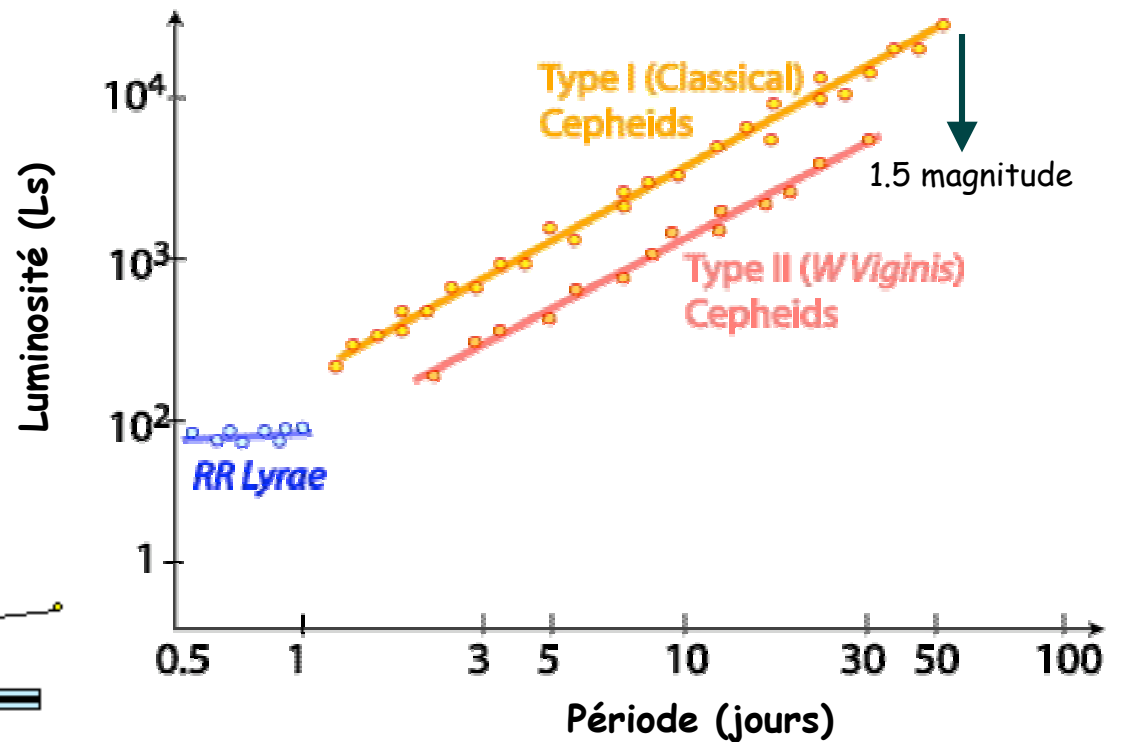
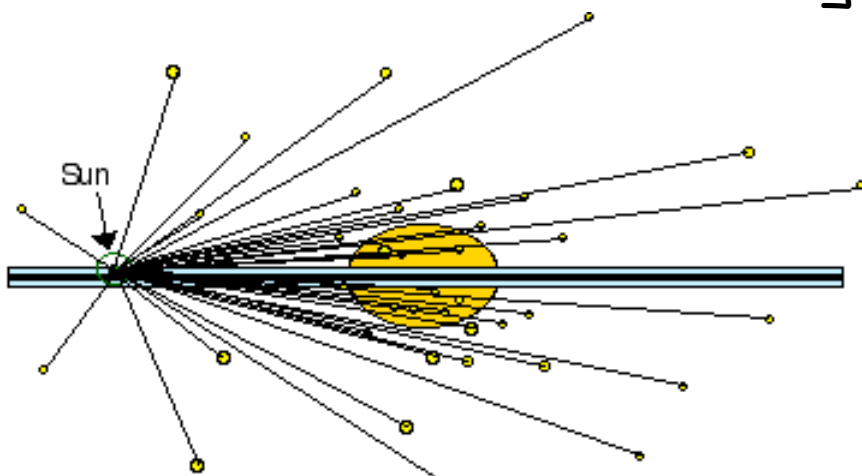
FIG. 2.

log P (jours)

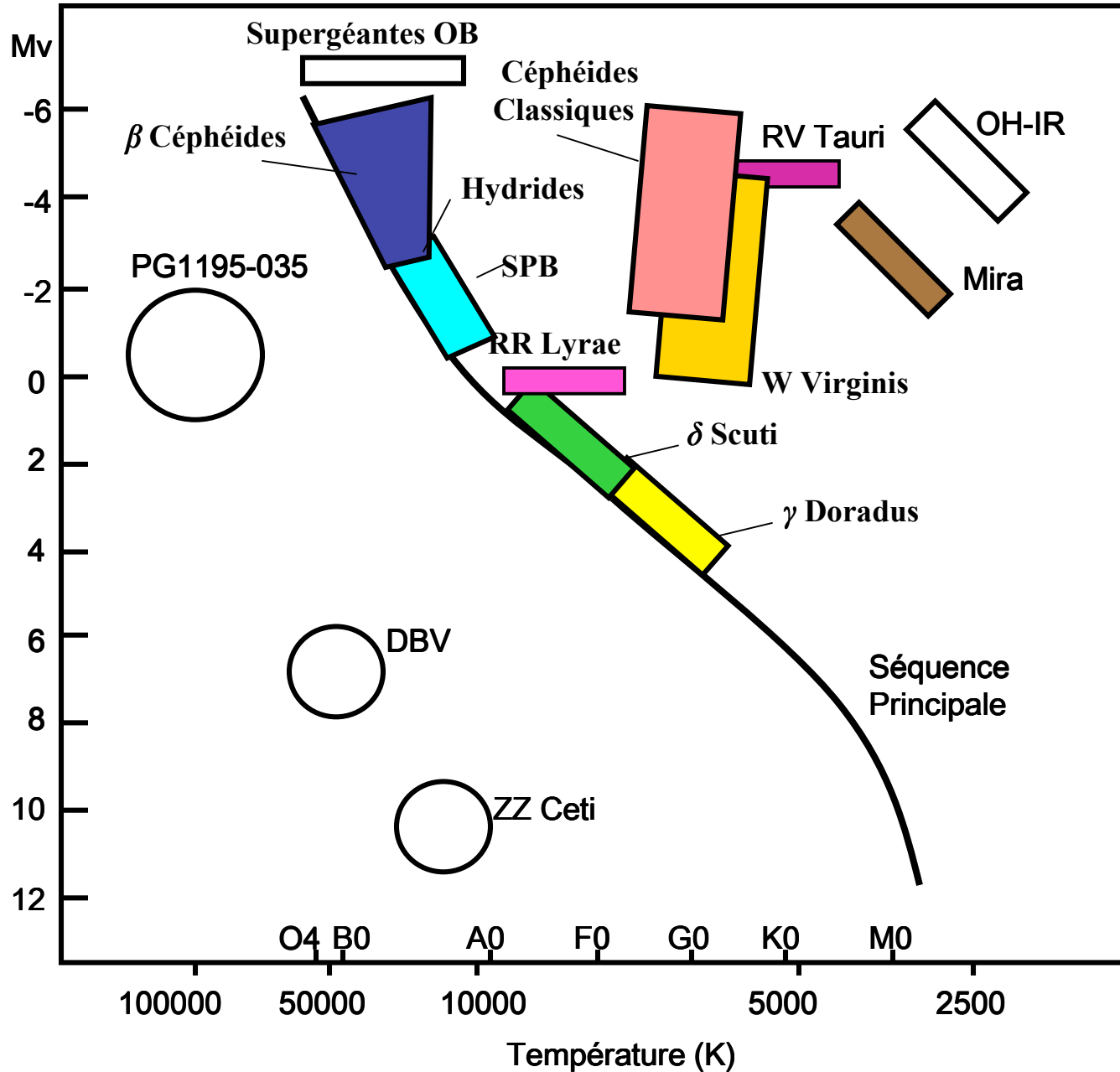
Premiers étalonnages de la relation PL

Hertzsprung (1913) : $\langle M \rangle = a + b \log_{10} P$ (3000 a.l. pour le SMC au lieu de 210000!)

Shapley (1920) : il confond les Céphéides de type I et de type II (ou W Virginis)

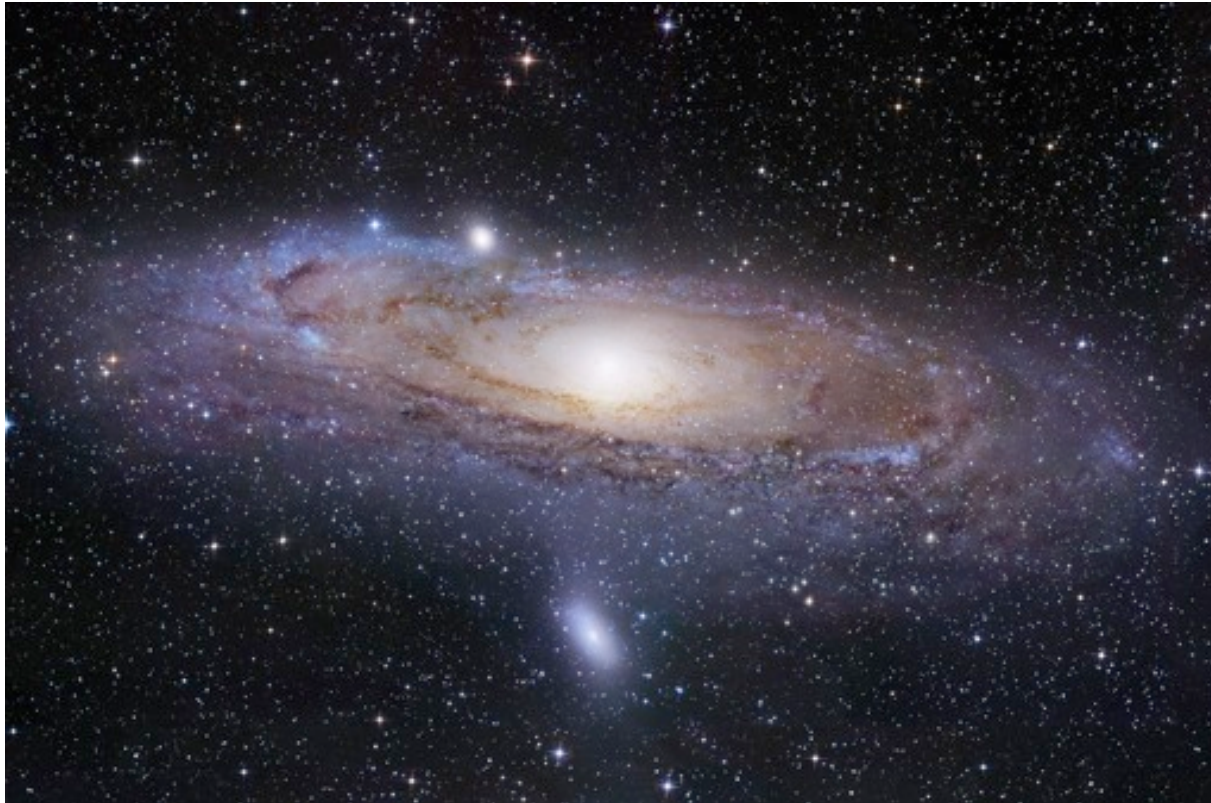


Les différents type d'étoiles pulsantes



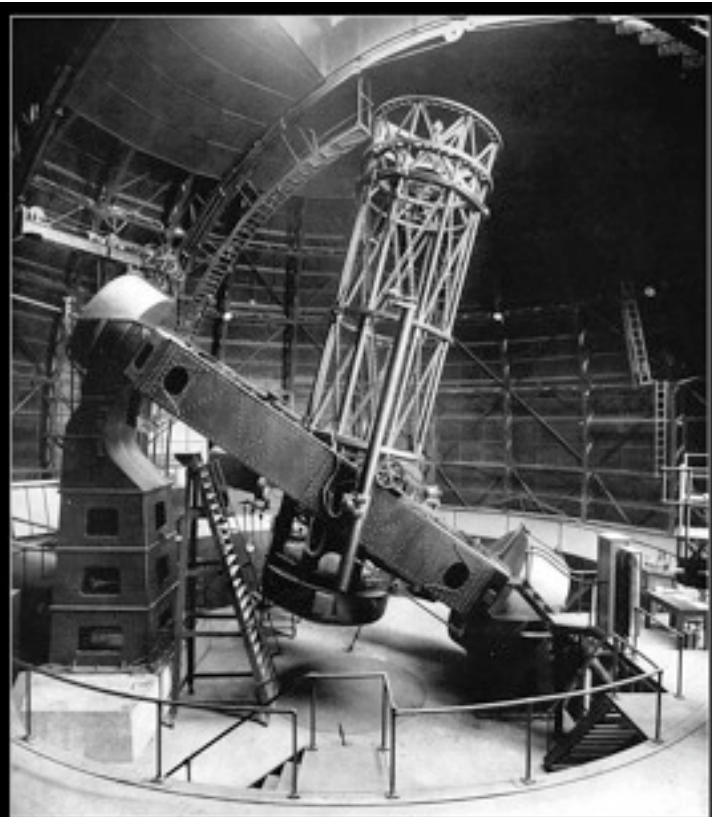
La distance à la Galaxie d'Andromède (M31)

Hubble (1925) : distance de M31, 2 fois trop près! Il observe les Céphéides de type I et utilise la relation de Shapley (valable pour les W Virginis).

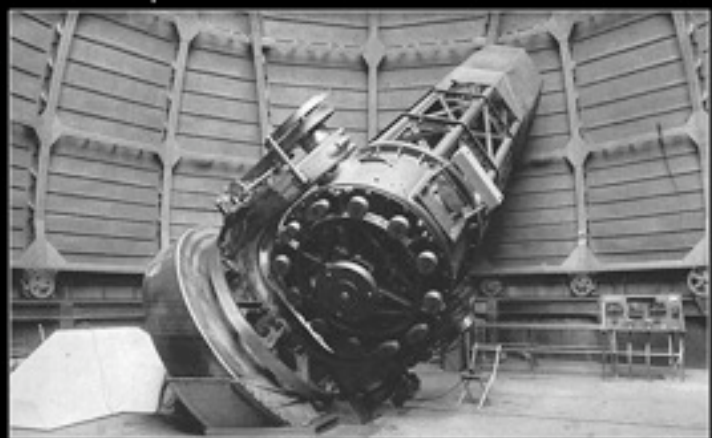


Baade (1944) : distinction entre les Céphéides et les W Virginis

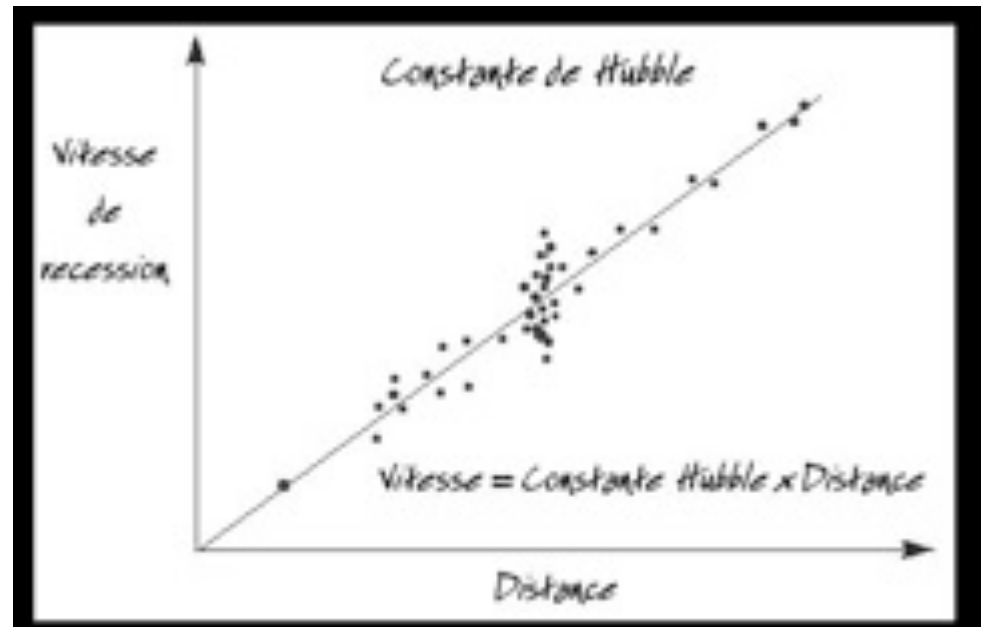
La constante de Hubble



Le telescope Hooker de 250G de l'Observatoire du Mont Wilson.

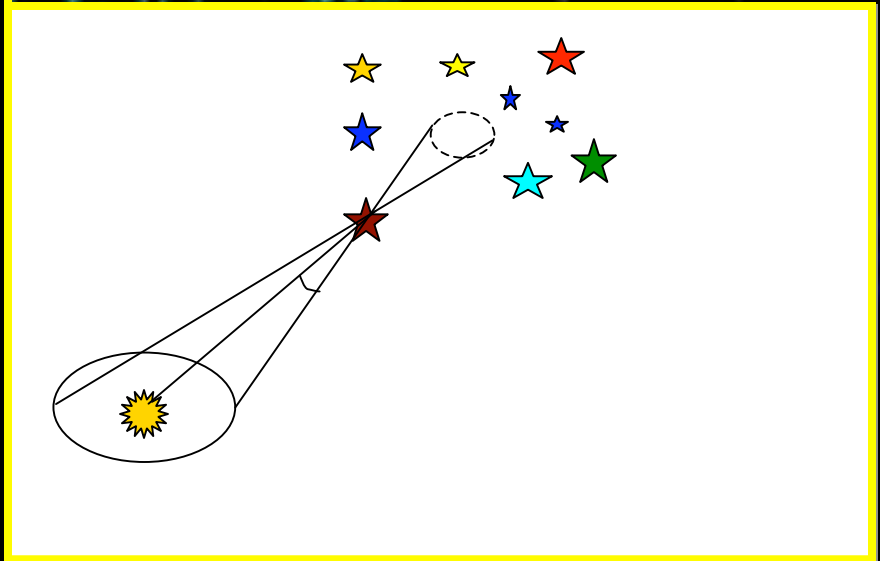


Le telescope equatorial de 100Z de l'Observatoire du Mont Wilson.



Hubble, 1929

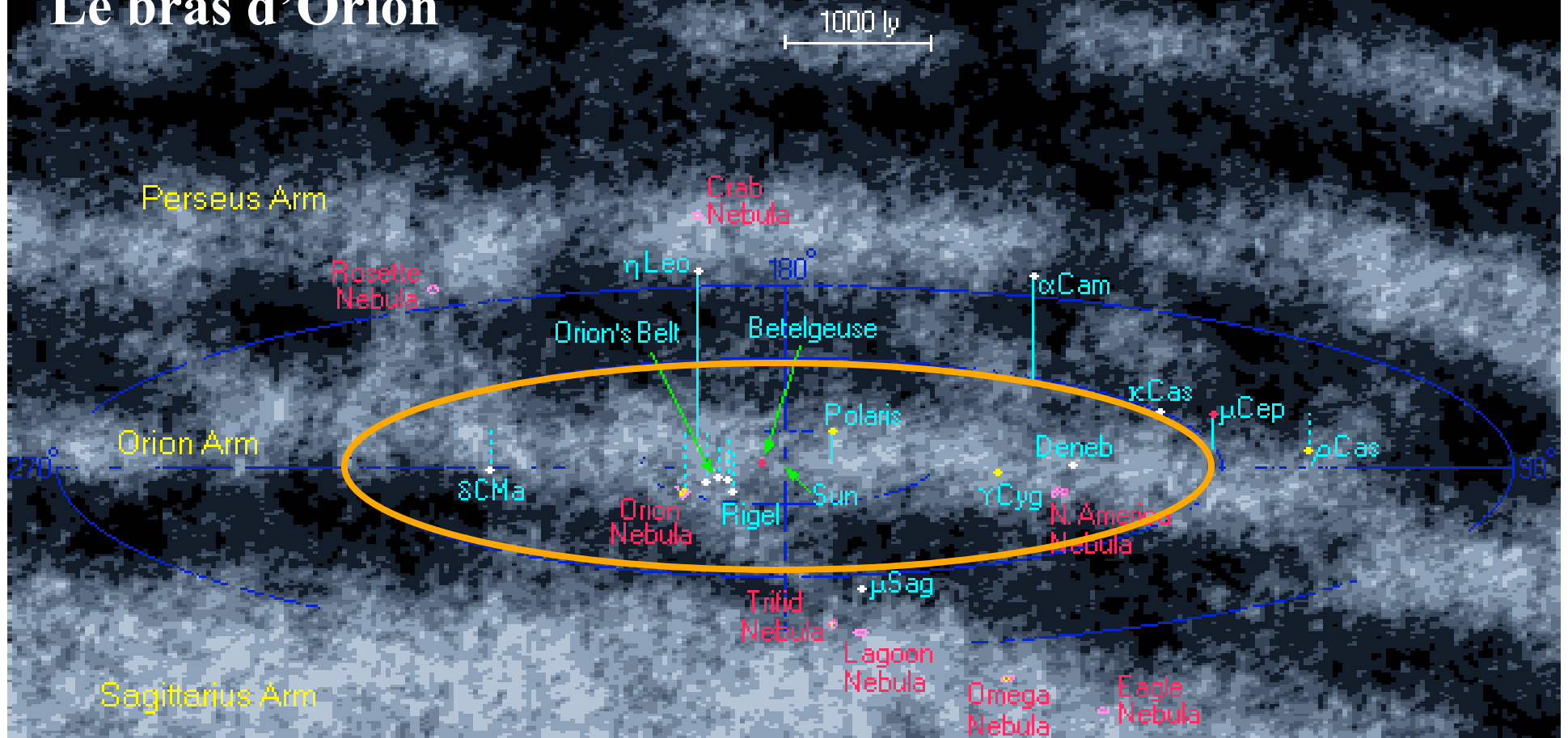
Le voisinage du Soleil (250 a.l.)



Parallaxe Trigonométrique

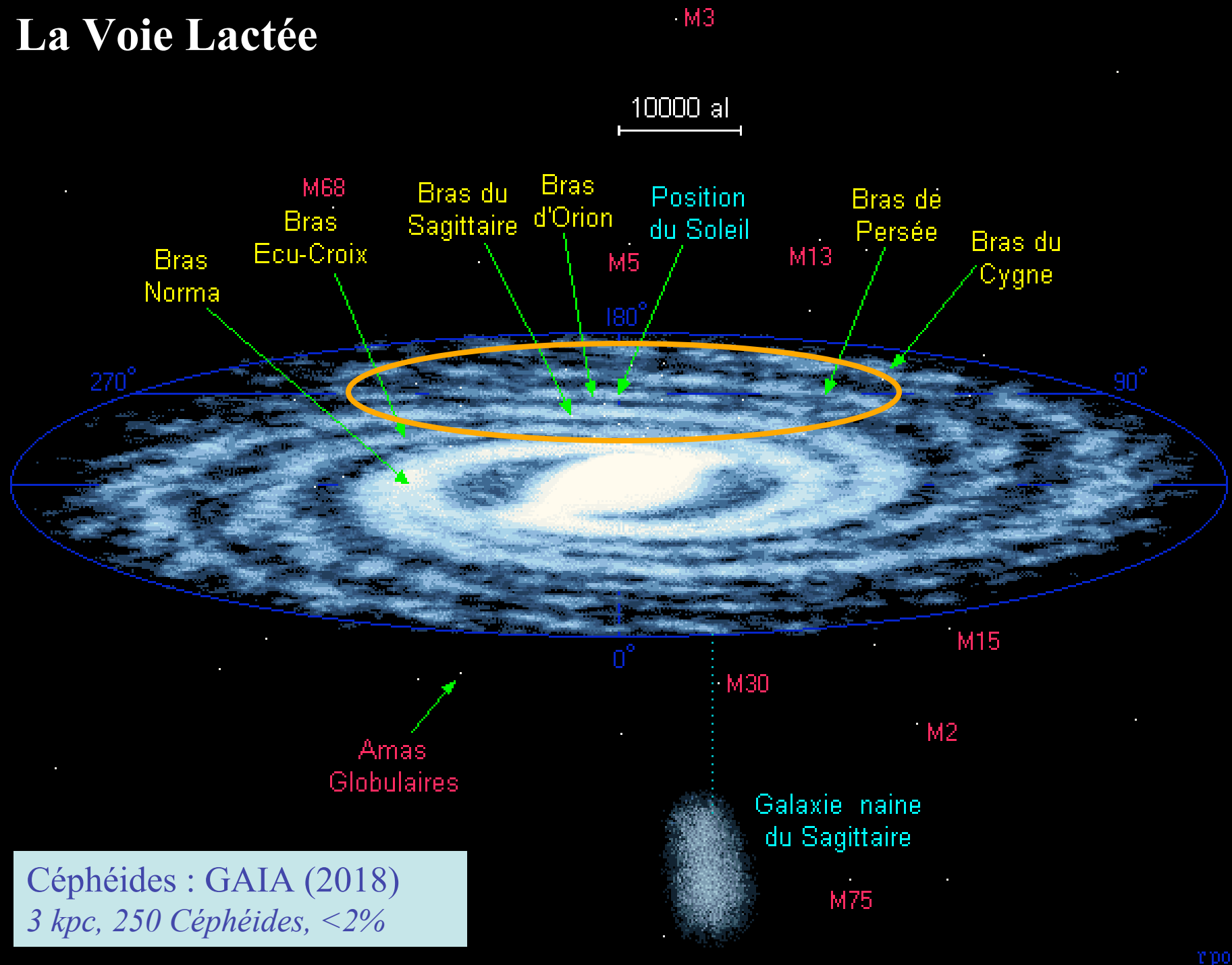
HIPPARCOS : 150pc, 6000 étoiles, 5%

Le bras d'Orion



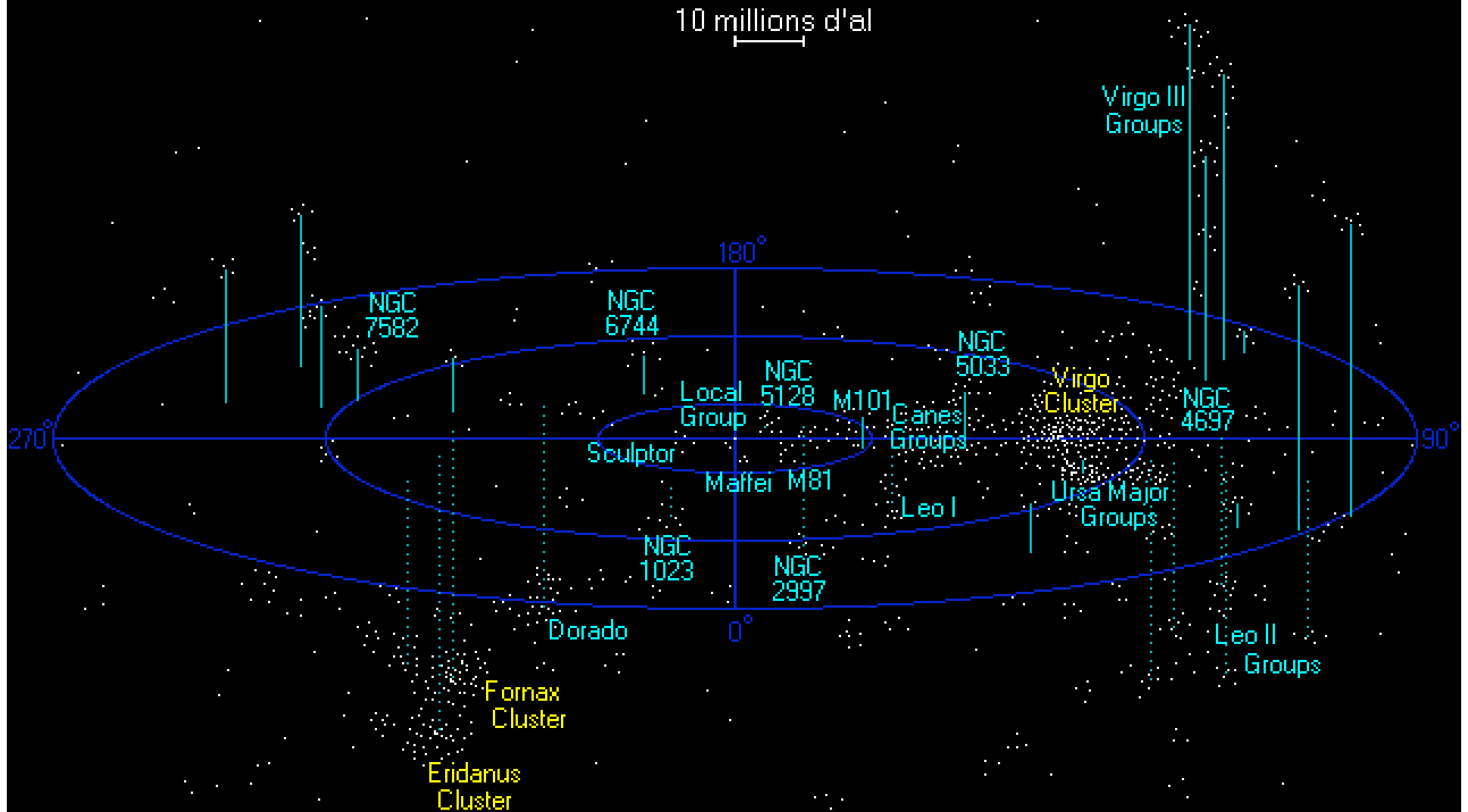
Céphéides : la parallaxe de pulsation
1kpc, 65 Céphéides, <5%

La Voie Lactée



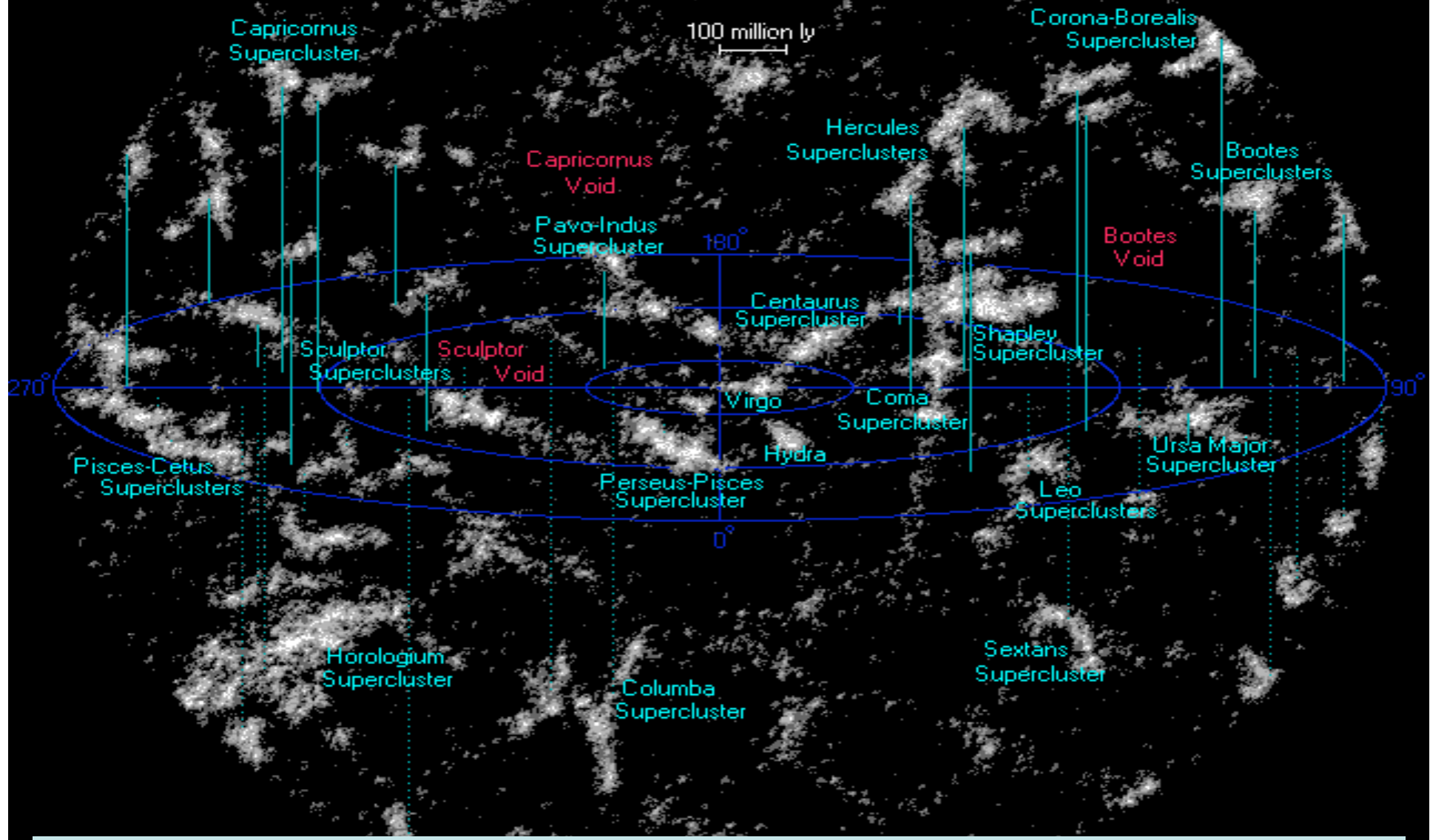
Le Superamas de la Vierge

10 millions d'al



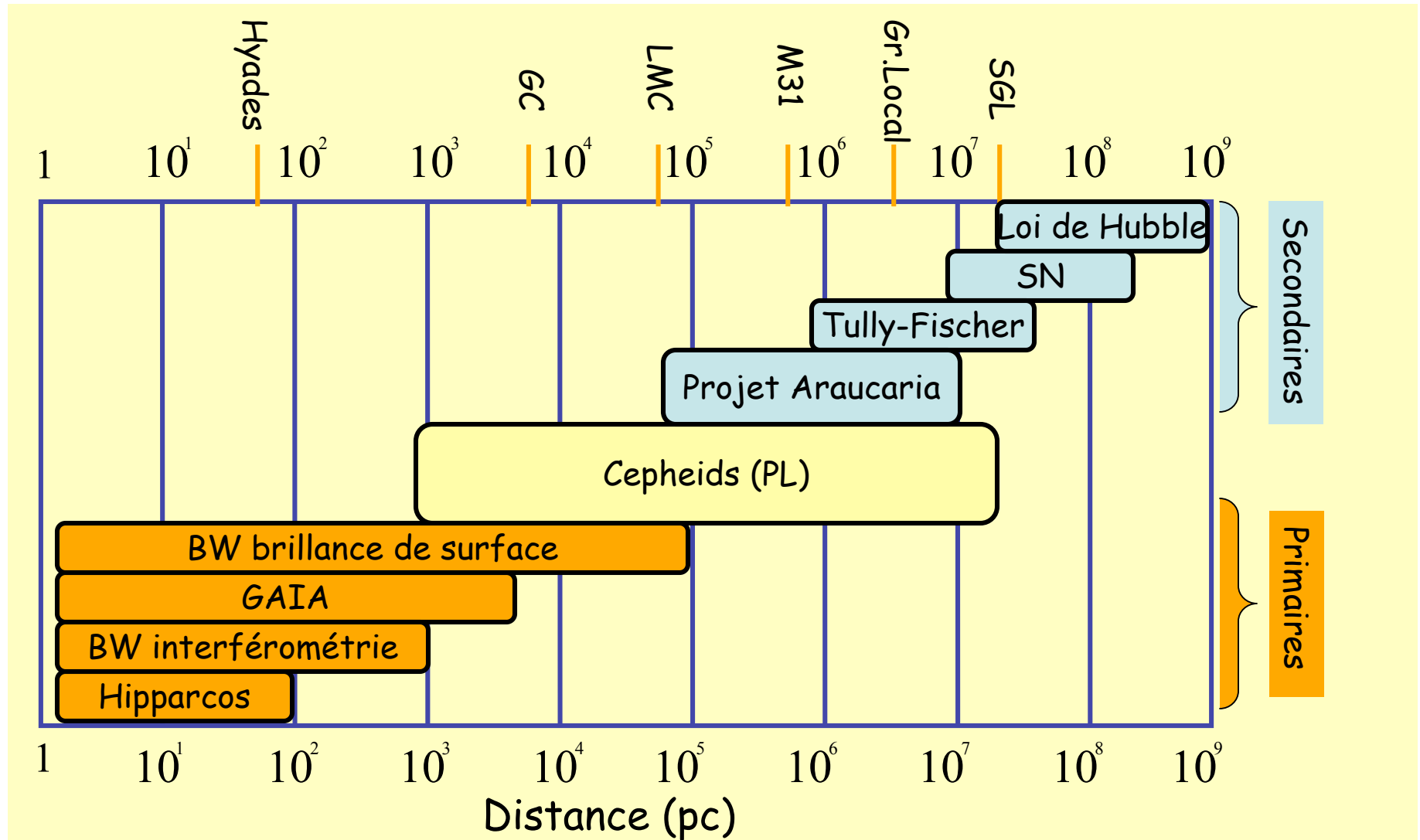
relation PL des Céphéides
(observations spatiales : ex. HST)

Les Superamas voisins



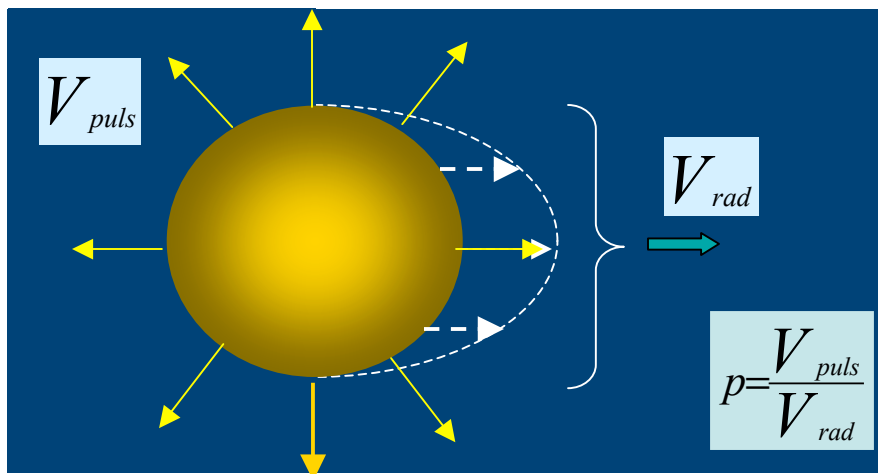
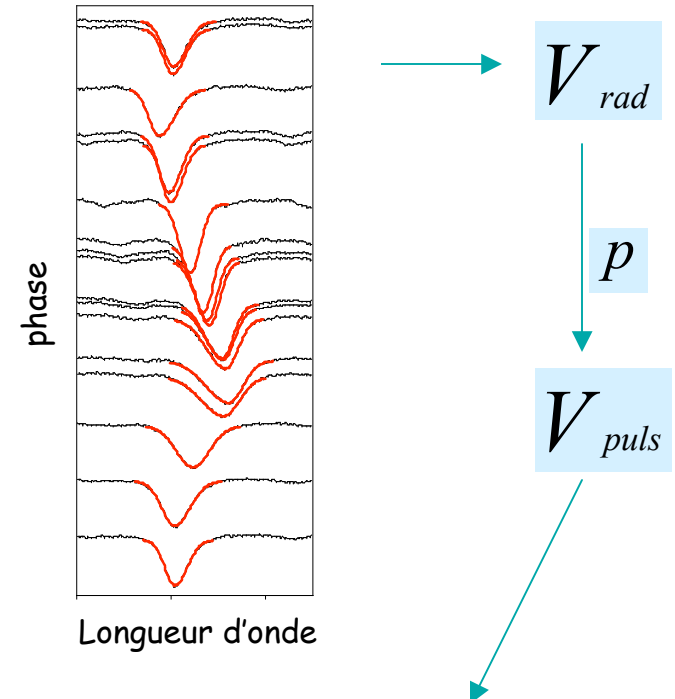
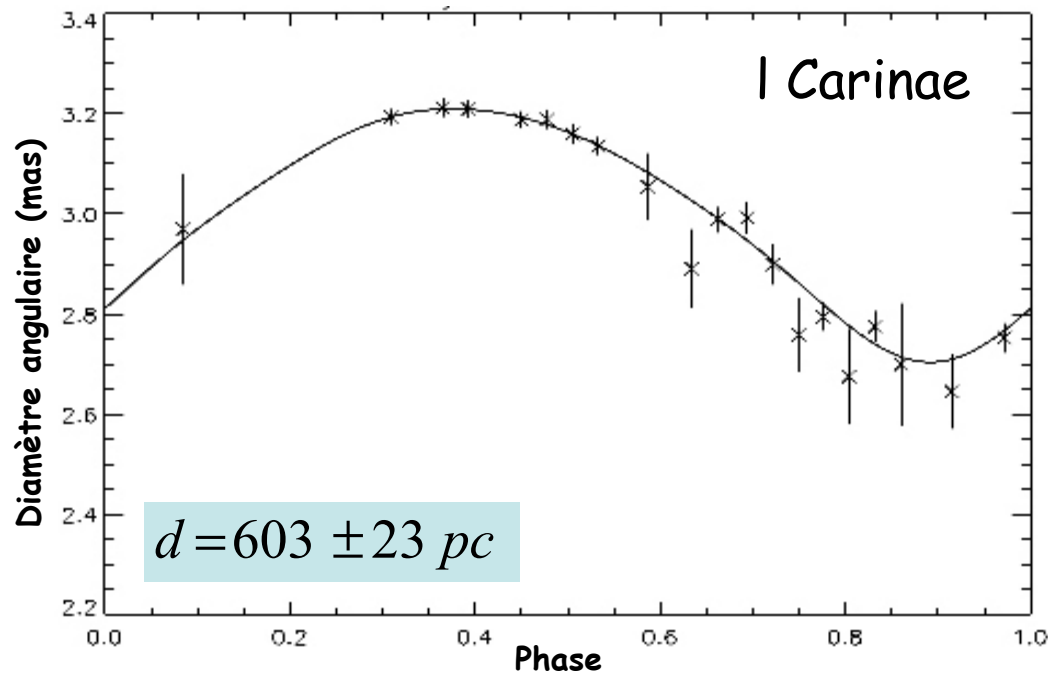
Tully-Fischer, Faber-Jackson, Brillance de surface des Galaxies, Supernovae, Loi de Hubble

L'étalonnage des échelles de distance



Les méthodes de type Baade-Wesselink

Cepheid distances from infrared long-baseline interferometry I. VINCI/VLTI observations of seven Galactic Cepheids
 P. Kervella, N. Nardetto, D. Bersier, D. Mourard and V. Coudé du Foresto, 2004, *A&A*, 416, 941K

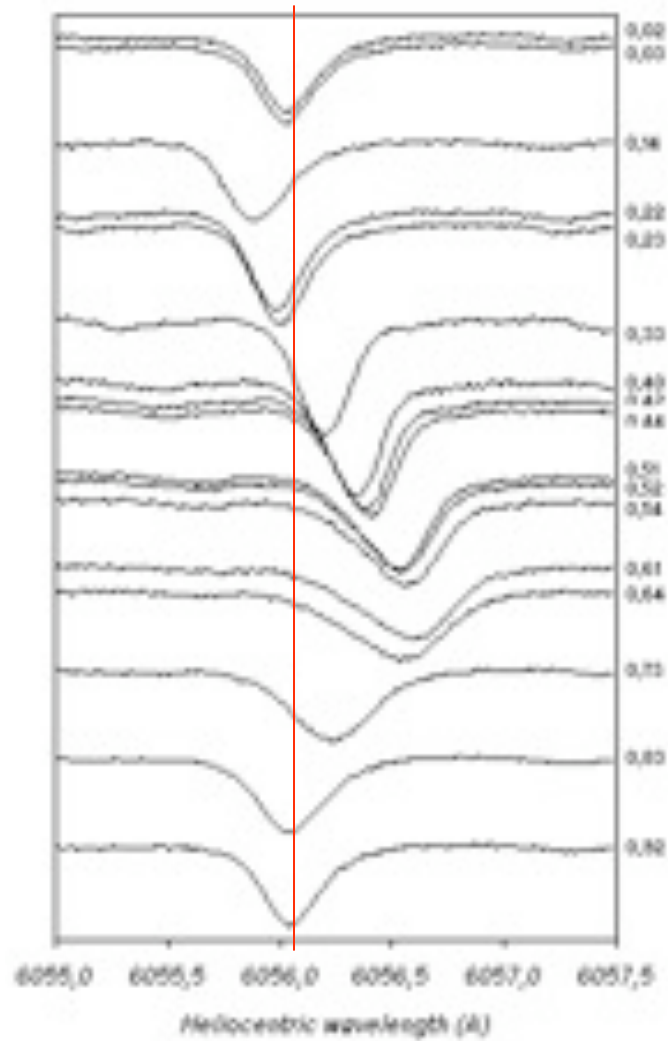


$$\theta(\phi) = \overline{\theta_{LD}} + 9.305 \left(\frac{\int_0^P V_{puls} dt}{d} \right)$$

! $\Delta R \Leftrightarrow \Delta \theta$

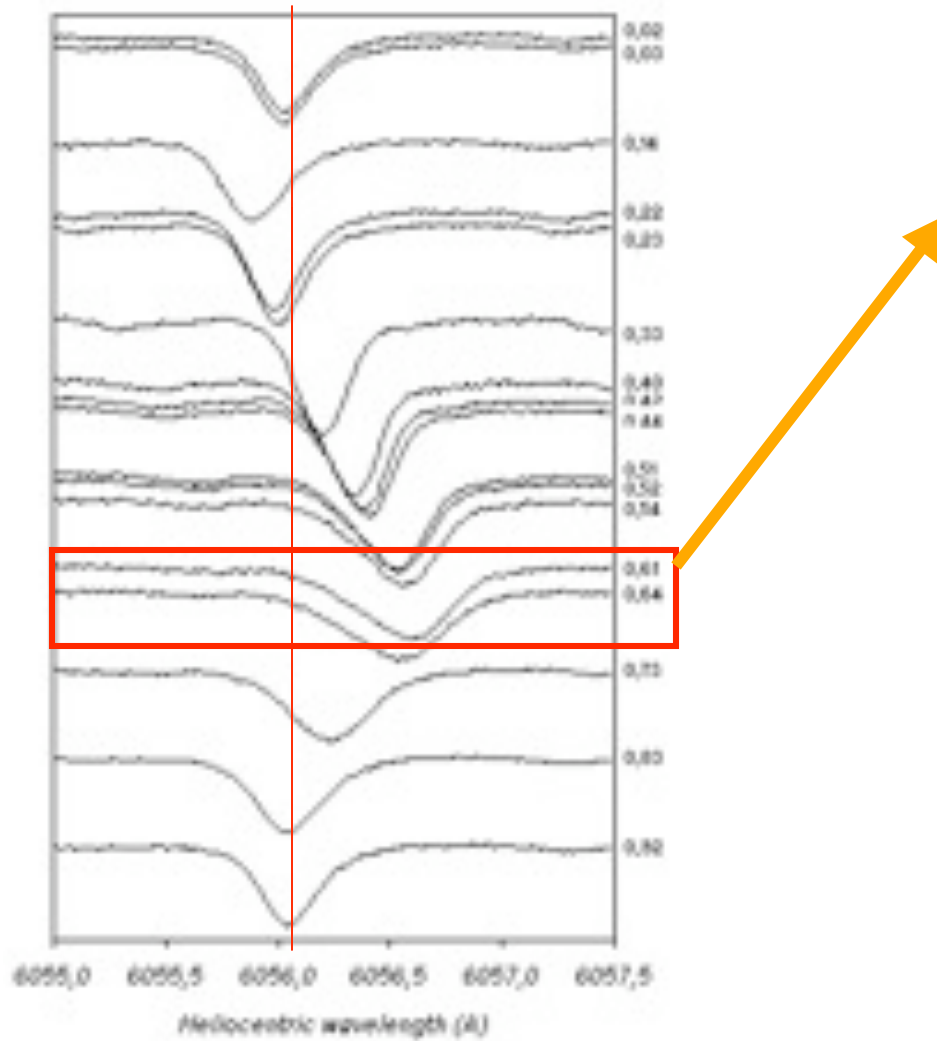
Detailed description: The Baade-Wesselink equation for distance determination. The left side shows the angular diameter $\theta(\phi)$ as a function of phase ϕ . The right side shows the sum of the limb darkening $\overline{\theta_{LD}}$ and a term involving the integral of pulsation velocity V_{puls} over one period P , divided by the distance d . A red oval highlights the integral term. Below the equation, a red triangle with an exclamation mark and a red box containing $\Delta R \Leftrightarrow \Delta \theta$ indicate the sensitivity of the method to changes in radius and angular diameter.

La définition de la vitesse radiale V_{rad} et de p_0 (1/3)



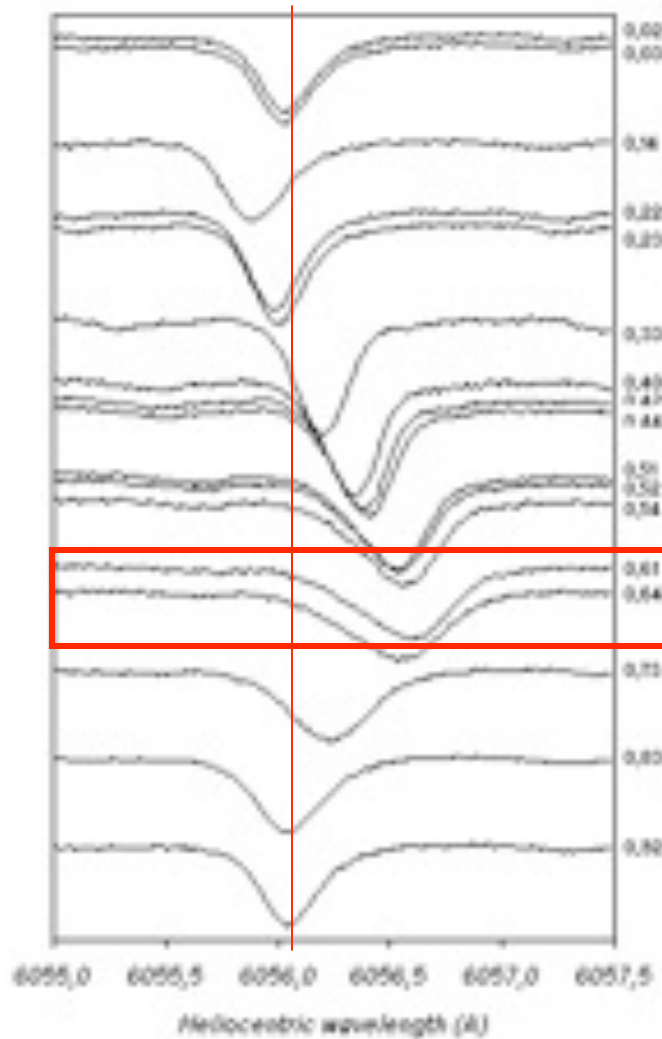
*β Dor – FeI line
Observations HARPS*

La définition de la vitesse radiale V_{rad} et de p_0 (1/3)

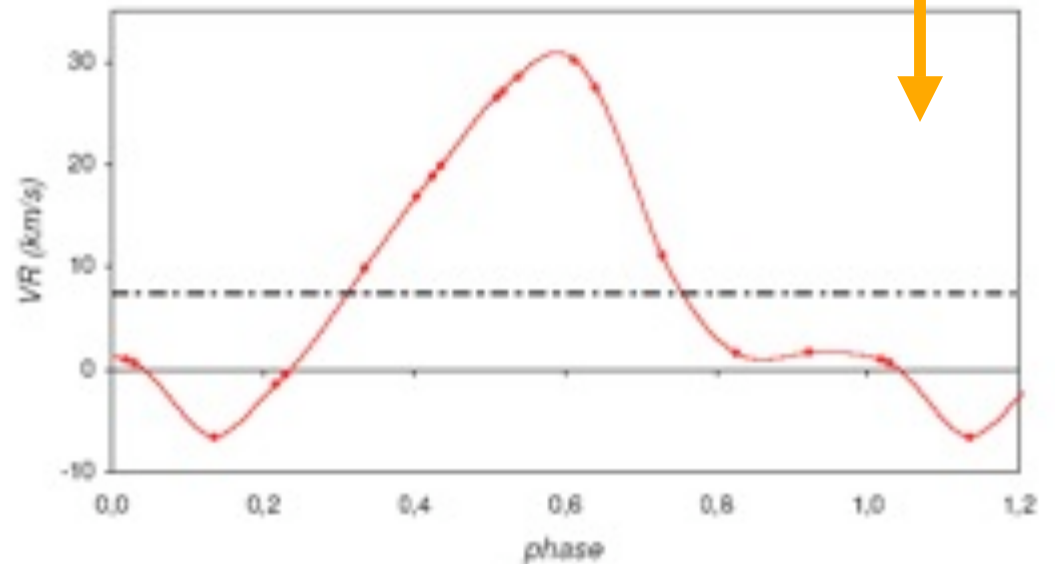
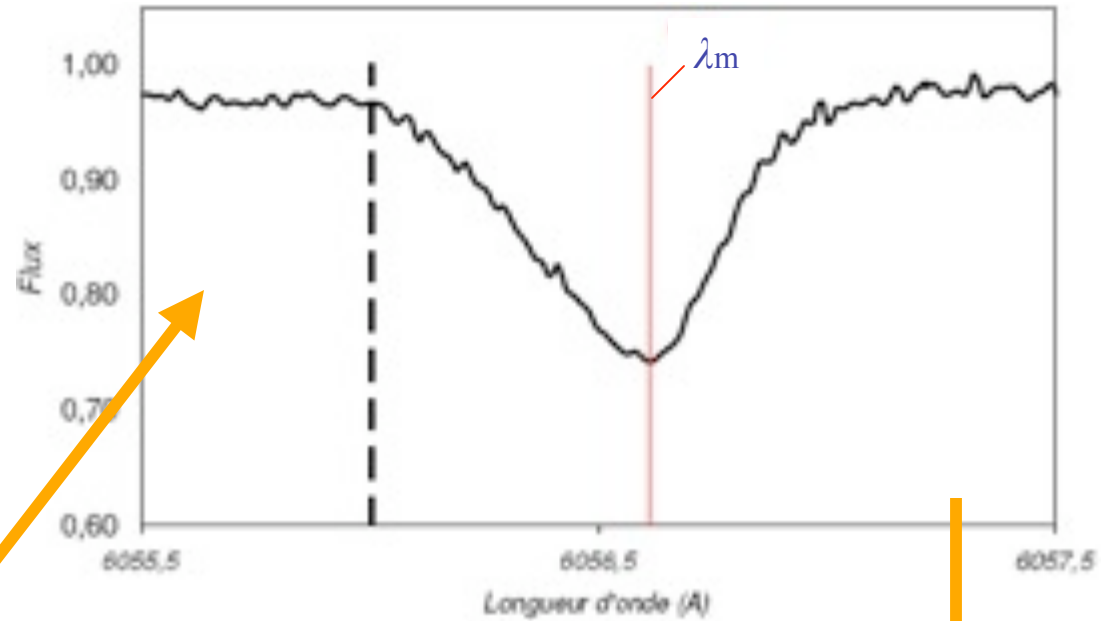


*β Dor – Fe I line
Observations HARPS*

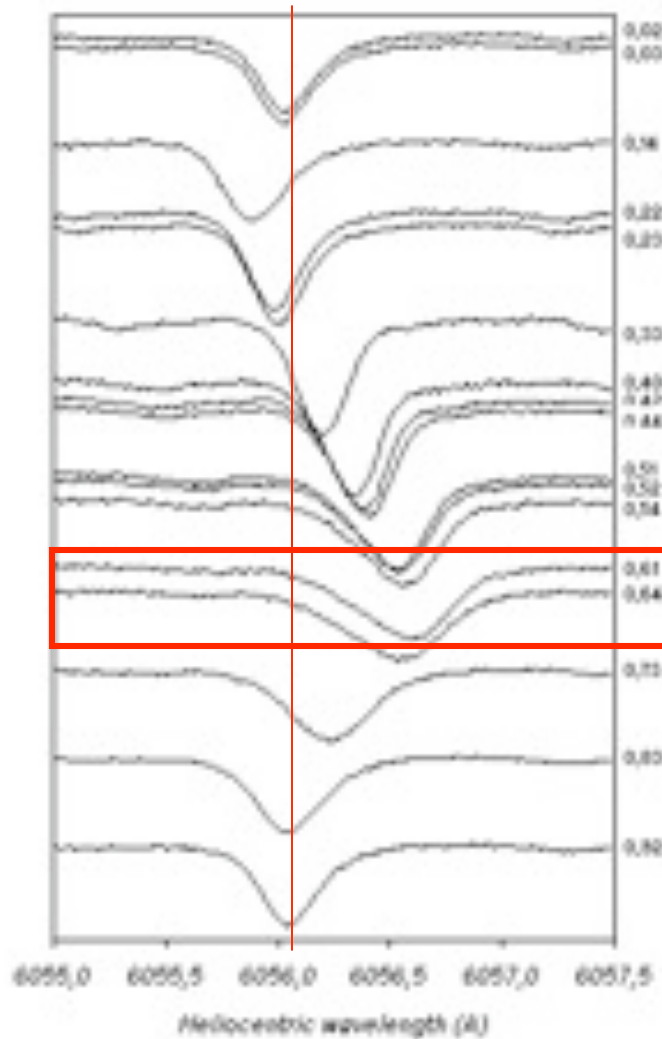
La définition de la vitesse radiale V_{rad} et de p_0 (1/3)



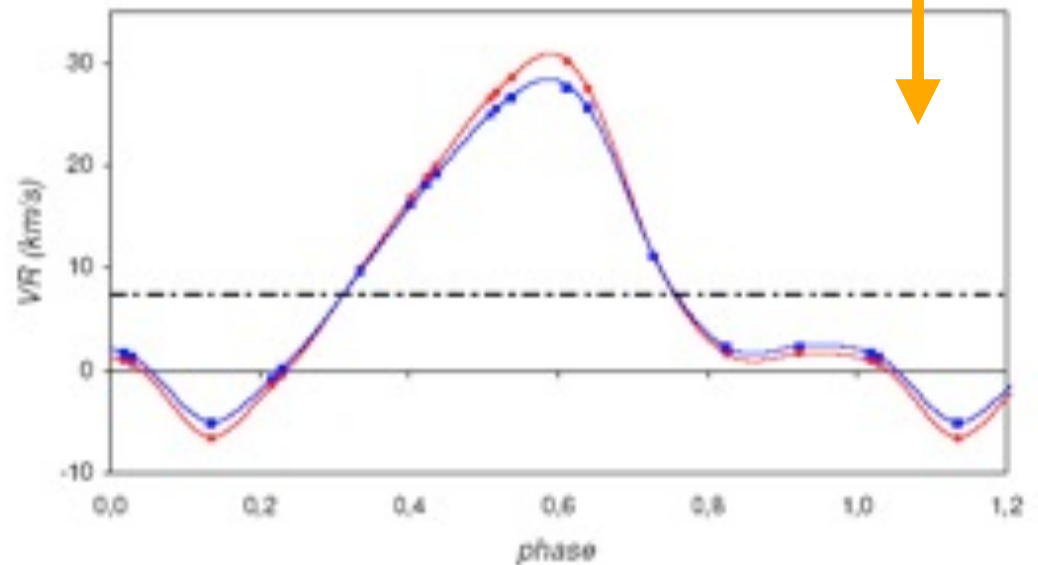
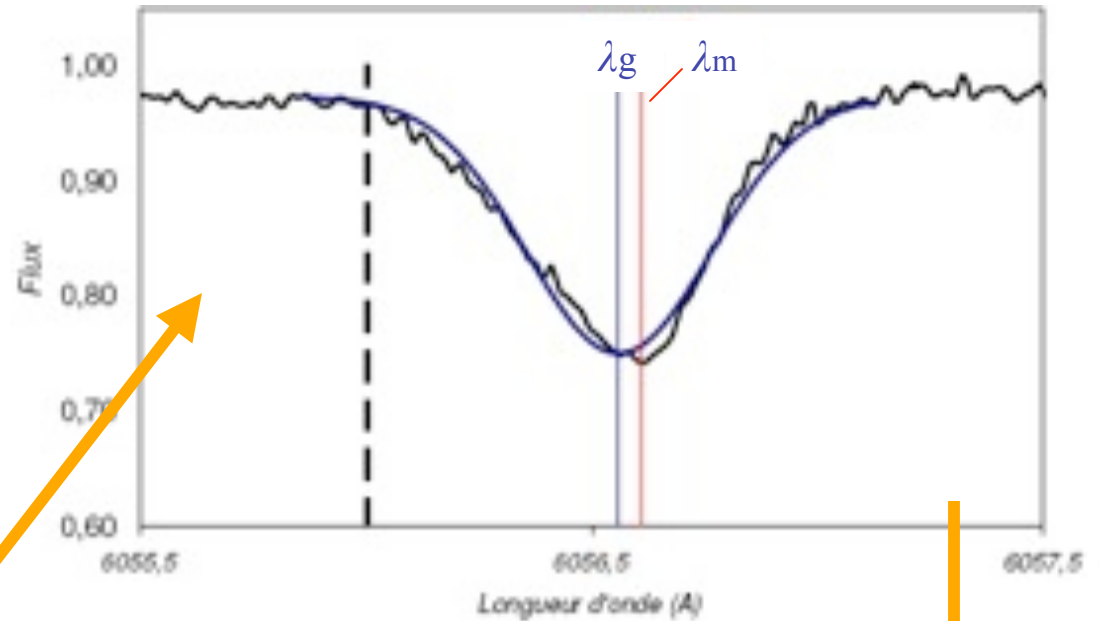
*β Dor – Fe I line
Observations HARPS*



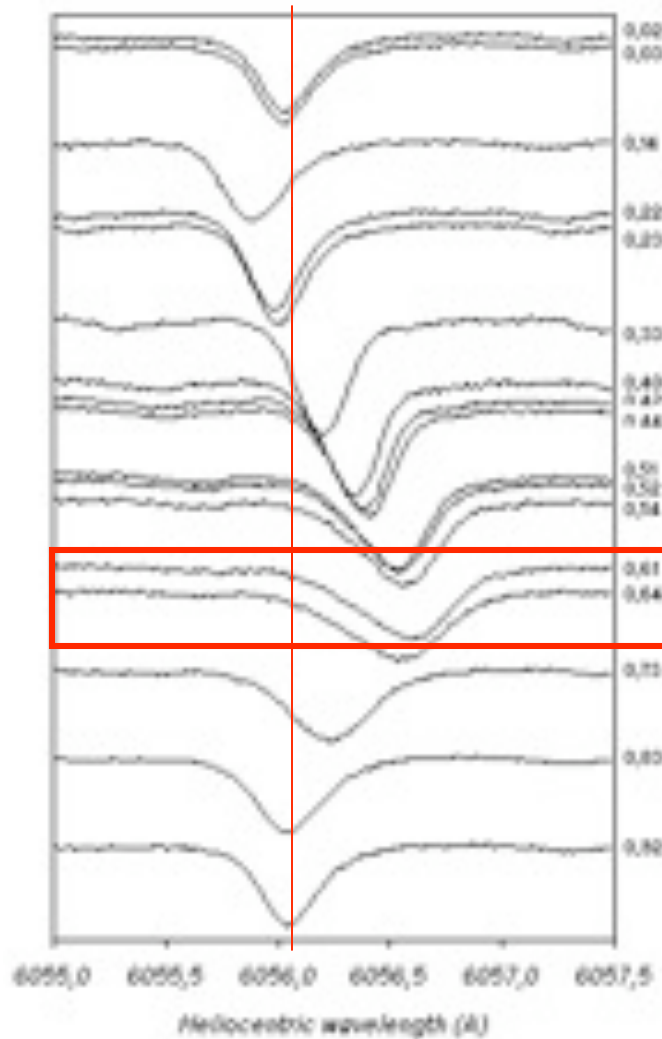
La définition de la vitesse radiale V_{rad} et de p_0 (1/3)



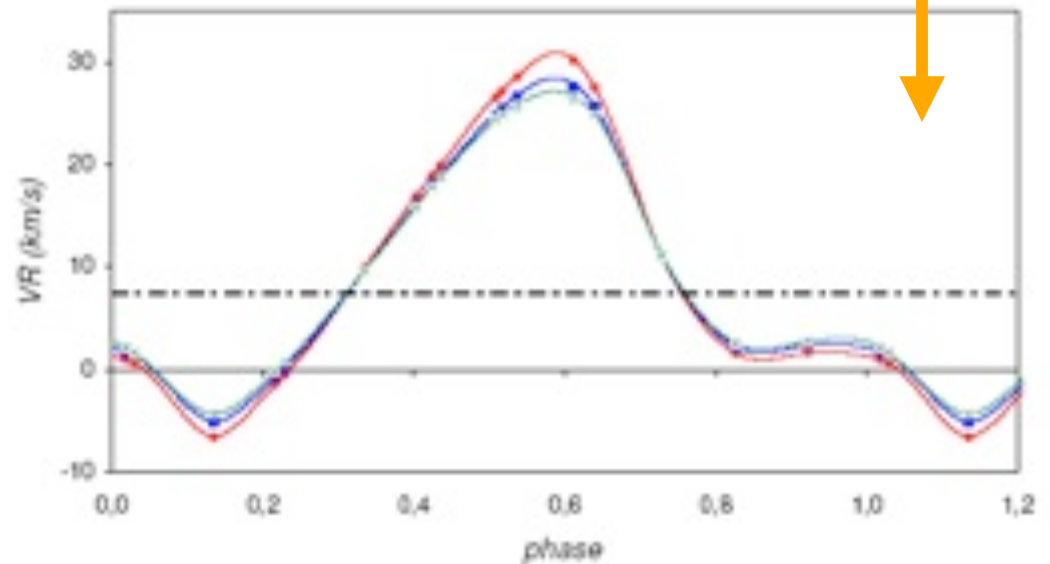
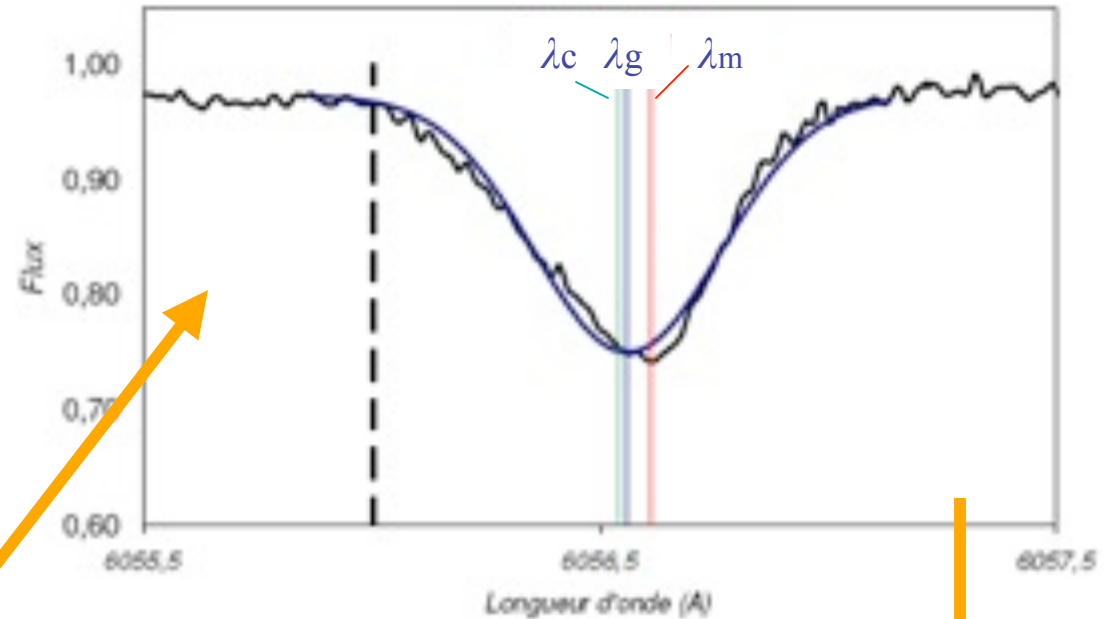
*β Dor – Fe I line
Observations HARPS*



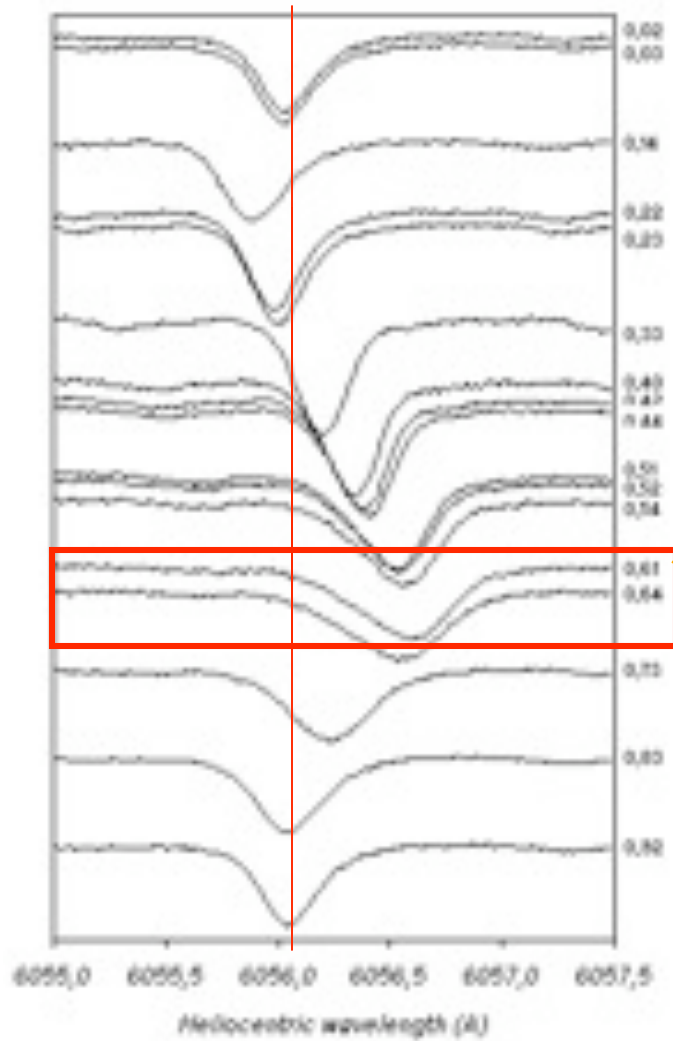
La définition de la vitesse radiale V_{rad} et de p_0 (1/3)



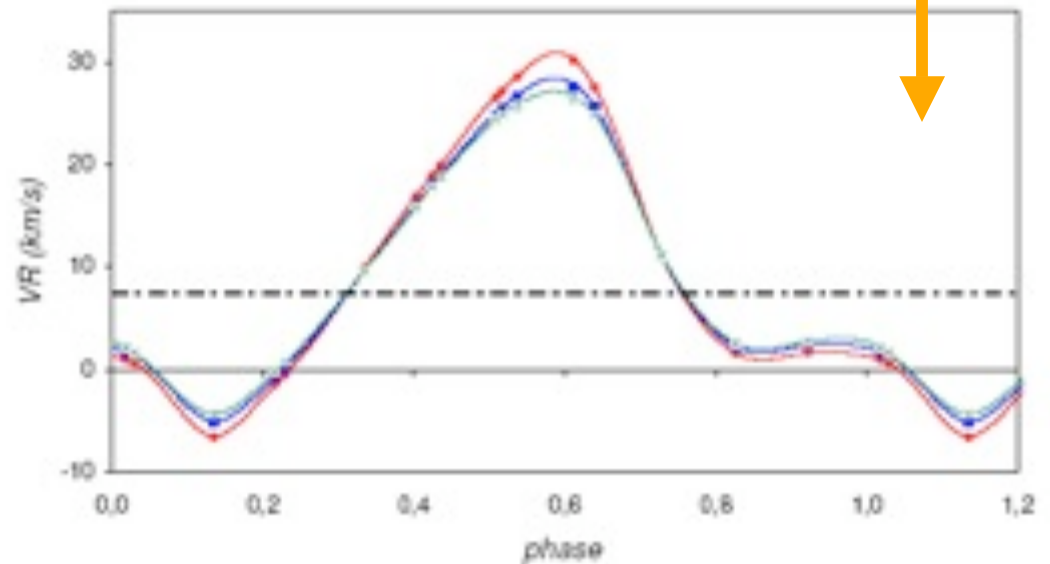
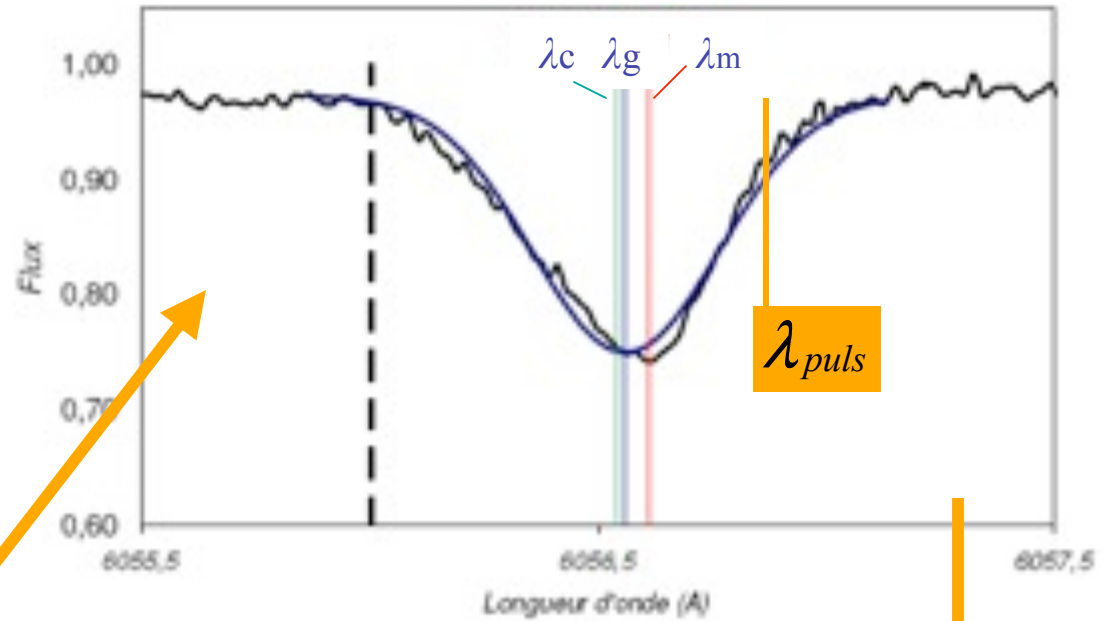
*β Dor – Fe I line
Observations HARPS*



La définition de la vitesse radiale V_{rad} et de p_0 (1/3)

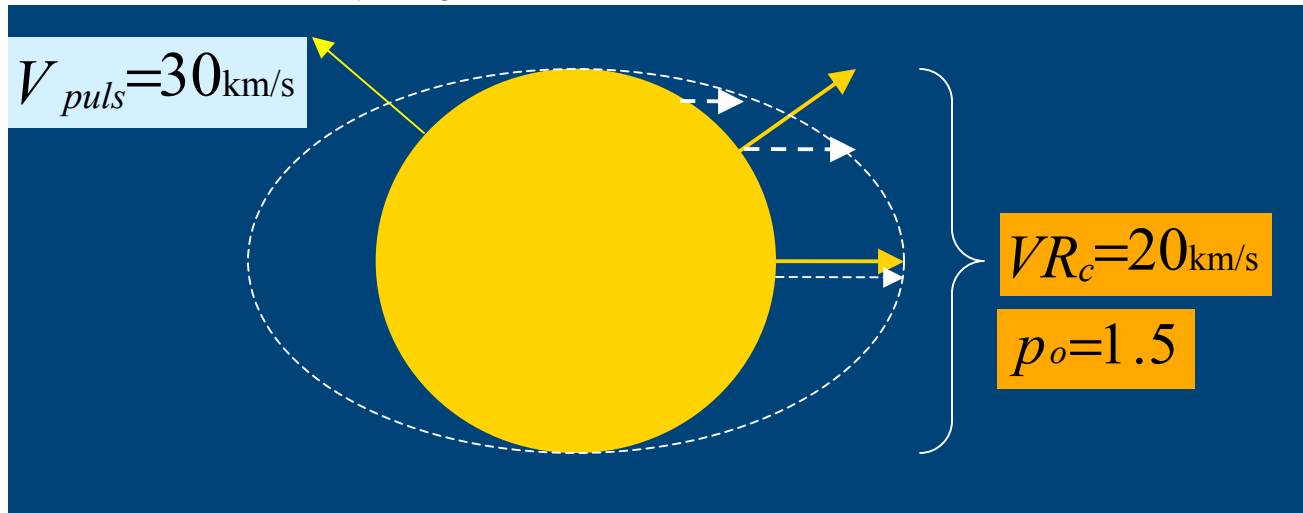


*β Dor – Fe I line
Observations HARPS*



La définition de la vitesse radiale V_{rad} et de p_o (2/3)

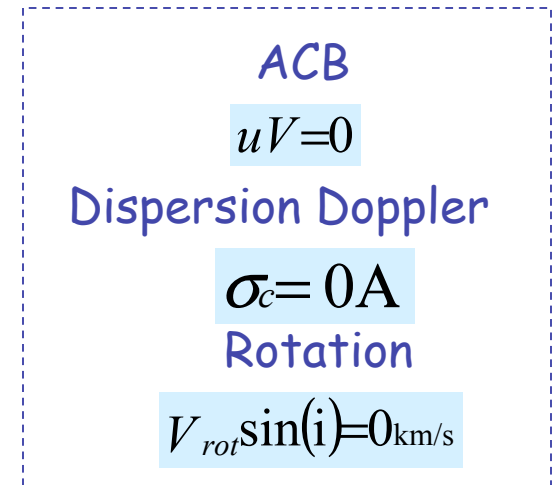
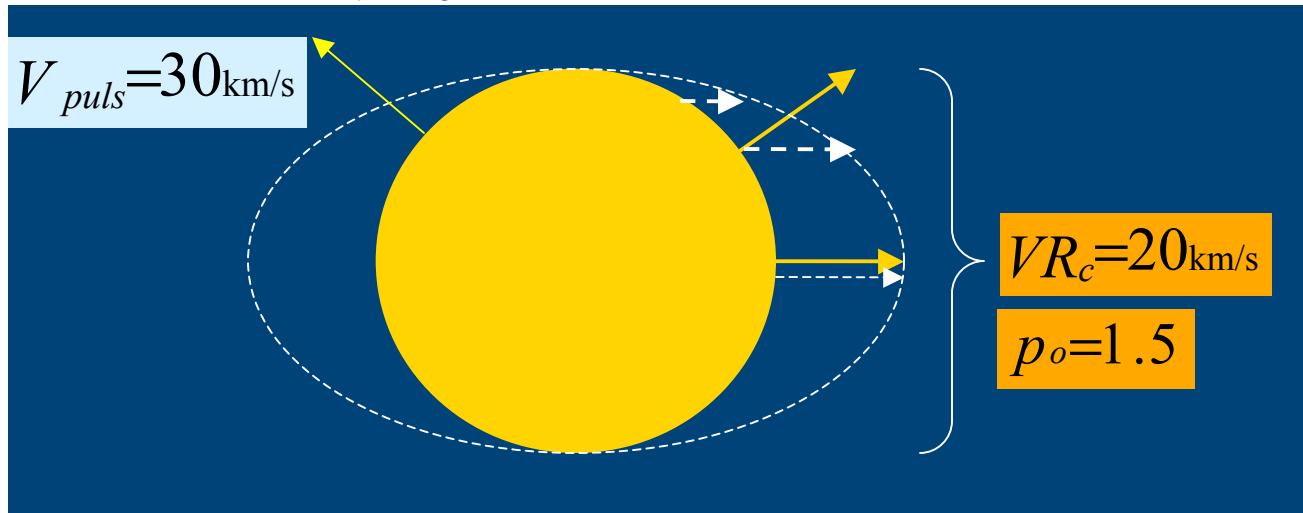
- Effet de projection géométrique



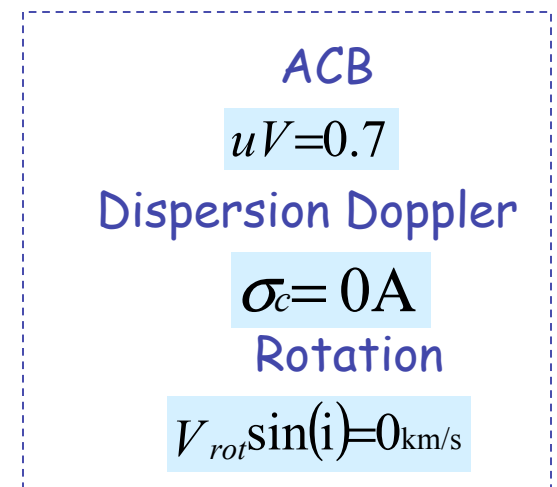
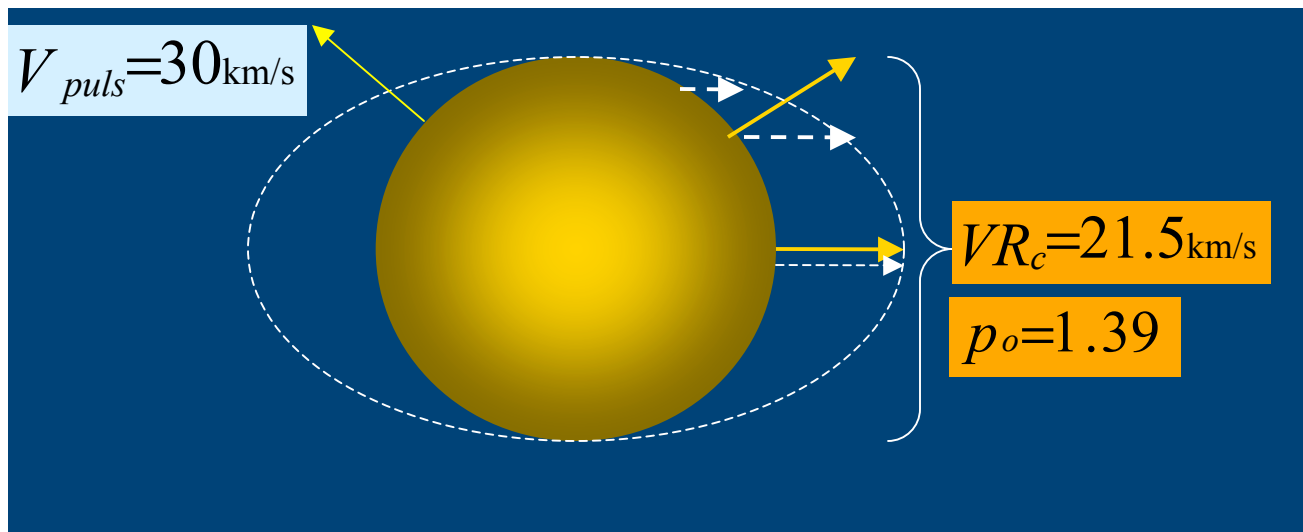
ACB
 $uV = 0$
Dispersion Doppler
 $\sigma_c = 0 \text{ \AA}$
Rotation
 $V_{rot} \sin(i) = 0 \text{ km/s}$

La définition de la vitesse radiale V_{rad} et de p_o (2/3)

• Effet de projection géométrique

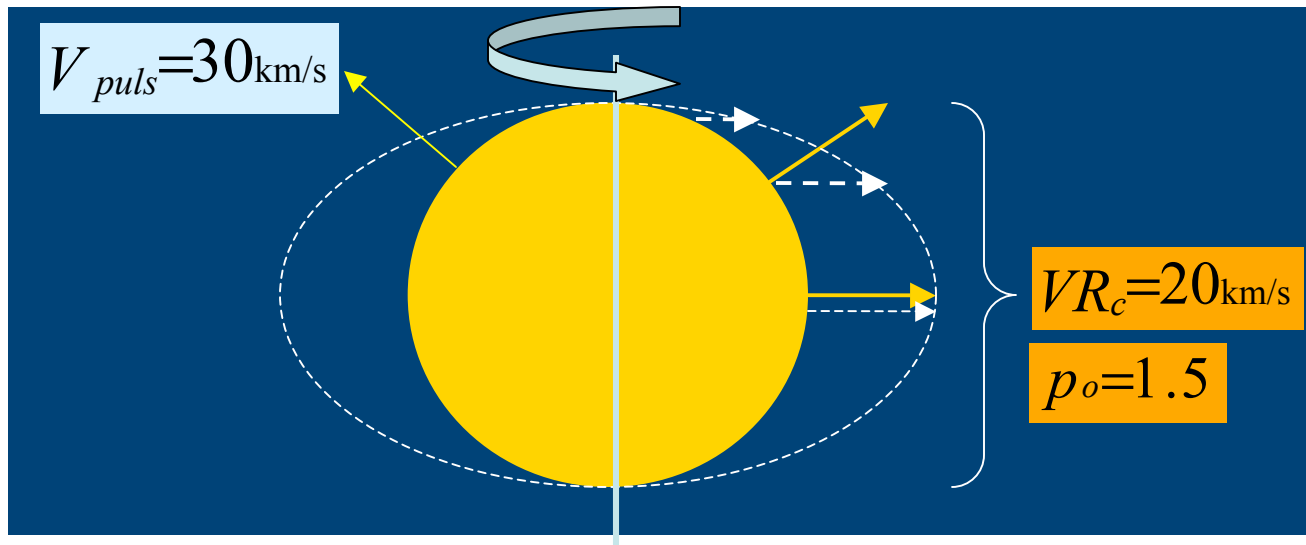


• Effet de l'assombrissement centre-bord



La définition de la vitesse radiale V_{rad} et de p_o (3/3)

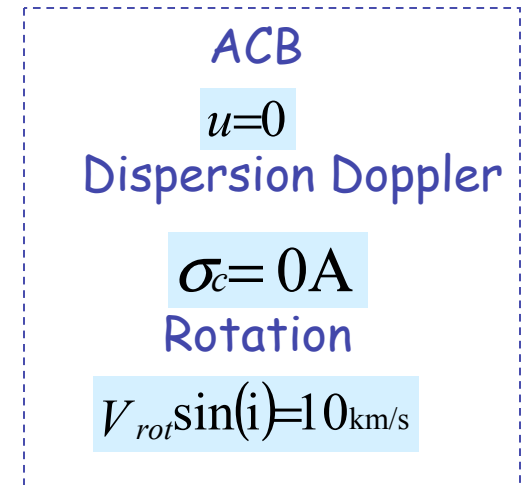
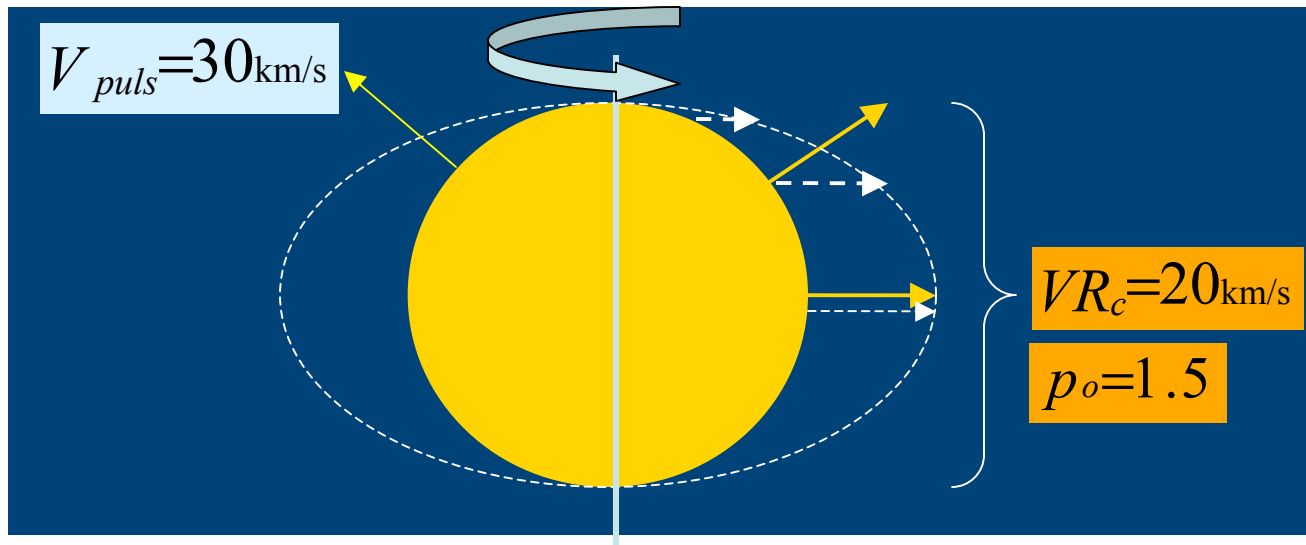
• Effet de la rotation



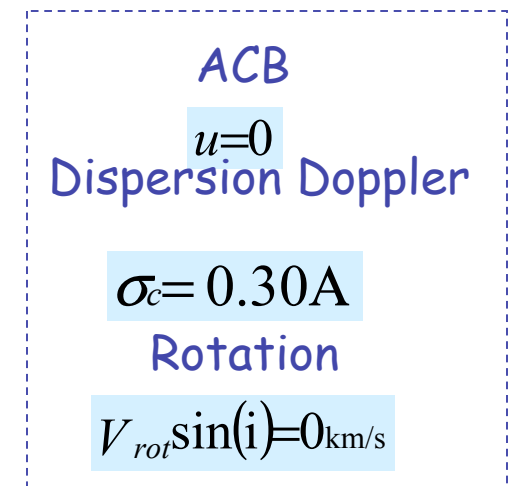
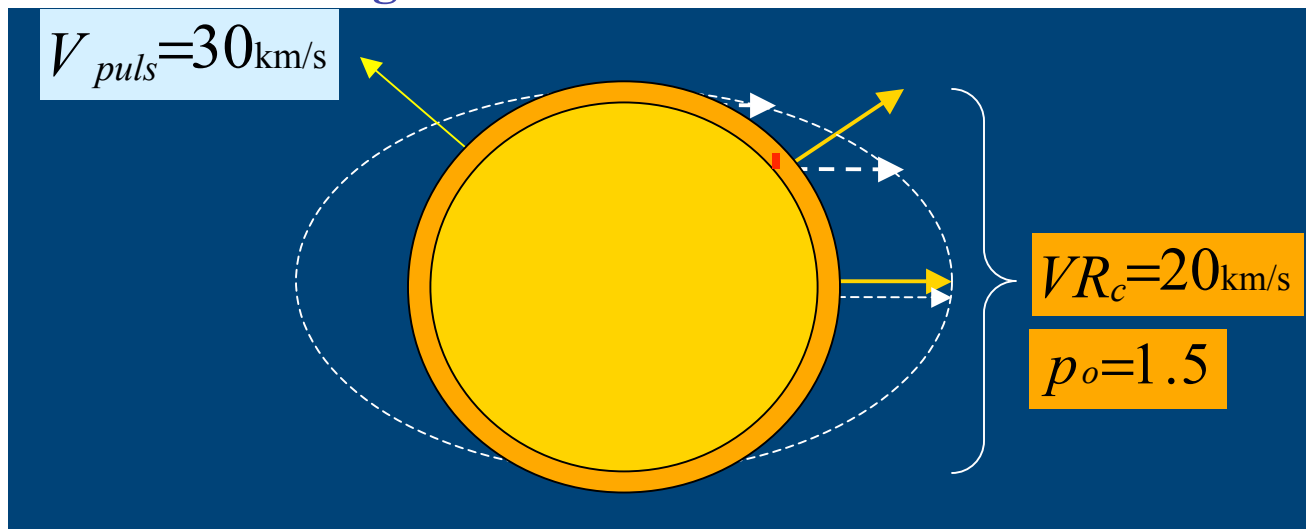
ACB
 $u=0$
Dispersion Doppler
 $\sigma_c = 0 \text{ \AA}$
Rotation
 $V_{rot} \sin(i) = 10 \text{ km/s}$

La définition de la vitesse radiale V_{rad} et de p_o (3/3)

• Effet de la rotation

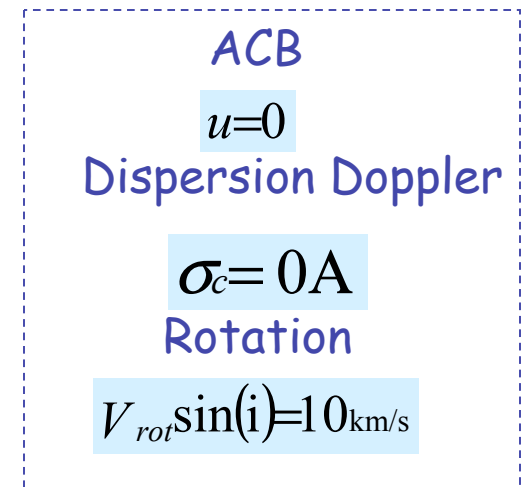
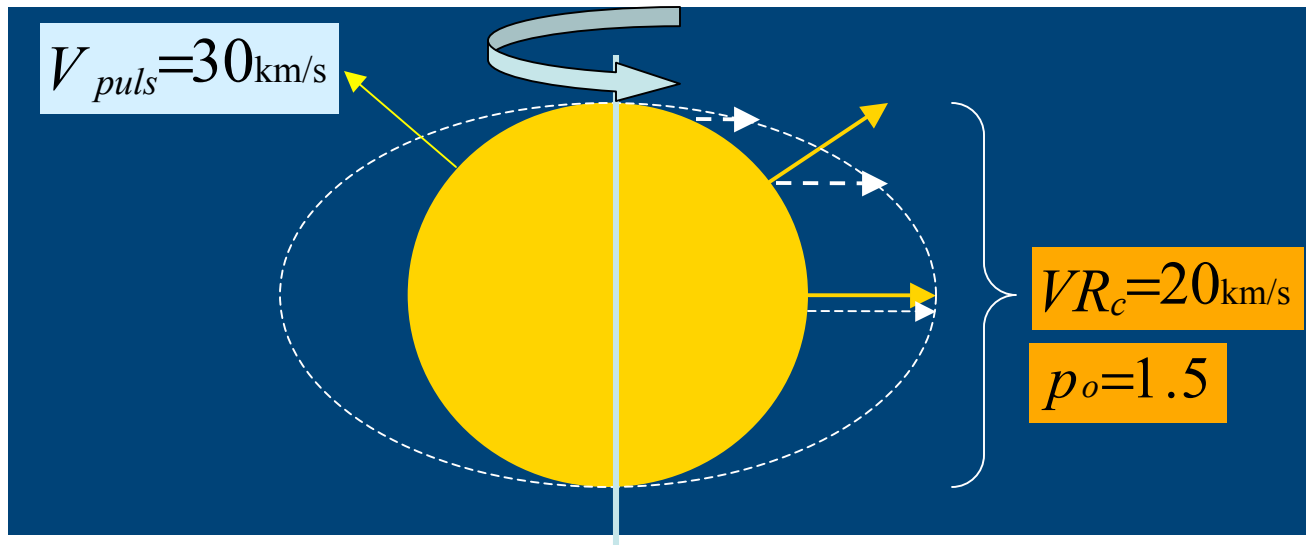


• Effet de la largeur de la raie σ_c

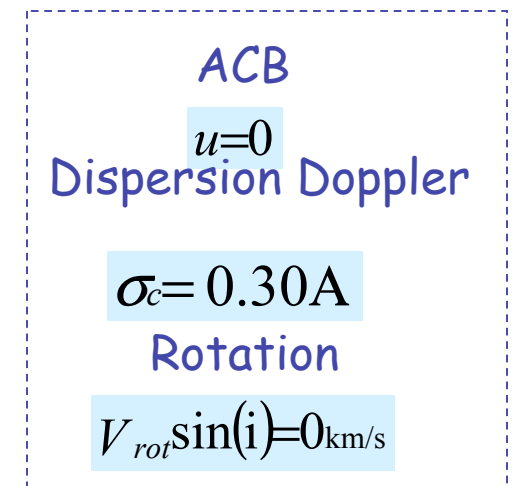
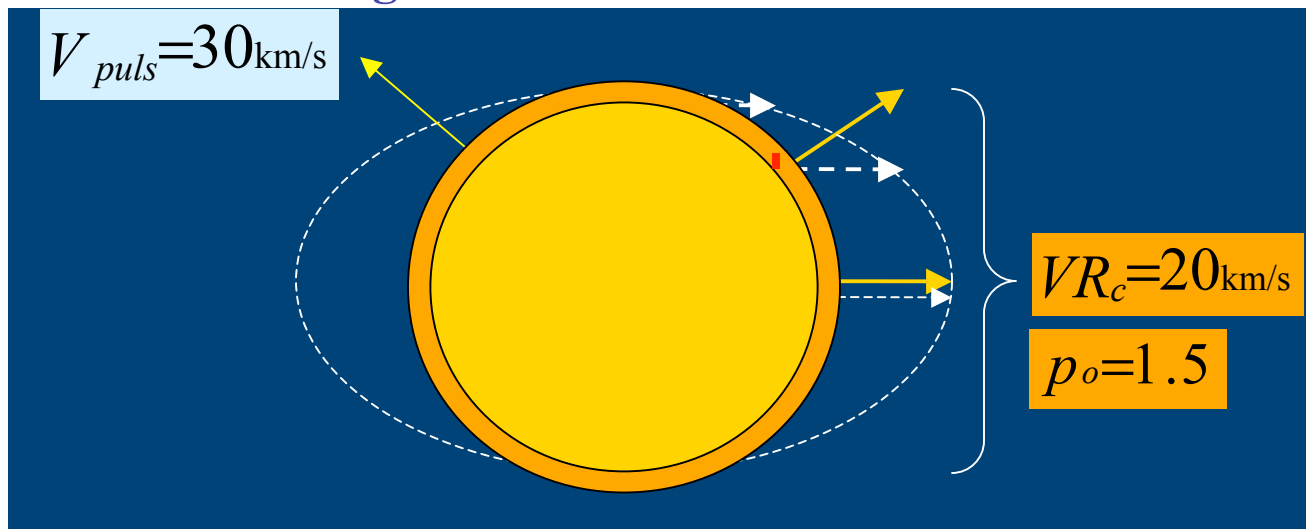


La définition de la vitesse radiale V_{rad} et de p_o (3/3)

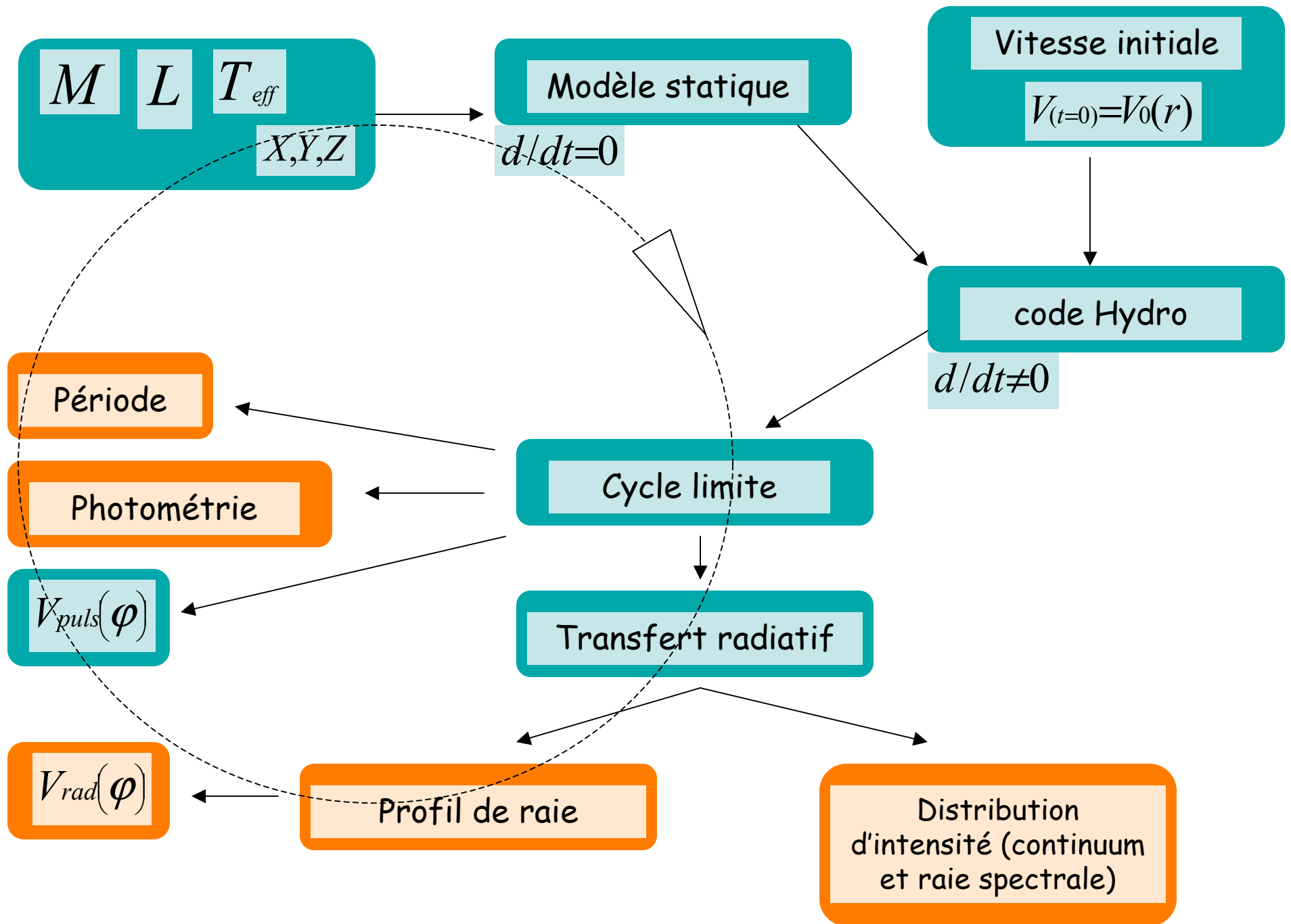
• Effet de la rotation



• Effet de la largeur de la raie σ_c



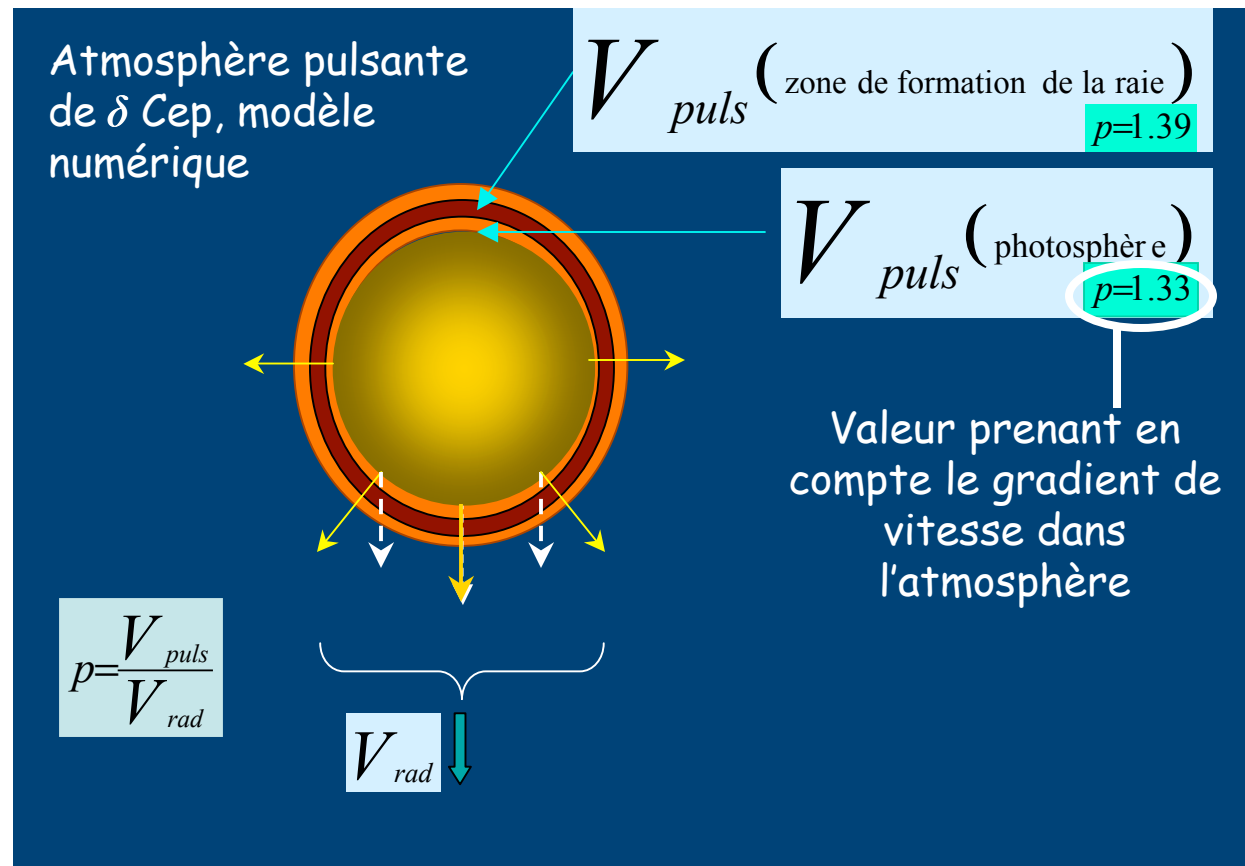
La Vitesse Radiale déduite de la méthode du premier moment est indépendante de la largeur de la raie et de la rotation



Effet de la dynamique atmosphérique

Self consistent modelling of the projection factor
for interferometric distance determination

N. Nardetto, A. Fokin, D. Mourard, Ph. Mathias,
P. Kervella, D. Bersier, 2004, A&A, 428, 131

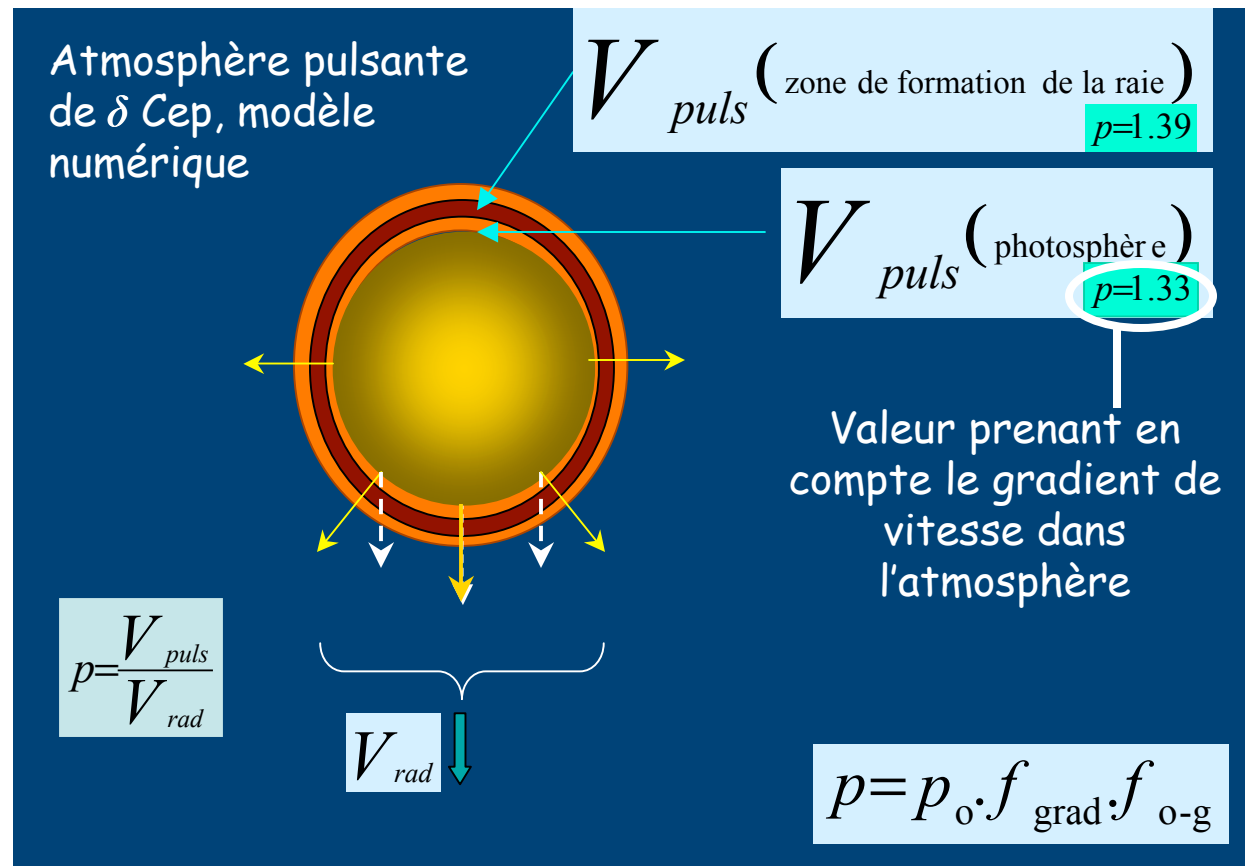


Surestimation des distances de 6% avec VINCI :
résultat confirmé par le HST + CHARA (Mérand et al. 2005)

Effet de la dynamique atmosphérique

Self consistent modelling of the projection factor
for interferometric distance determination

N. Nardetto, A. Fokin, D. Mourard, Ph. Mathias,
P. Kervella, D. Bersier, 2004, A&A, 428, 131



Surestimation des distances de 6% avec VINCI :
résultat confirmé par le HST + CHARA (Mérand et al. 2005)

Observations HARPS de 10 Céphéides (P=3j à P=42j)

300 spectres

Des milliers
de raies

17 retenues

Name	Wavelength (Å)
Fe I	4683.560
Fe I	4896.439
Fe I	5054.643
Ni I	5082.339
Fe I	5367.467
Fe I	5373.709
Fe I	5383.369
Ti II	5418.751
Fe I	5576.089
Fe I	5862.353
Fe I	6024.058
Fe I	6027.051
Fe I	6056.005
Si I	6155.134
Fe I	6252.555
Fe I	6265.134
Fe I	6336.824

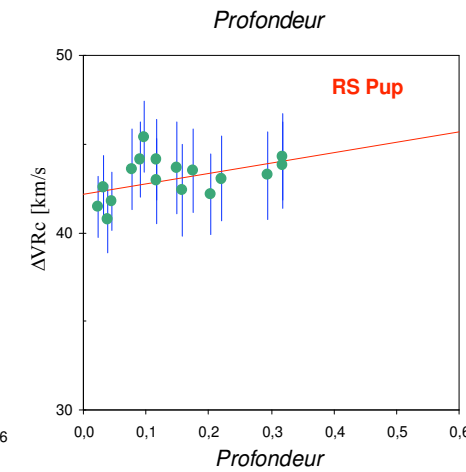
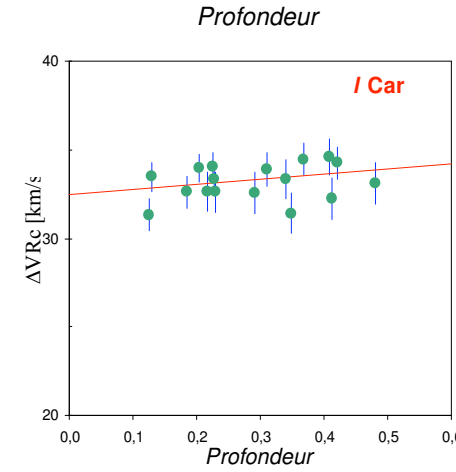
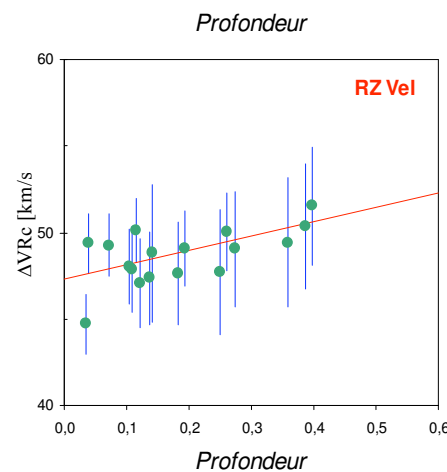
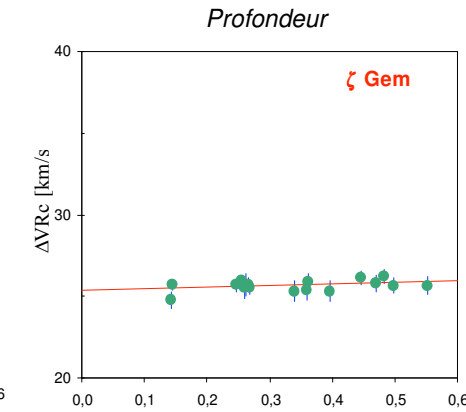
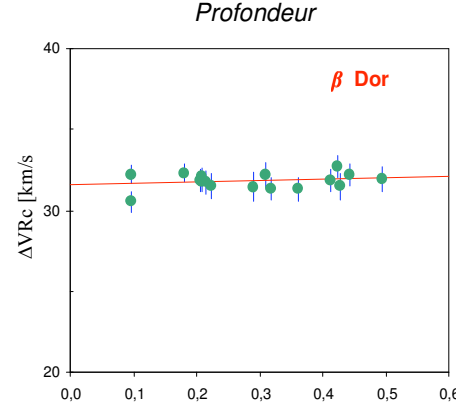
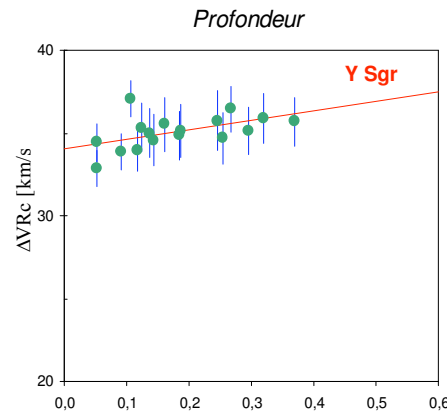
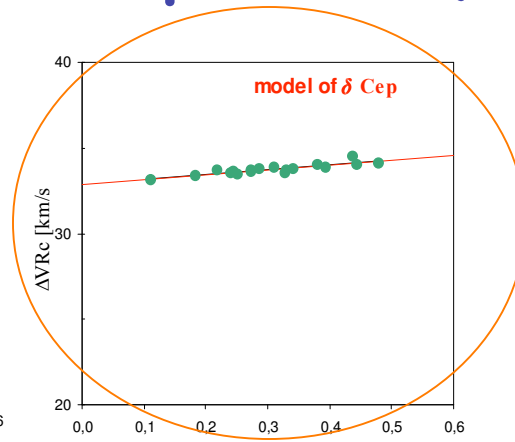
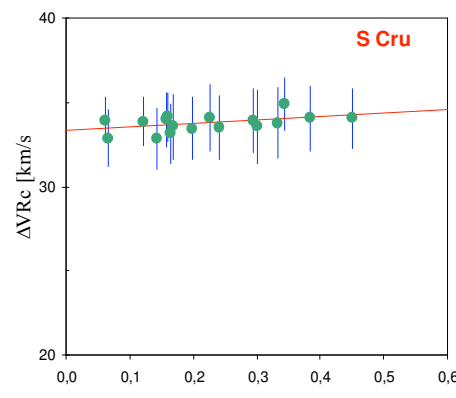
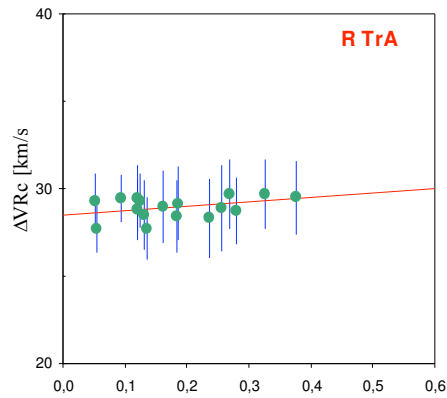
$$\Delta VR_c = a_o D + b_o$$

Observations HARPS de 10 Céphéides (P=3j à P=42j)

300 spectres

Des milliers
de raies

17 retenues



Name	Wavelength (Å)
Fe I	4683.560
Fe I	4896.439
Fe I	5054.643
Ni I	5082.339
Fe I	5367.467
Fe I	5373.709
Fe I	5383.369
Ti II	5418.751
Fe I	5576.089
Fe I	5862.353
Fe I	6024.058
Fe I	6027.051
Fe I	6056.005
Si I	6155.134
Fe I	6252.555
Fe I	6265.134
Fe I	6336.824

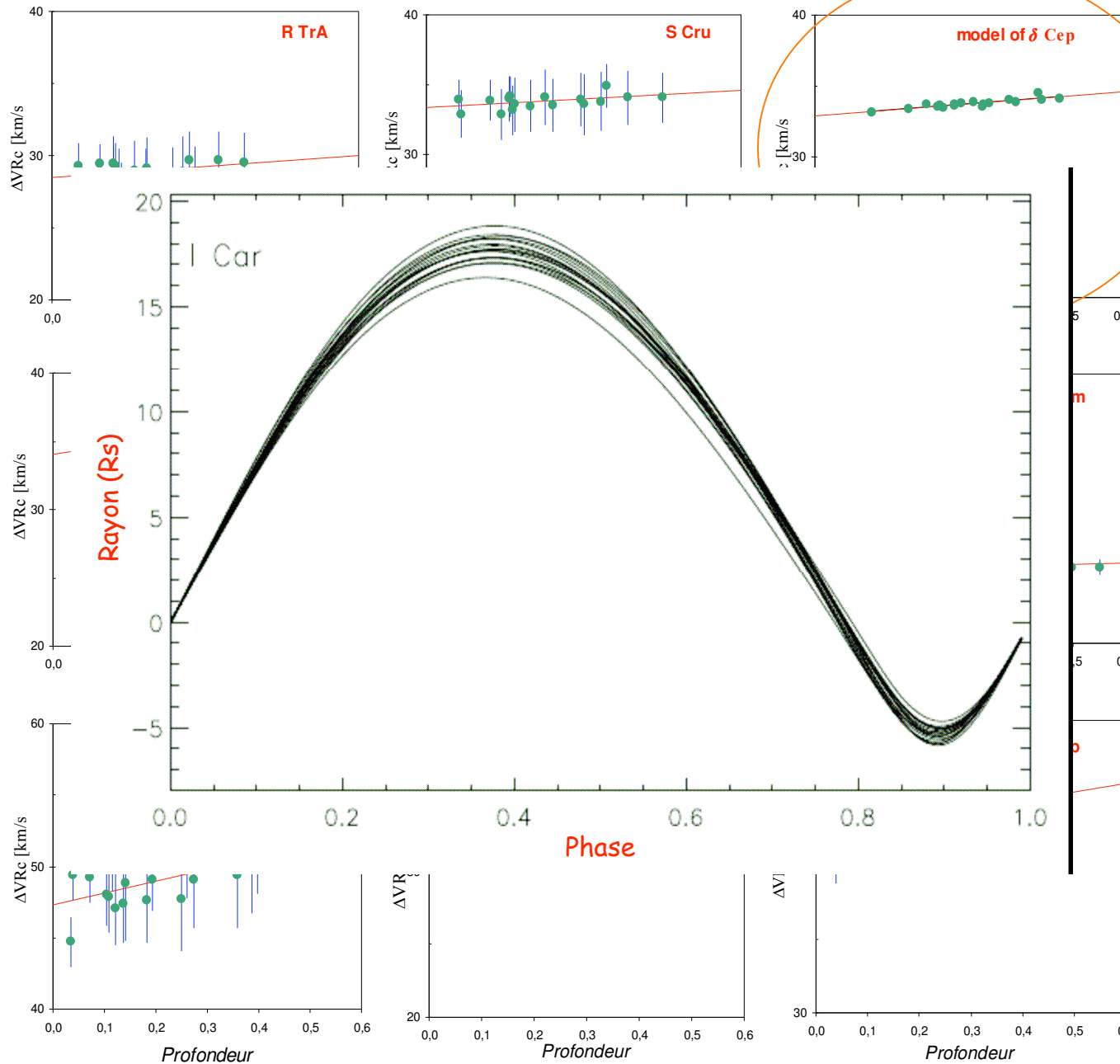
$$\Delta VR_c = a_0 D + b_0$$

Observations HARPS de 10 Céphéides (P=3j à P=42j)

300 spectres

Des milliers de raies

17 retenues

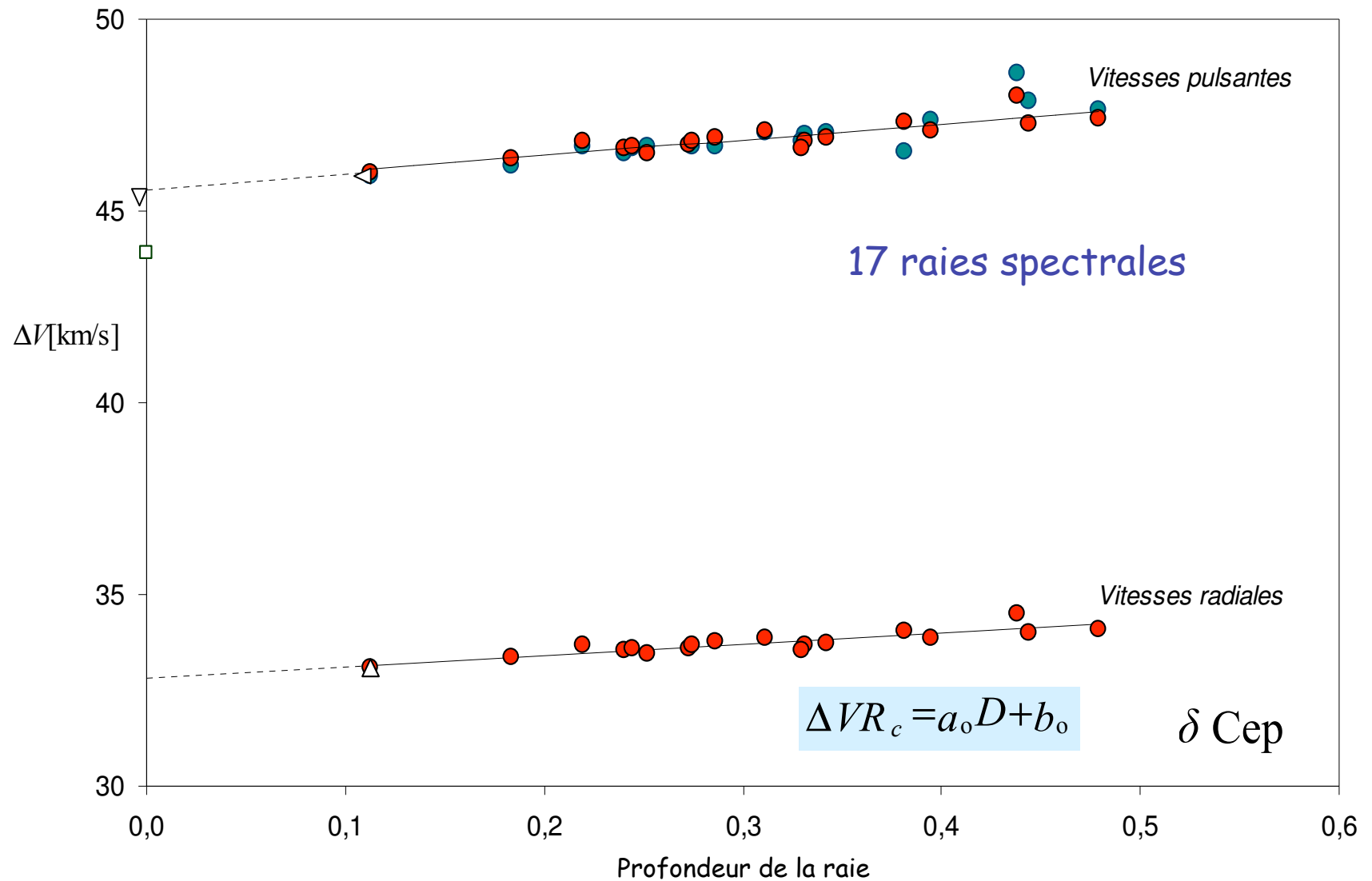


Name	Wavelength (Å)
Fe I	4683.560
Fe I	4896.439
Fe I	5054.643
Ni I	5082.339
Fe I	5367.467
Fe I	5373.709
Fe I	5383.369
Ti II	5418.751
Fe I	5576.089
Fe I	5862.353
Fe I	6024.058
Fe I	6027.051
Fe I	6056.005
Si I	6155.134
Fe I	6252.555
Fe I	6265.134
Fe I	6336.824

$$\Delta VR_c = a_0 D + b_0$$

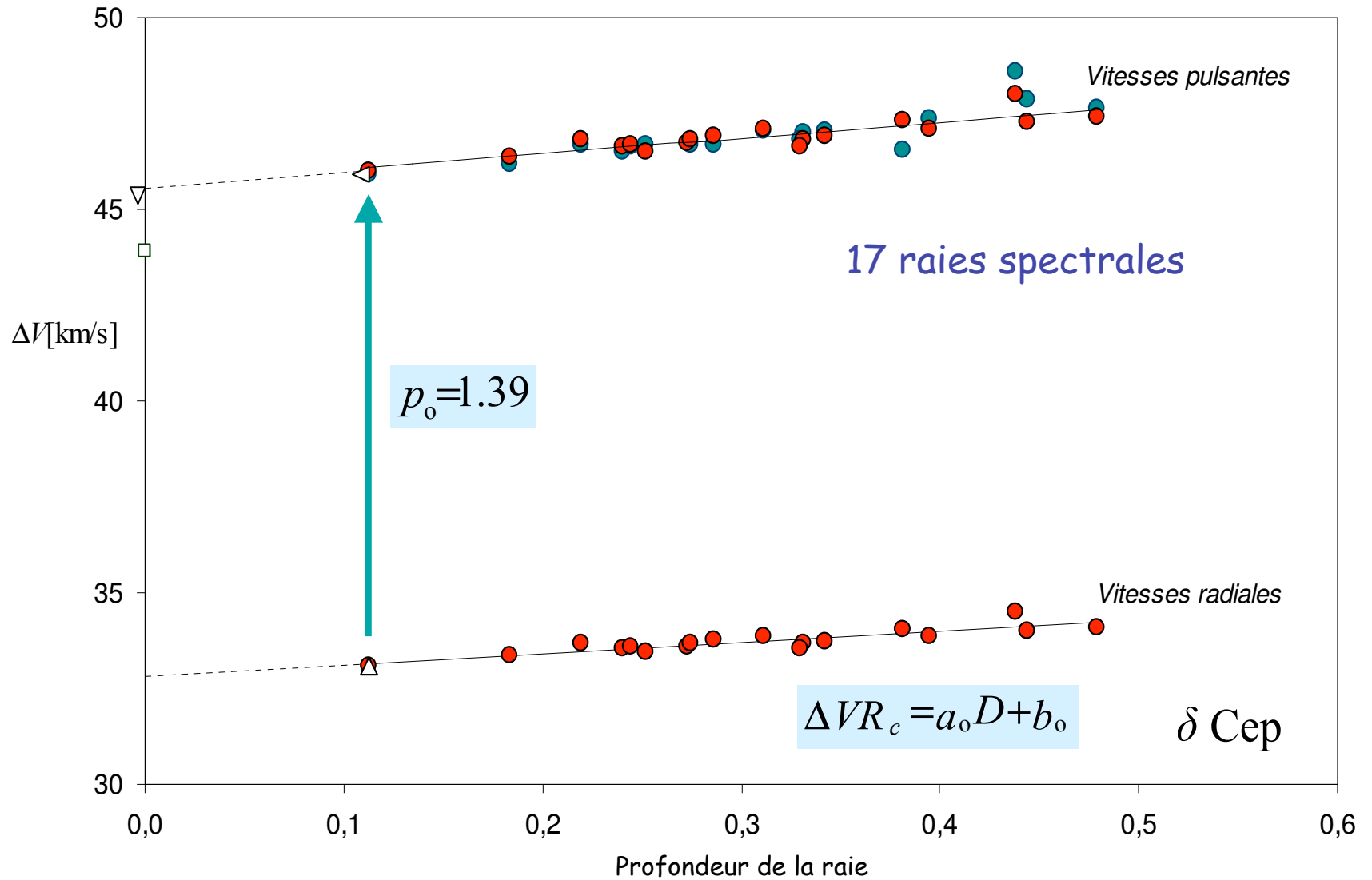
Décomposition du facteur de projection

$$p = p_o \cdot f_{\text{grad}} \cdot f_{o-g}$$



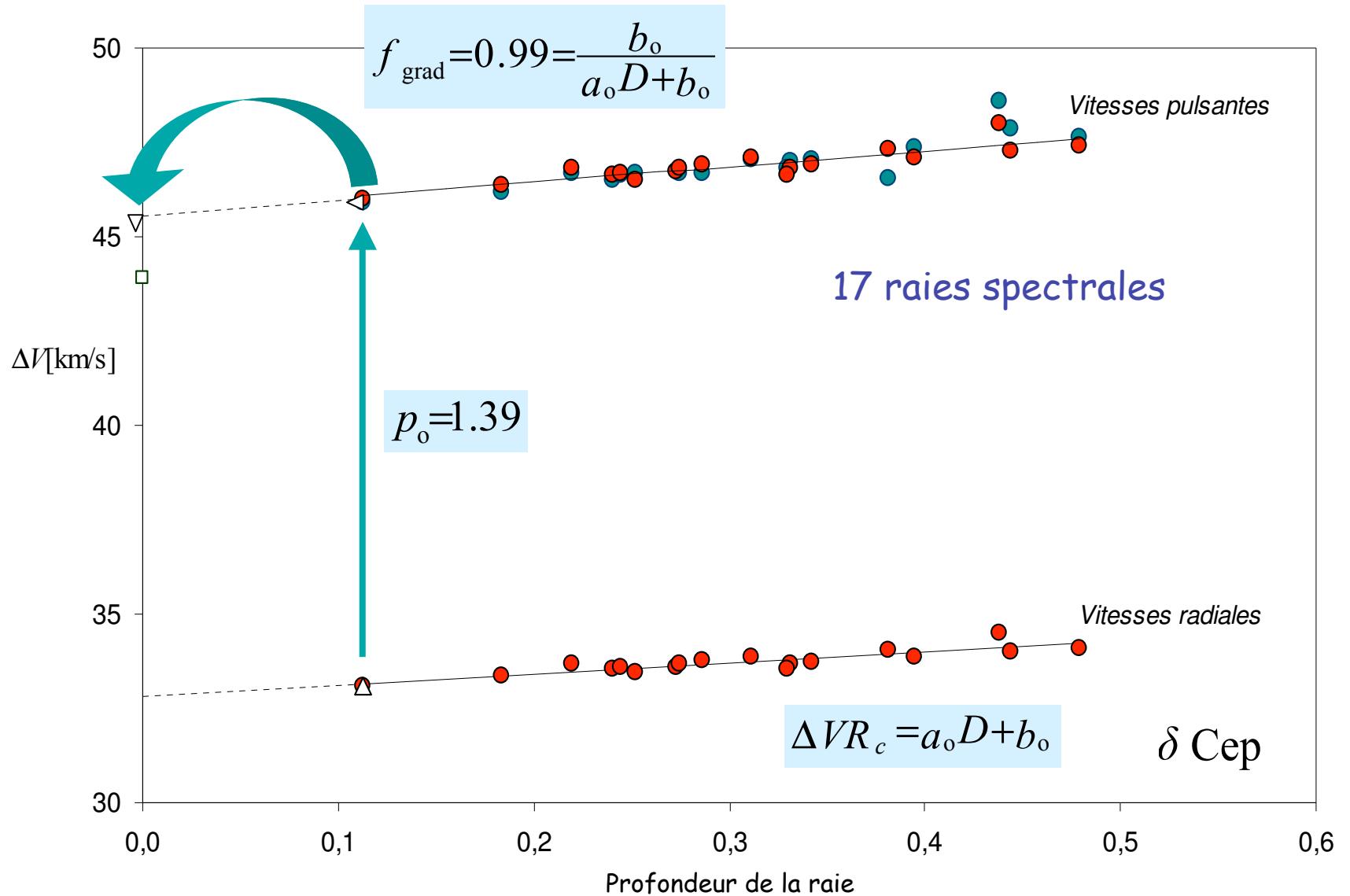
Décomposition du facteur de projection

$$p = p_o \cdot f_{\text{grad}} \cdot f_{o-g}$$



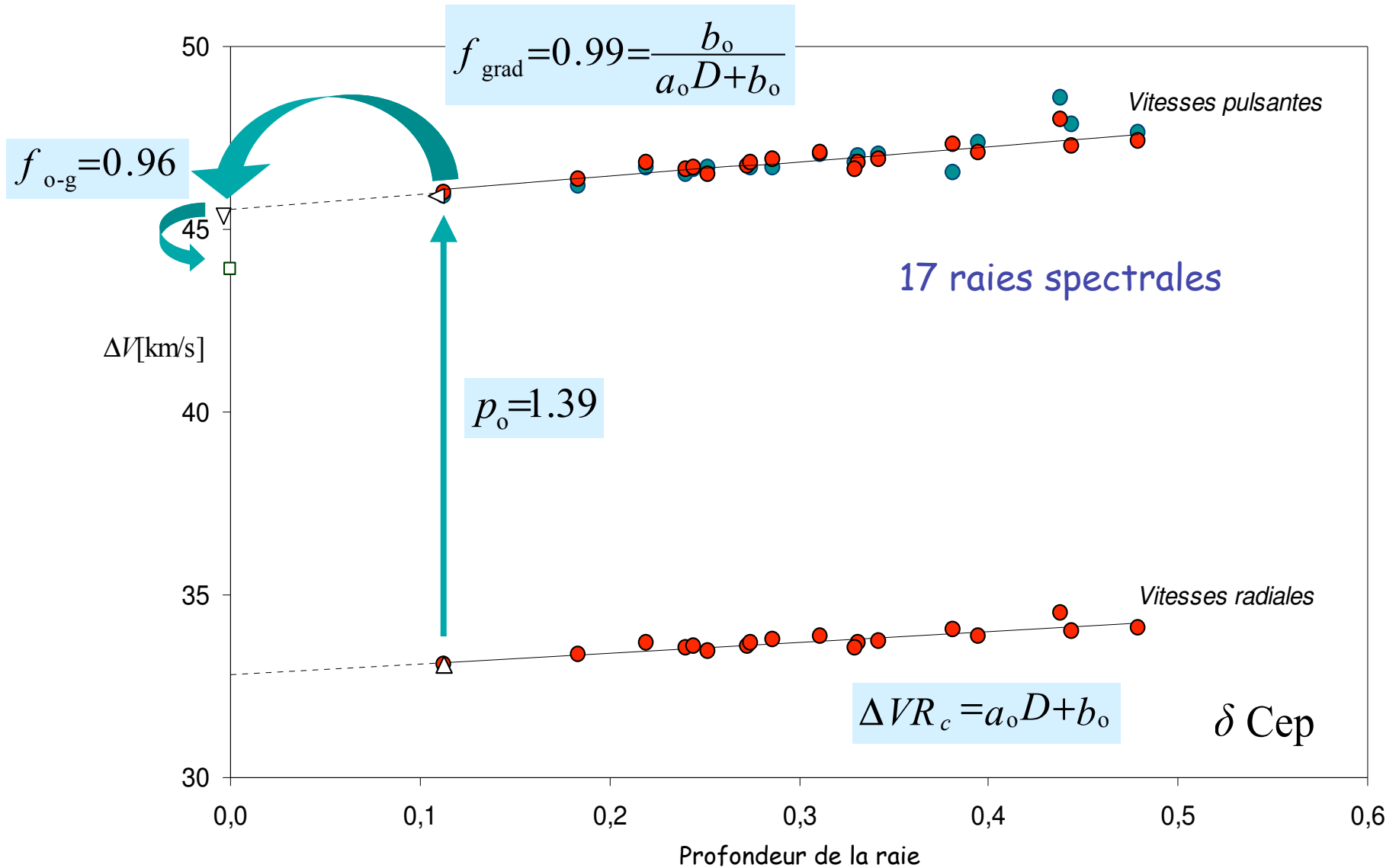
Décomposition du facteur de projection

$$p = p_o \cdot f_{\text{grad}} \cdot f_{\text{o-g}}$$



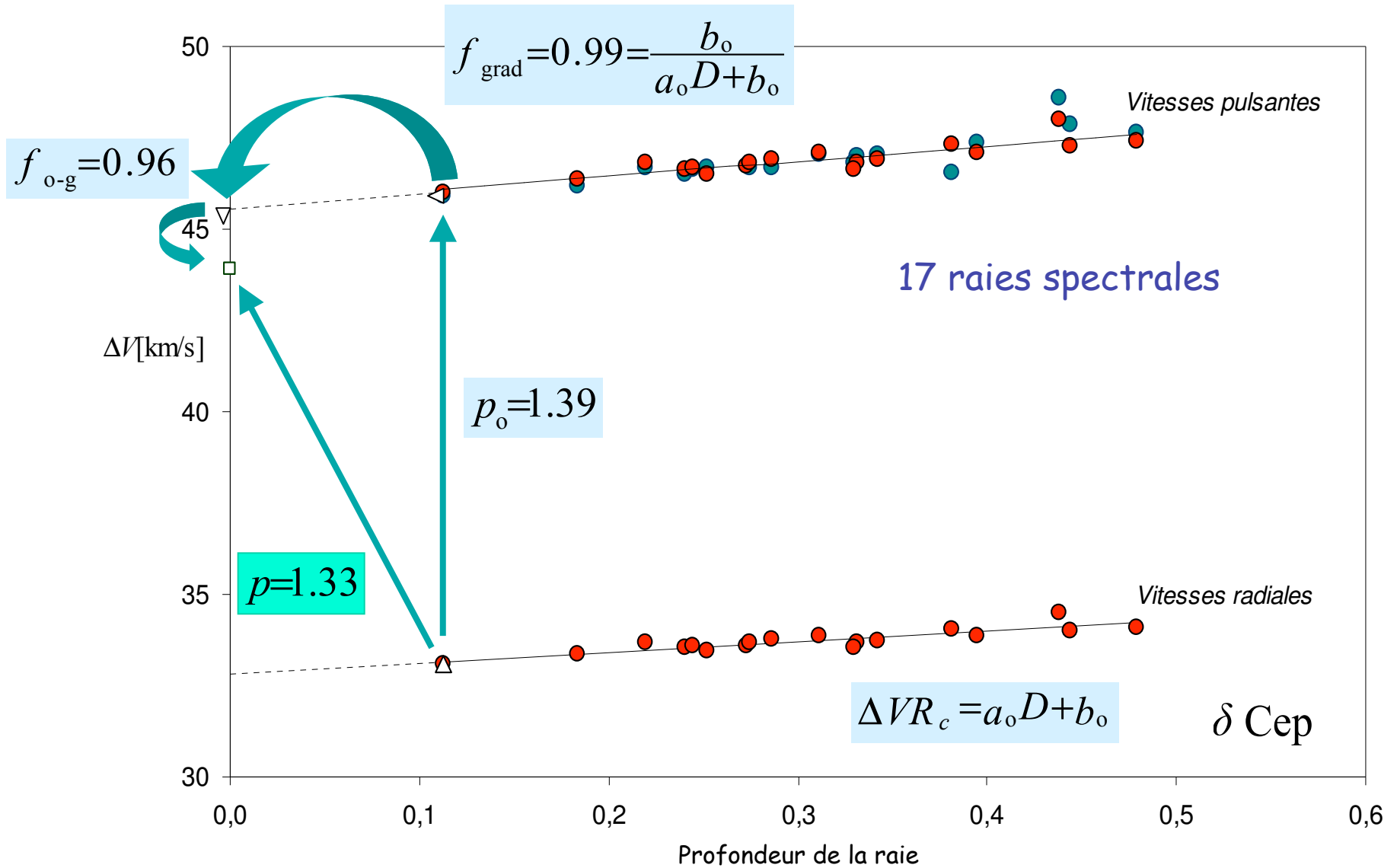
Décomposition du facteur de projection

$$p = p_o \cdot f_{\text{grad}} \cdot f_{\text{o-g}}$$



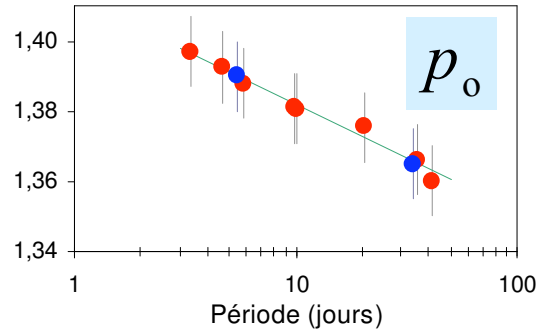
Décomposition du facteur de projection

$$p = p_o \cdot f_{\text{grad}} \cdot f_{\text{o-g}}$$

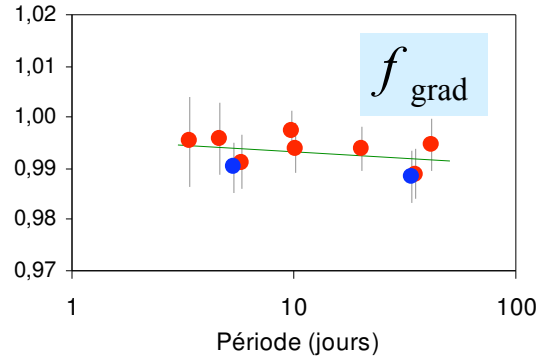


La relation Pp

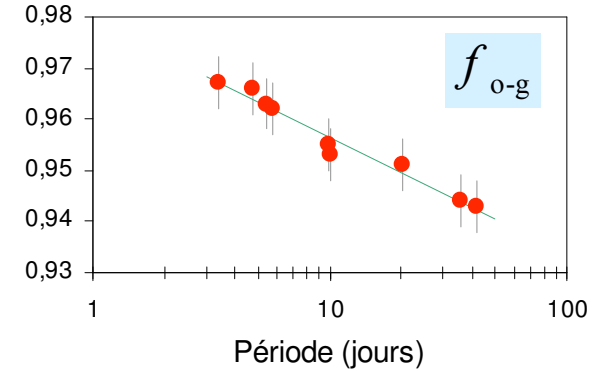
High resolution spectroscopy for Cepheids distance determination II. A period-projection factor relation
N. Nardetto, D. Mourard, Ph. Mathias, A. Fokin, D. Gillet, 2007, A&A, 471, 661



Modélisation
Géométrique



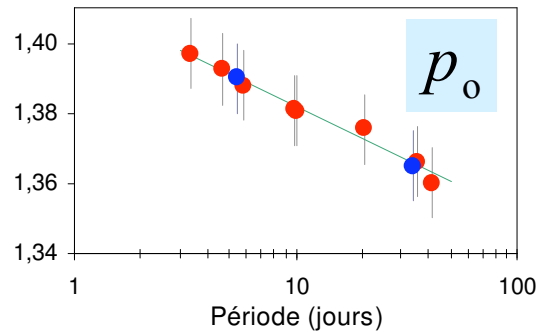
Observations HARPS



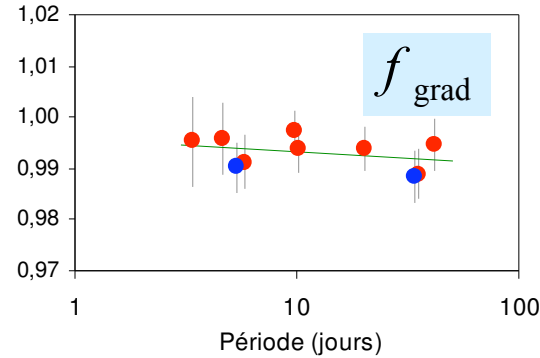
Modélisation
Hydrodynamique

La relation Pp

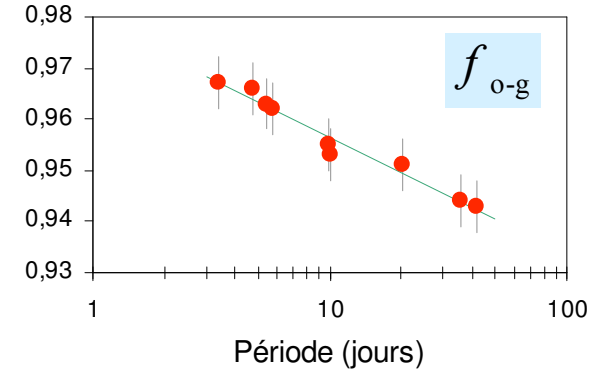
High resolution spectroscopy for Cepheids distance determination II. A period-projection factor relation
N. Nardetto, D. Mourard, Ph. Mathias, A. Fokin, D. Gillet, 2007, A&A, 471, 661



Modélisation
Géométrique

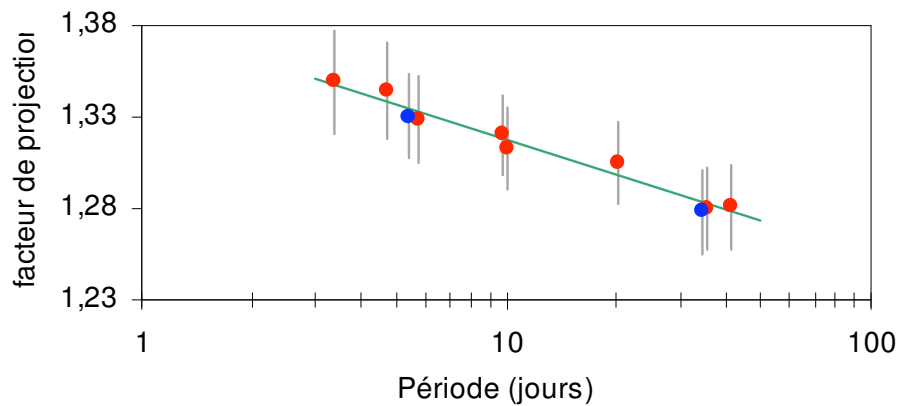


Observations HARPS



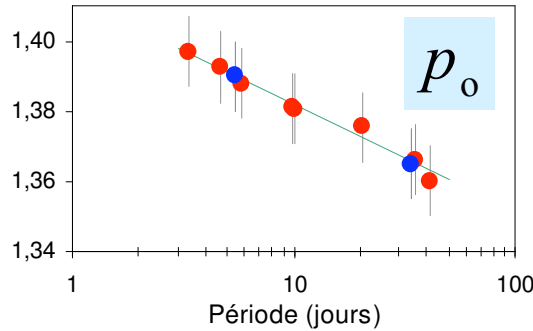
Modélisation
Hydrodynamique

FeI 4896A

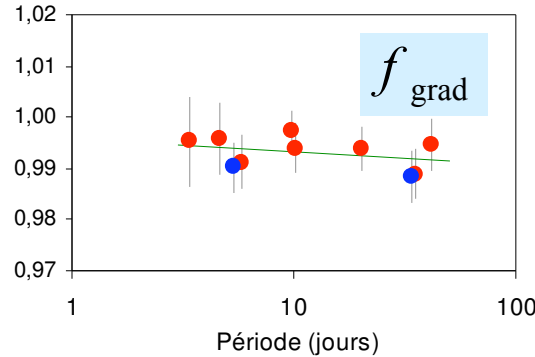


La relation Pp

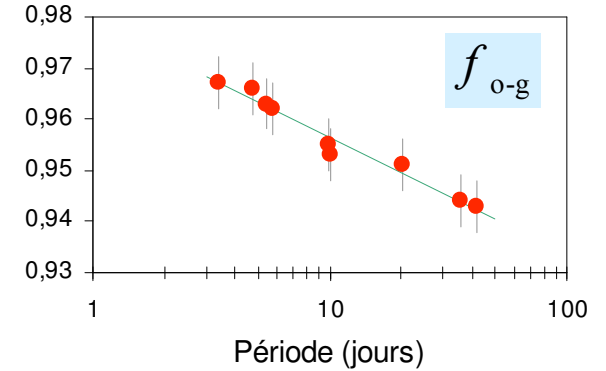
High resolution spectroscopy for Cepheids distance determination II. A period-projection factor relation
 N. Nardetto, D. Mourard, Ph. Mathias, A. Fokin, D. Gillet, 2007, A&A, 471, 661



Modélisation
Géométrique

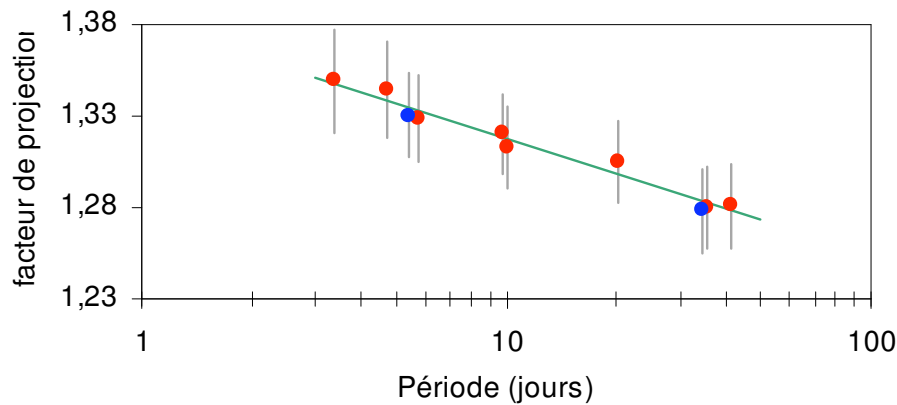


Observations HARPS



Modélisation
Hydrodynamique

FeI 4896A



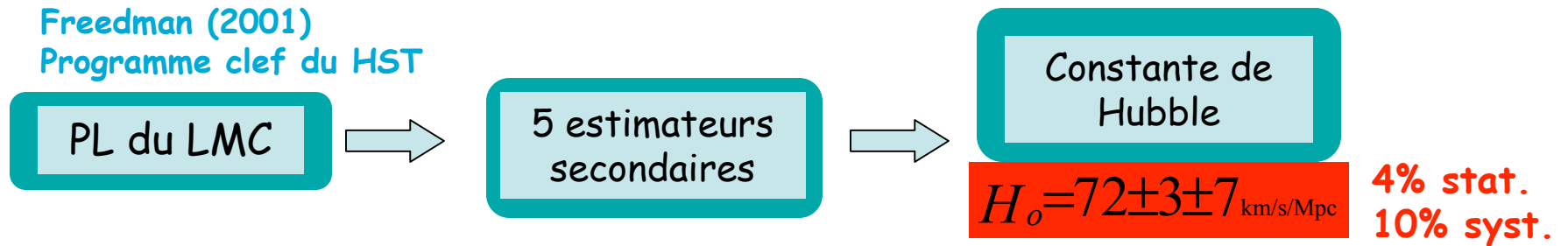
Découverte d'une relation Pp.
 Résultats confirmés par le HST



A new calibration of Galactic Cepheid
 Period-Luminosity relations based on four
 different methods

P. Fouqué, P. Arriagada, J. Storm, T.G.
 Barnes, N. Nardetto, A. Mérand, P. Kervella,
 W. Gieren, D. Bersier & G. F. Benedict & B.
 E. Mc Arthur 2007, A&A, 476, 73

Implications sur la CONSTANCE DE HUBBLE

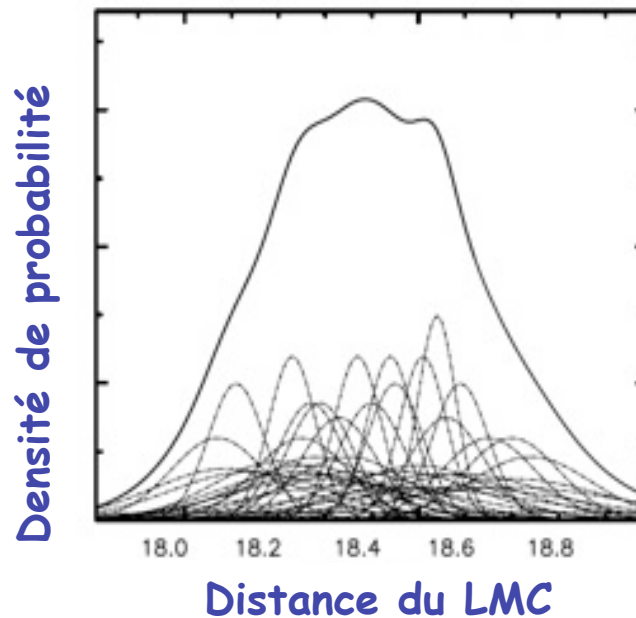


Métallicité (pente):
4% syst. sur H_0

→ pente (Voie Lactée) = pente (LMC)

Distance du LMC
(Point-zéro):
5% syst. sur H_0

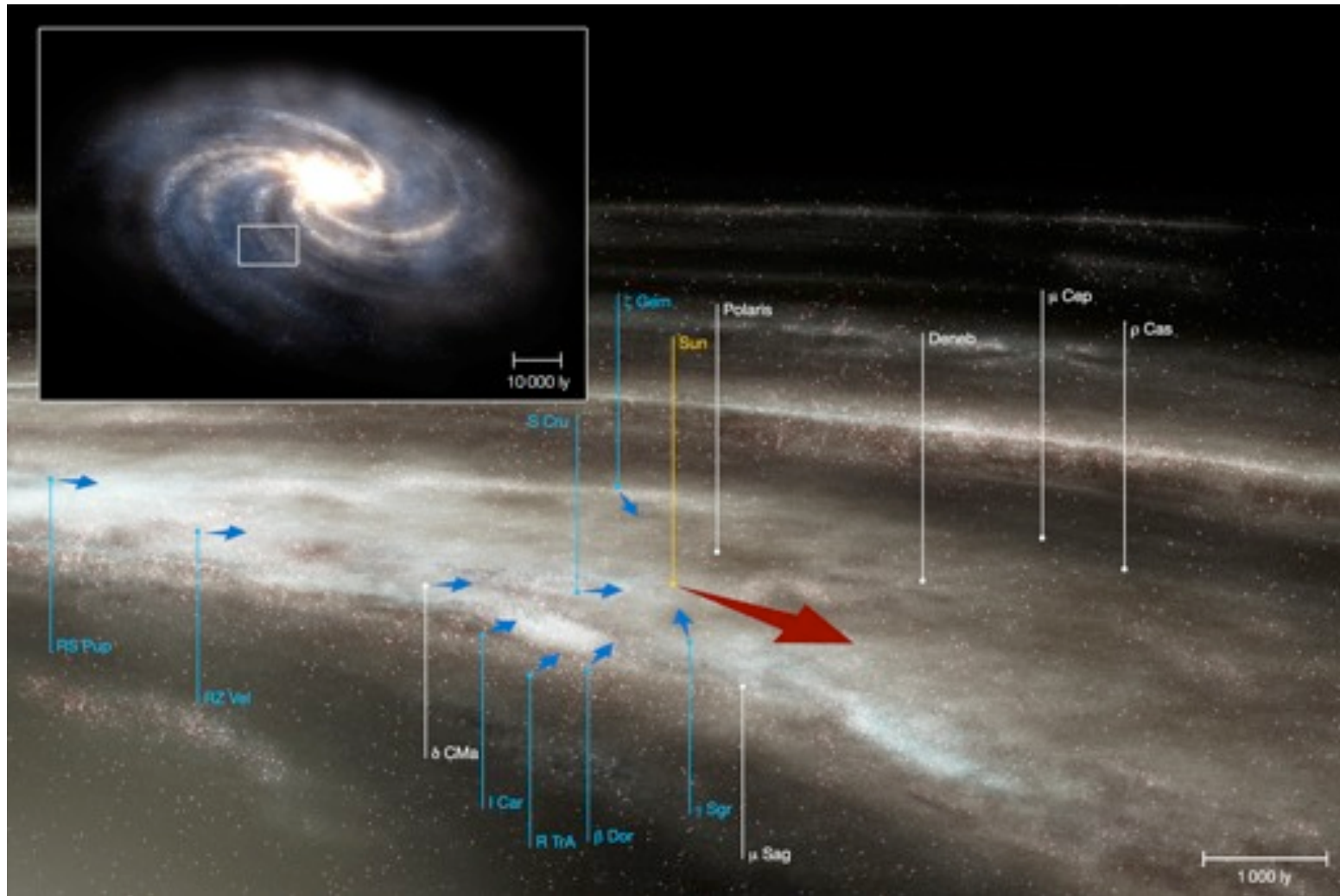
$m_0(\text{LMC}) = 18.50 \pm 0.10 \text{ mag}$



→ Objectif : précision et exactitude de 0.01 mag

La rotation de la Voie Lactée

Le problème du « K-term » des Céphéides : Joy (1939)



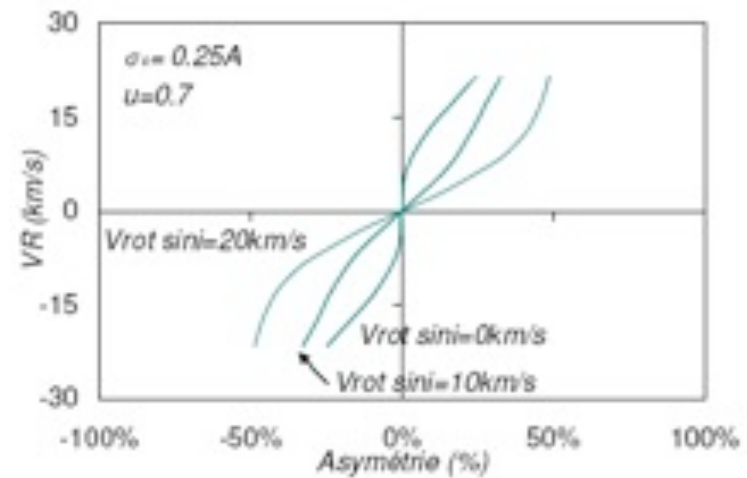
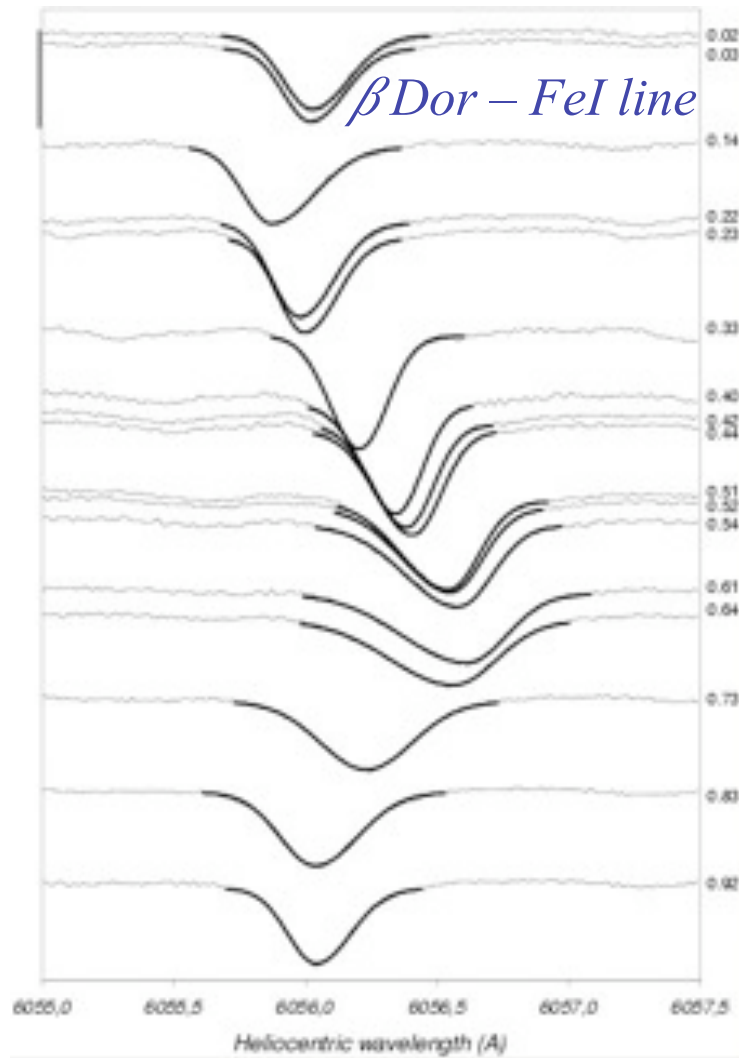
Un débat de 70 ans: Parenago (1947), Stibbs (1956), Wielen (1974), Caldwell & Coulson (1987), Moffett & Barnes (1987), Wilson et al. (1991), Pont, Mayor & Burki (1994)

Dynamique atmosphérique ou structure cinématique de la Voie Lactée

Les “ γ - asymétries” (1/2)

High resolution spectroscopy for Cepheids distance determination I. Line asymmetry

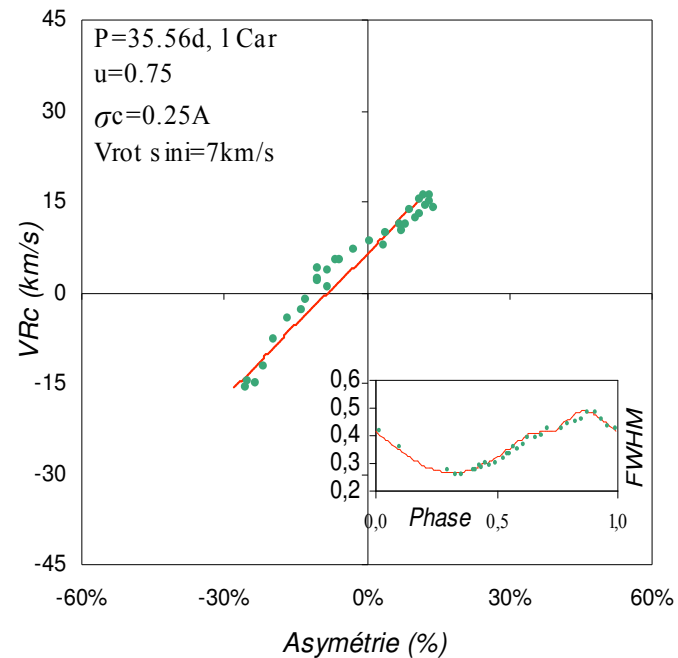
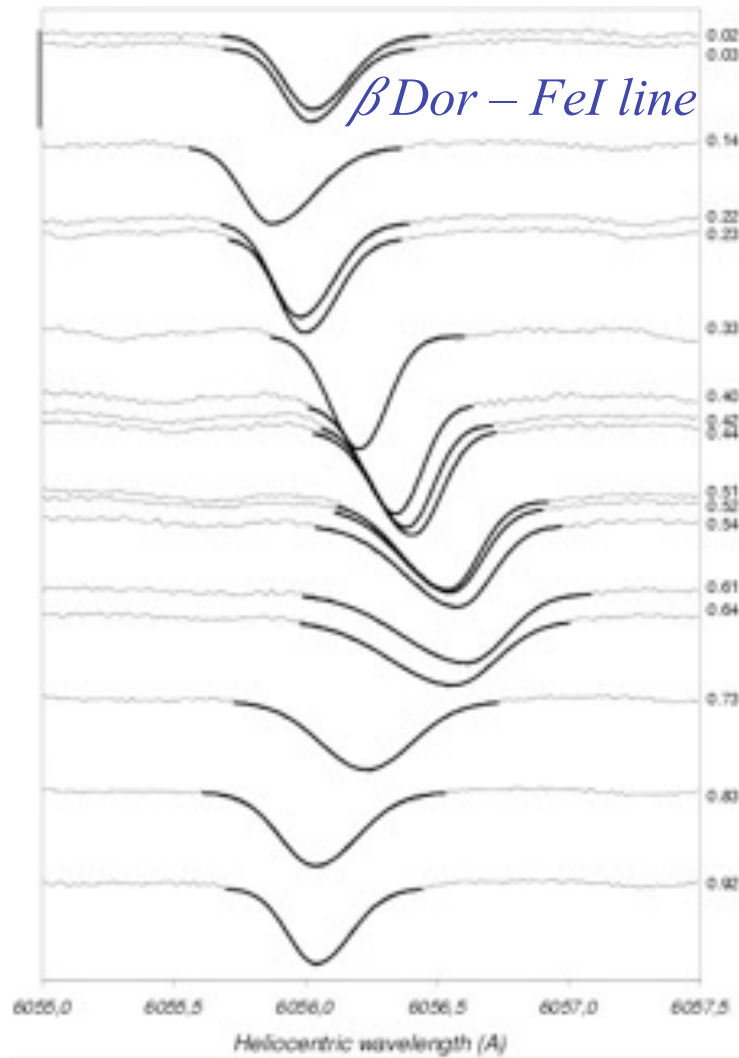
N. Nardetto, D. Mourard, P. Kervella, Ph. Mathias, A. Mérand, D. Bersier., 2005, A&A, 453, 409



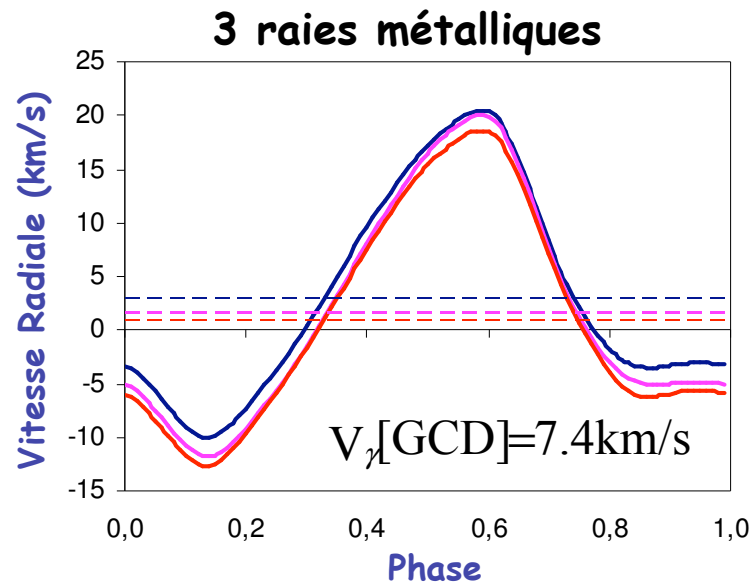
Les " γ - asymétries" (1/2)

High resolution spectroscopy for Cepheids distance determination I. Line asymmetry

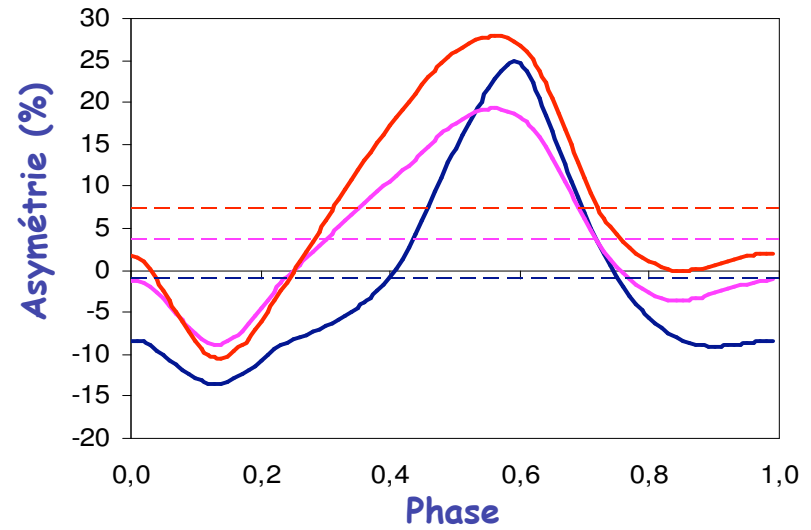
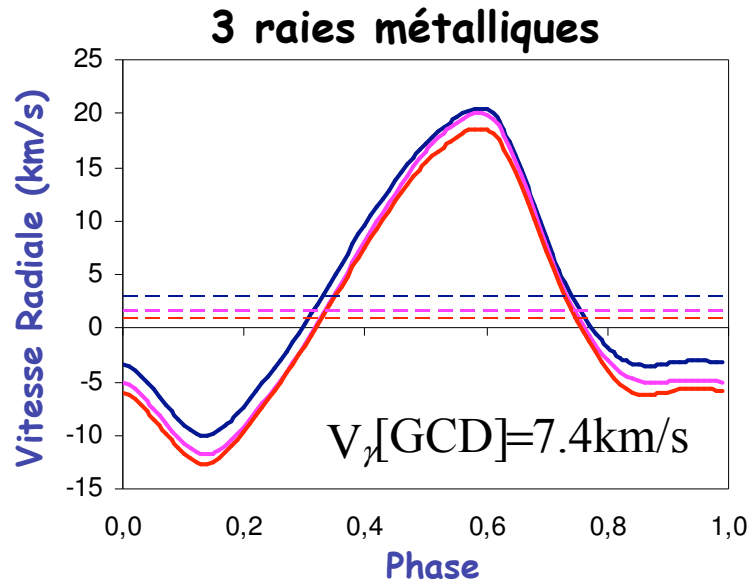
N. Nardetto, D. Mourard, P. Kervella, Ph. Mathias, A. Mérand, D. Bersier., 2005, A&A, 453, 409



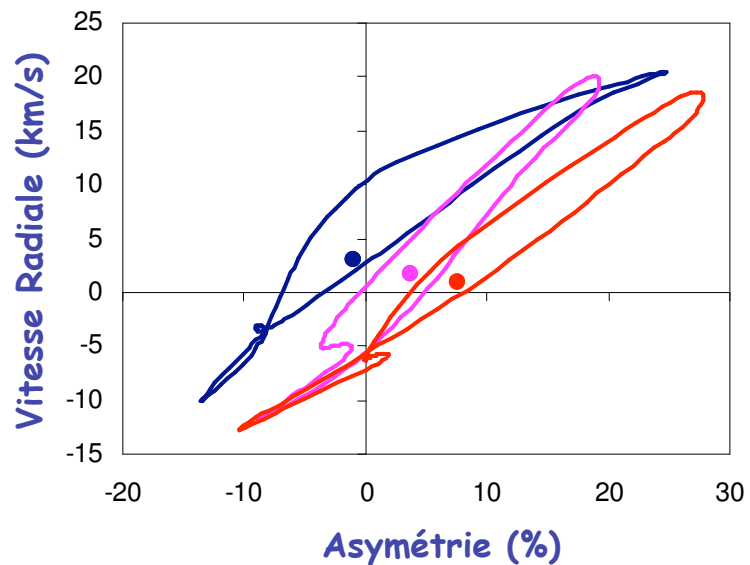
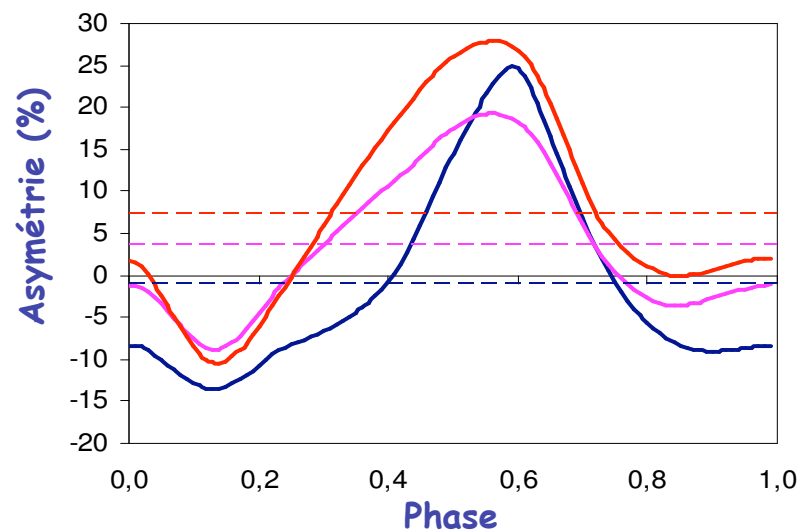
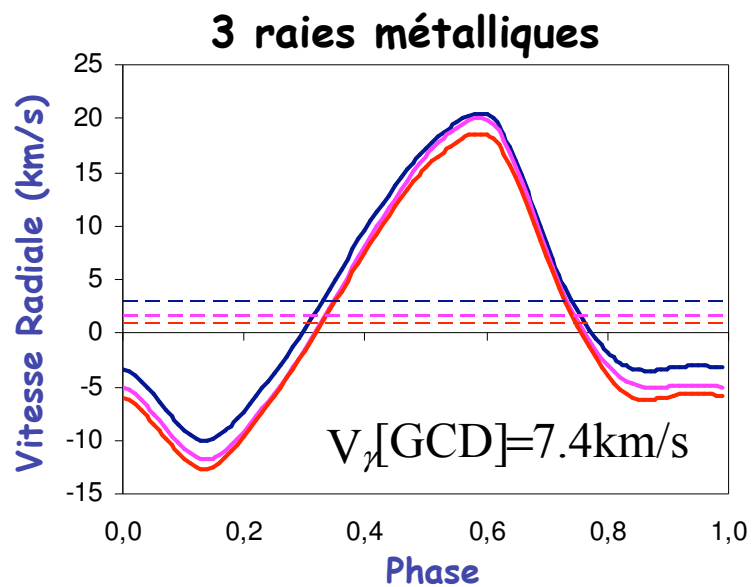
Les " γ - asymétries" (2/2)



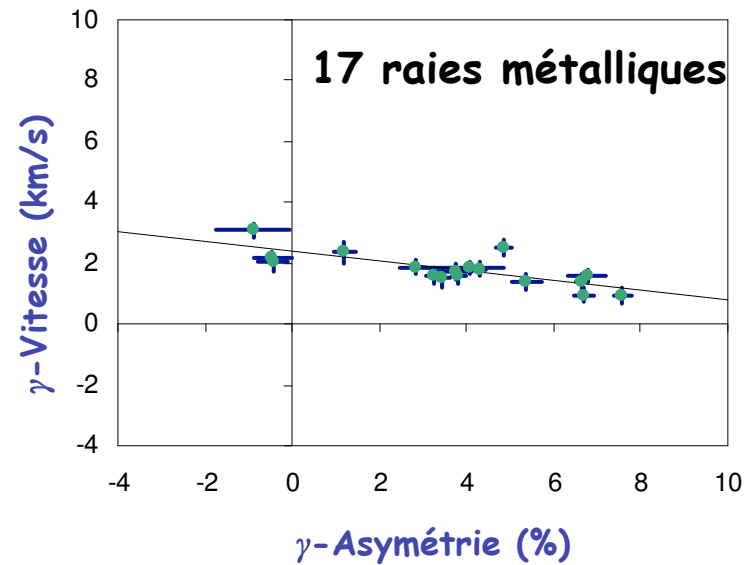
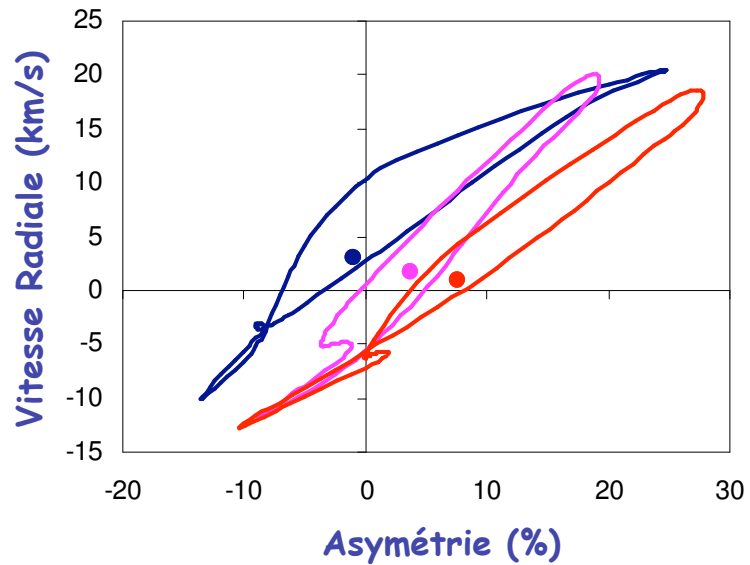
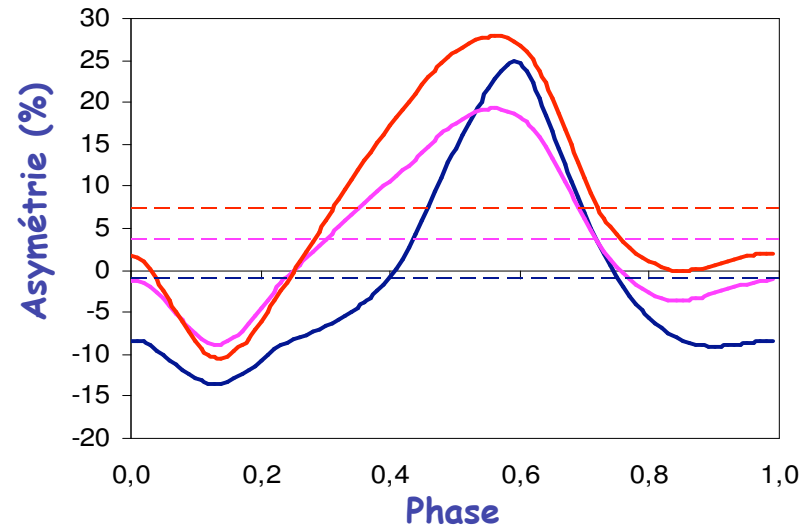
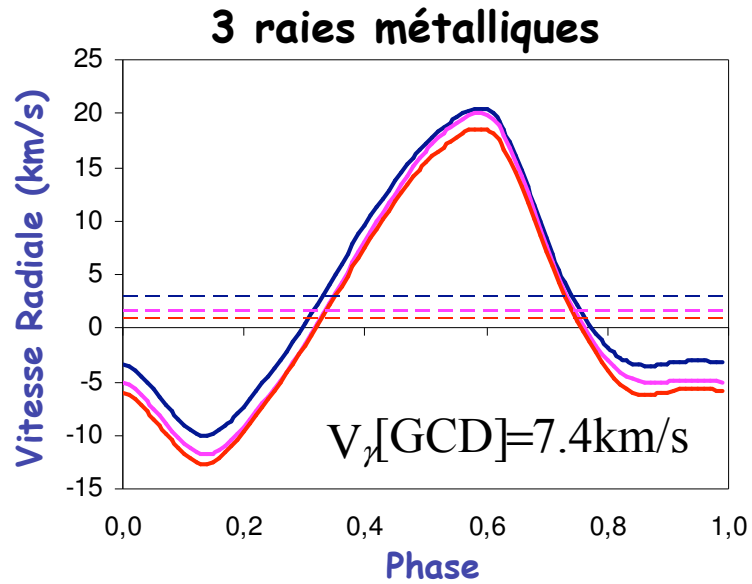
Les " γ - asymétries" (2/2)



Les " γ - asymétries" (2/2)

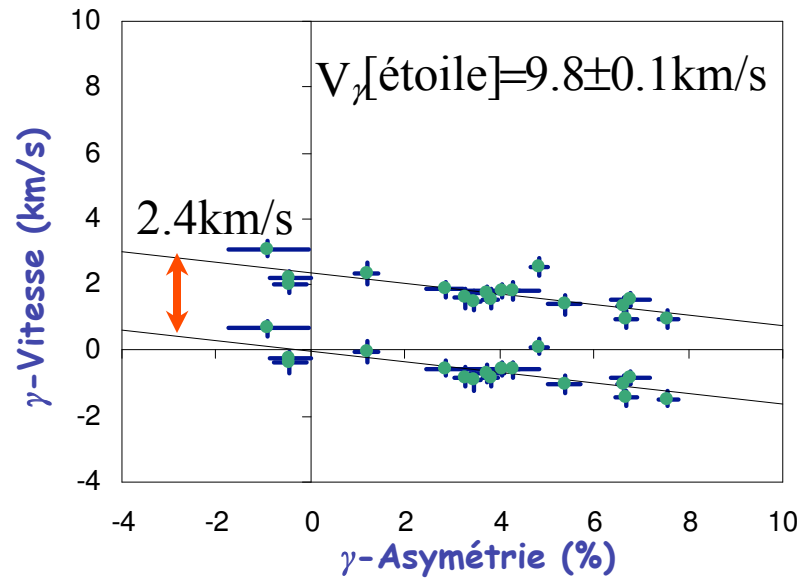
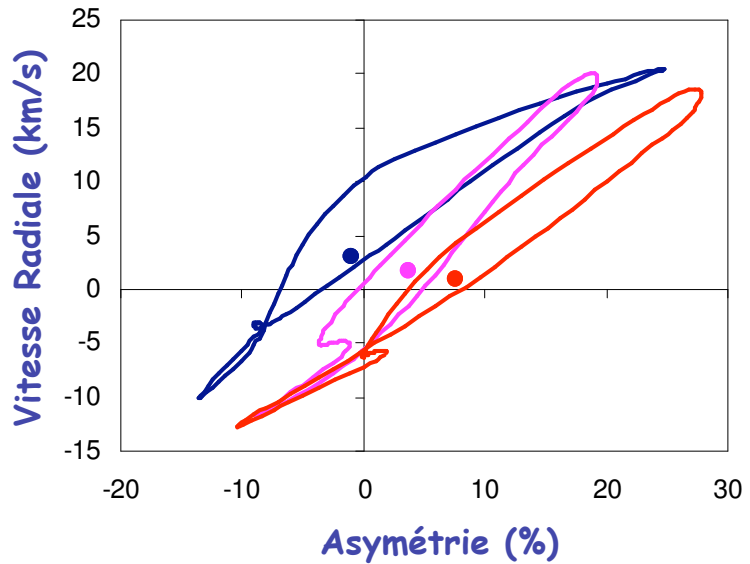
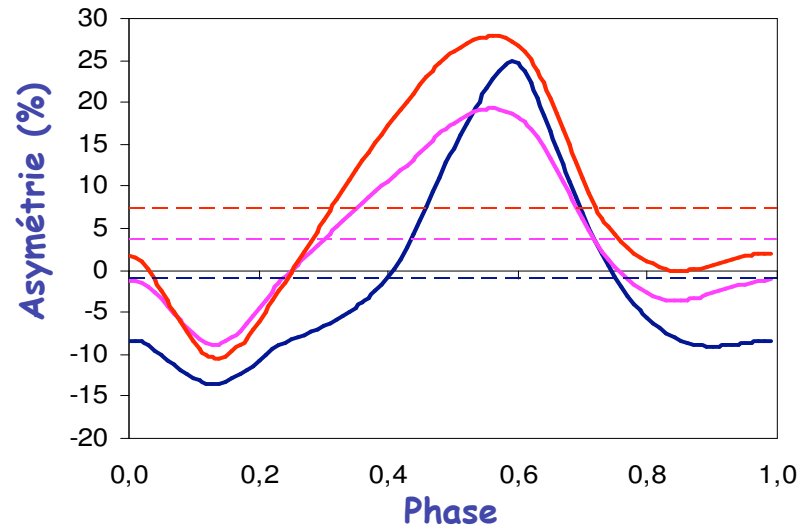
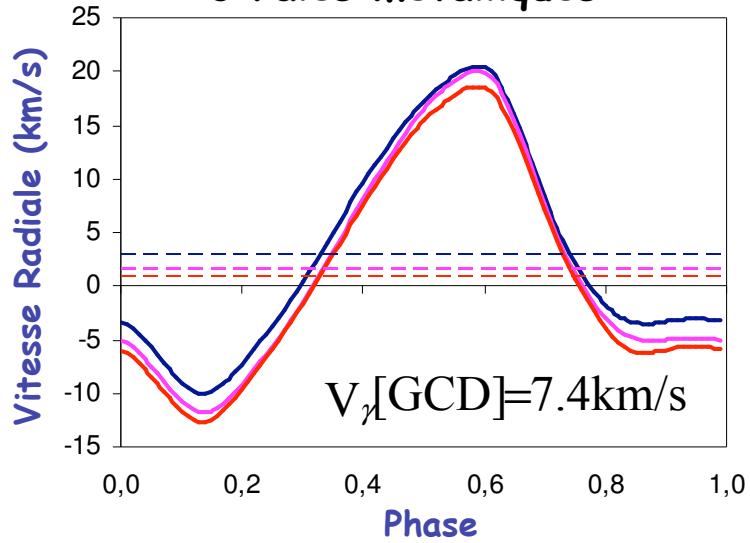


Les " γ - asymétries" (2/2)

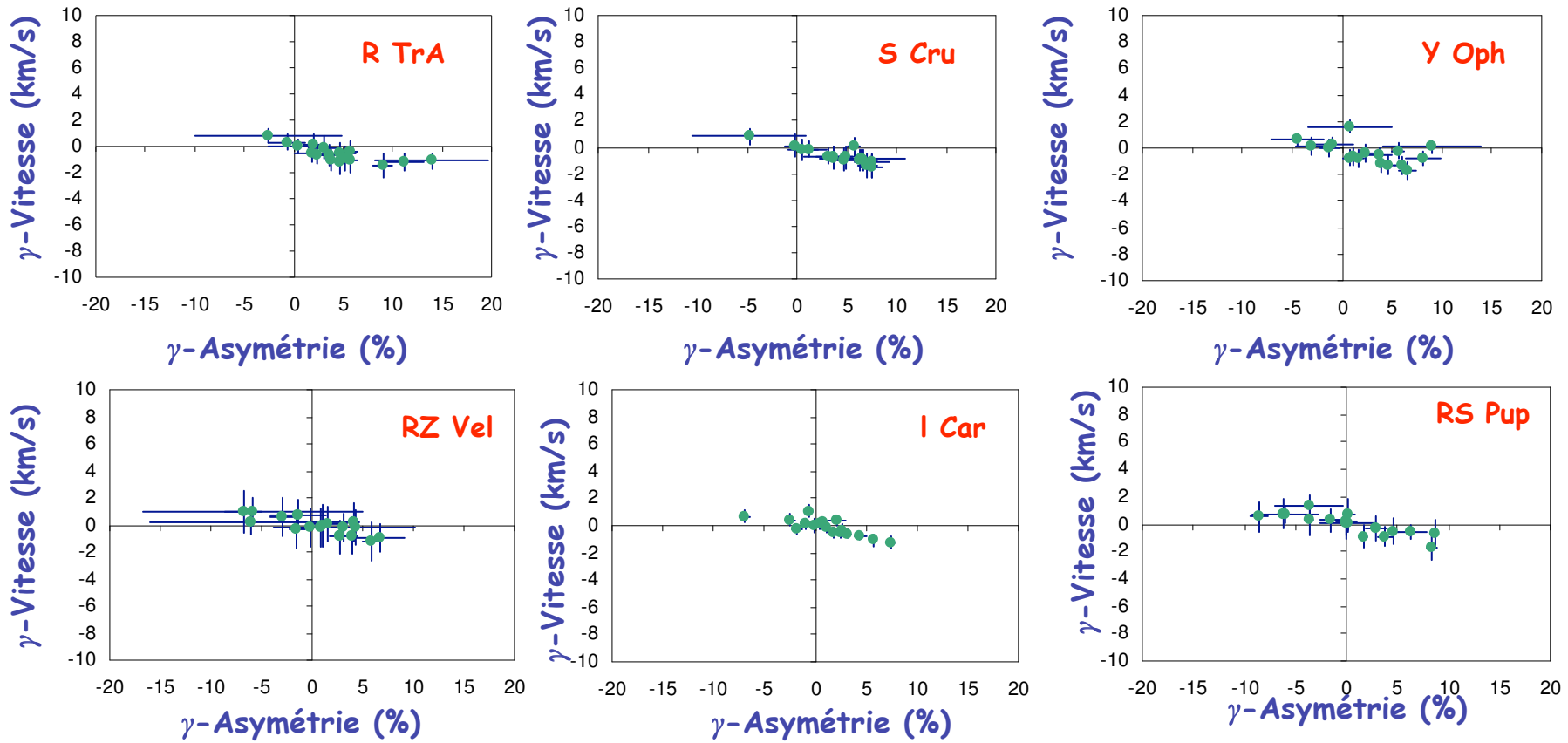


Les "γ - asymétries" (2/2)

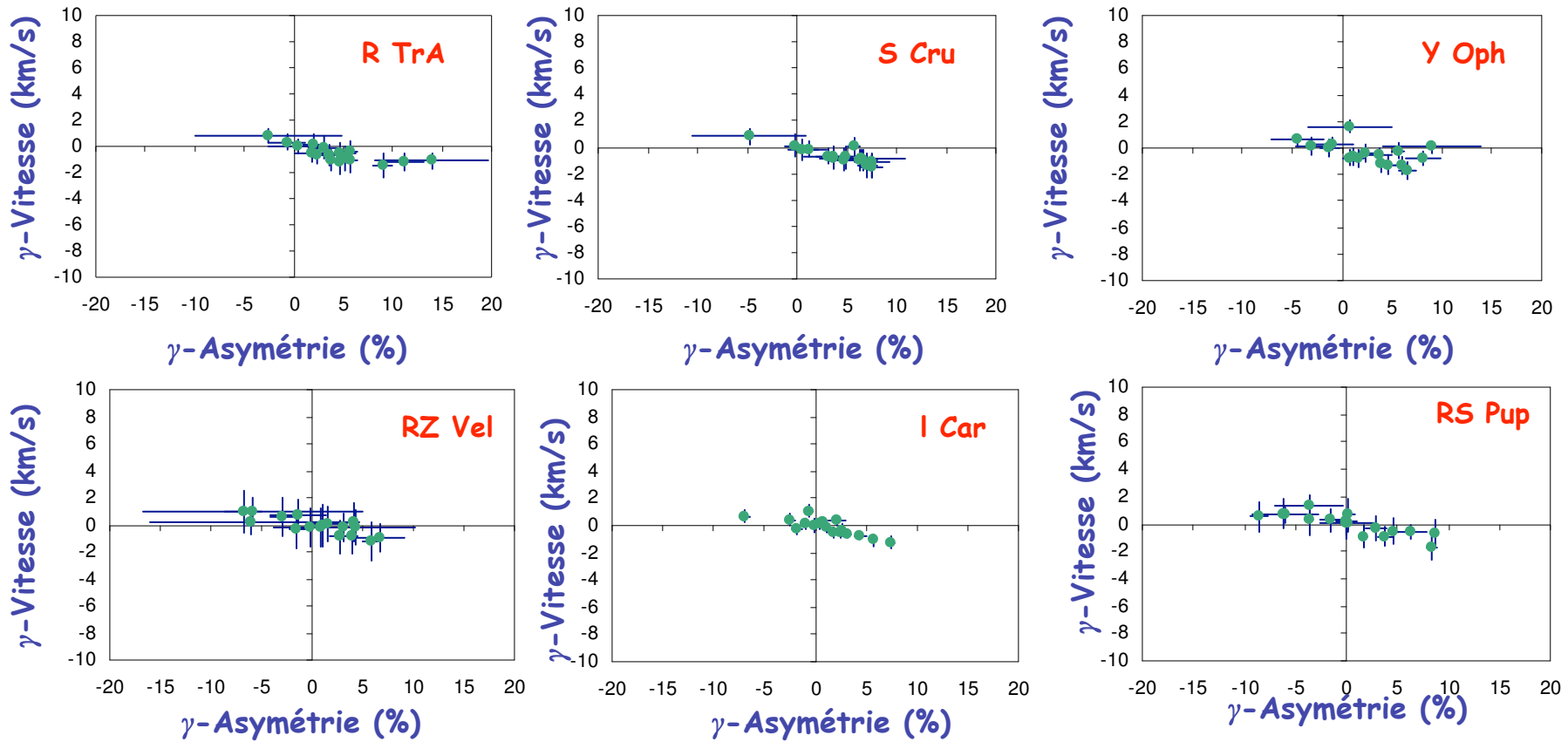
3 raies métalliques



High resolution spectroscopy for Cepheids distance determination
III. A relation between γ -velocities and γ -asymmetries
N. Nardetto, A. Stoekl, D. Bersier, T. Barnes, 2008, A&A, 489, 1255

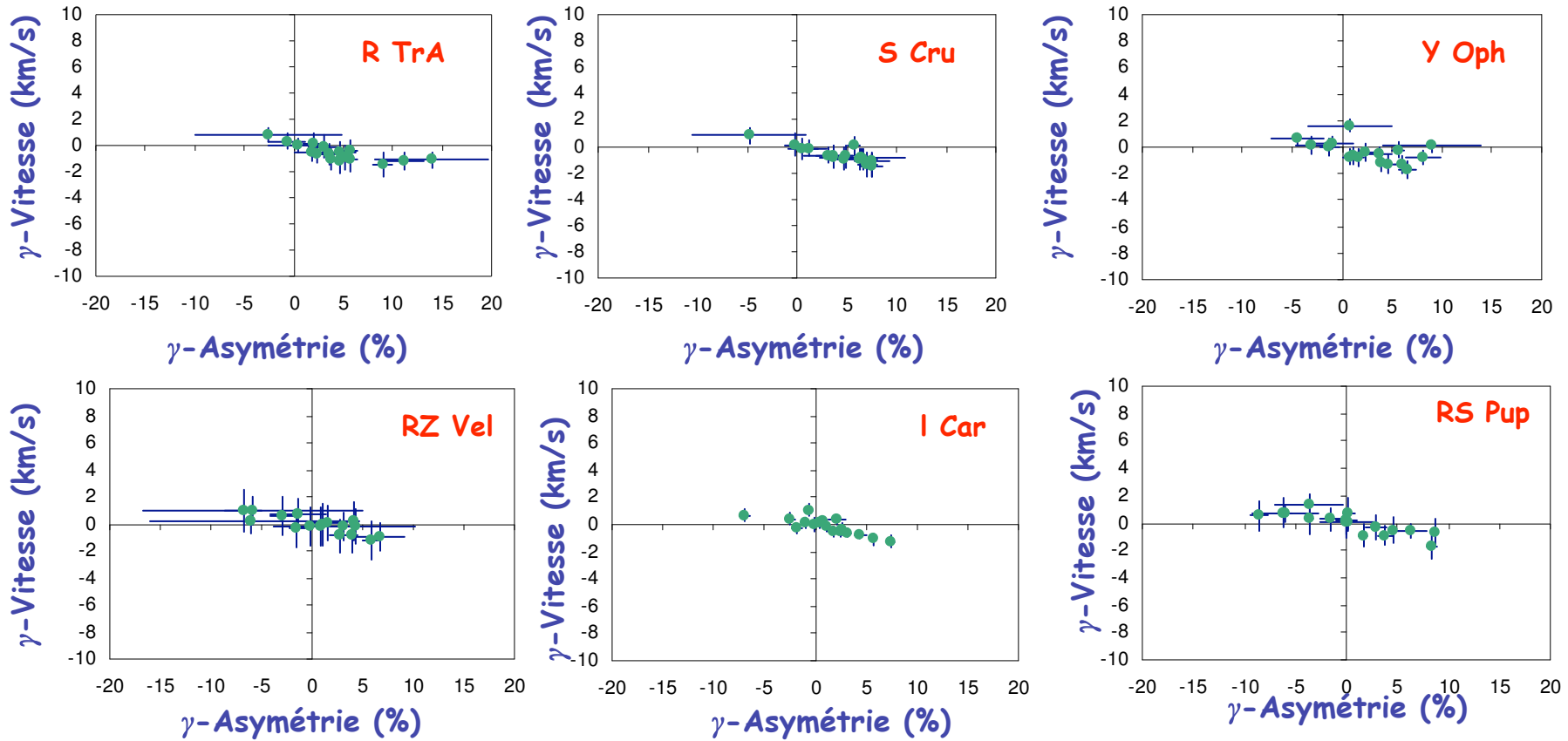


High resolution spectroscopy for Cepheids distance determination
III. A relation between γ -velocities and γ -asymmetries
N. Nardetto, A. Stoekl, D. Bersier, T. Barnes, 2008, A&A, 489, 1255

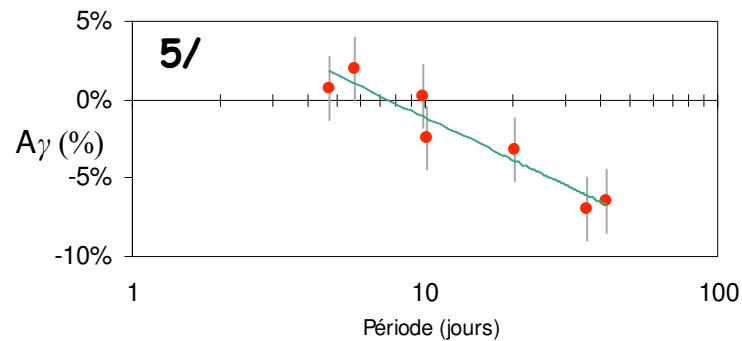


On trouve pour les 8 étoiles une correction moyenne (redshift) de **1.8+-0.2km/s!**

High resolution spectroscopy for Cepheids distance determination
 III. A relation between γ -velocities and γ -asymmetries
 N. Nardetto, A. Stoekl, D. Bersier, T. Barnes, 2008, A&A, 489, 1255

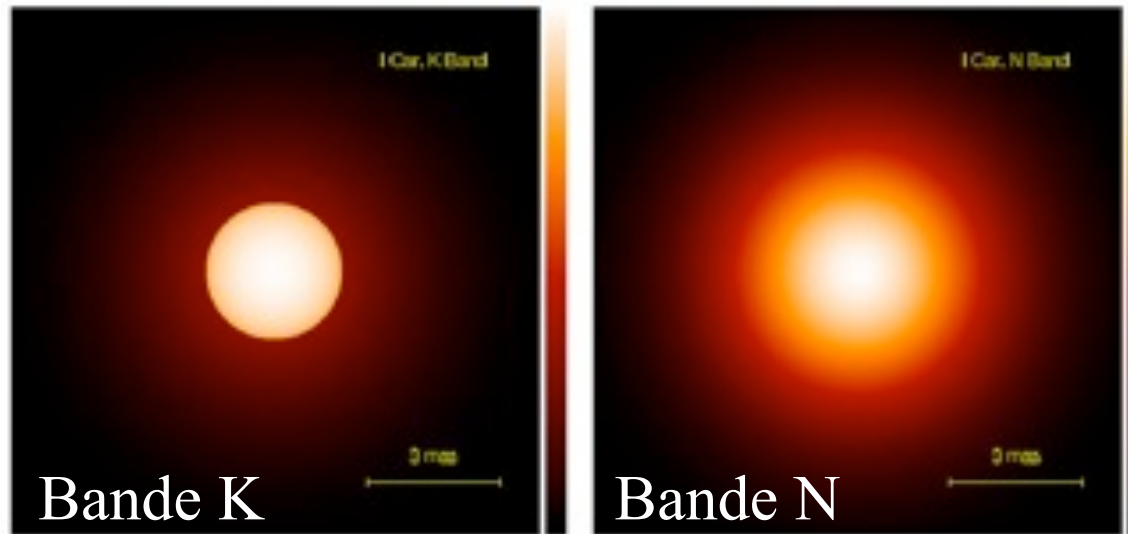


On trouve pour les 8 étoiles une correction moyenne (redshift) de **1.8 \pm 0.2 km/s!**



L'enveloppe circumstellaire des Céphéïdes (CHARA)

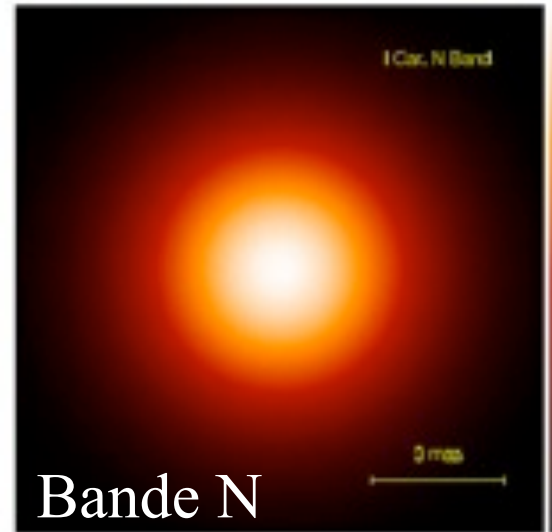
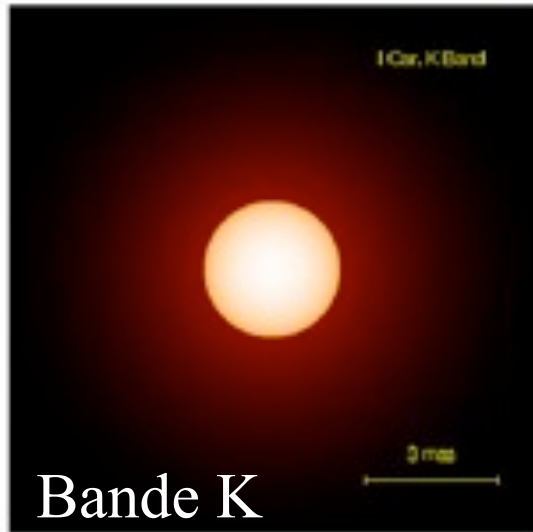
1 Car



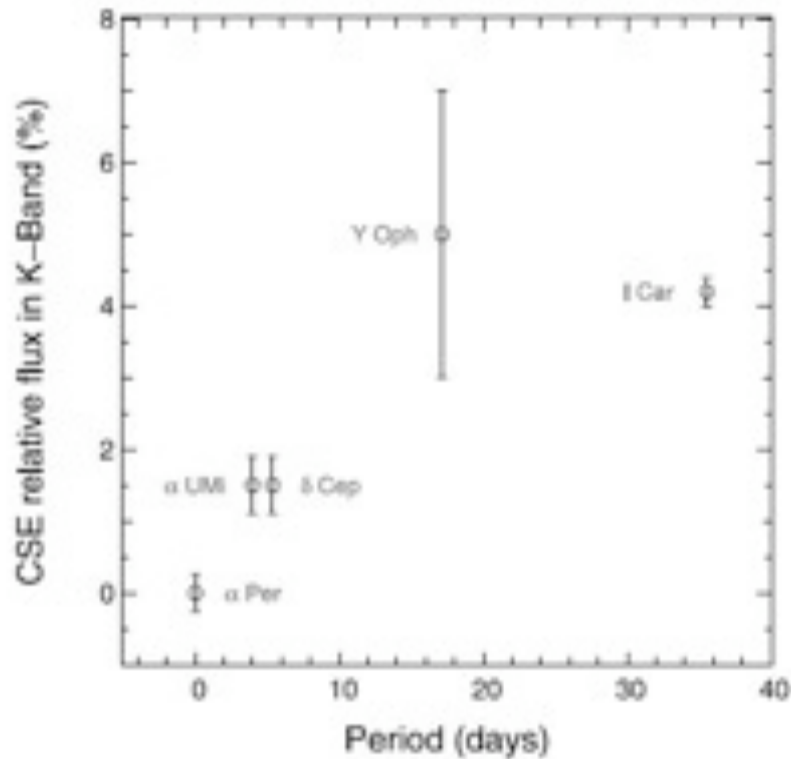
Kervella et al. 2006, *A&A*, 448, 623

L'enveloppe circumstellaire des Céphéides (CHARA)

1 Car

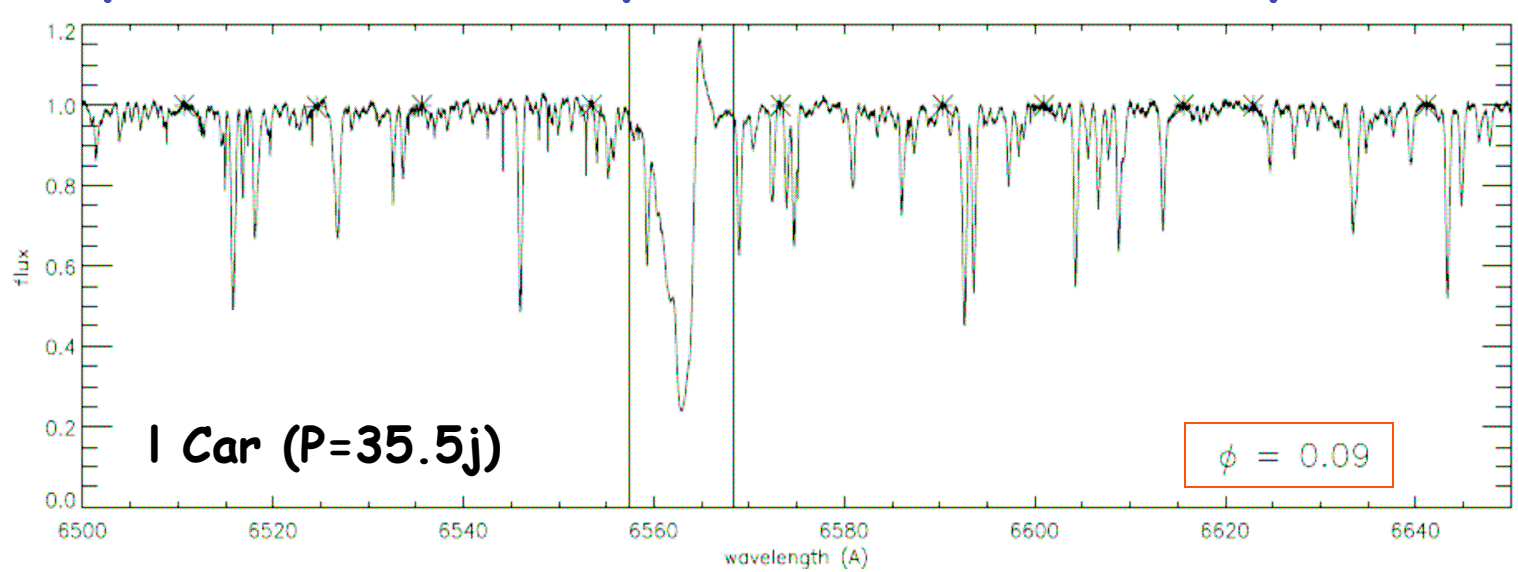


Kervella et al. 2006, *A&A*, 448, 623

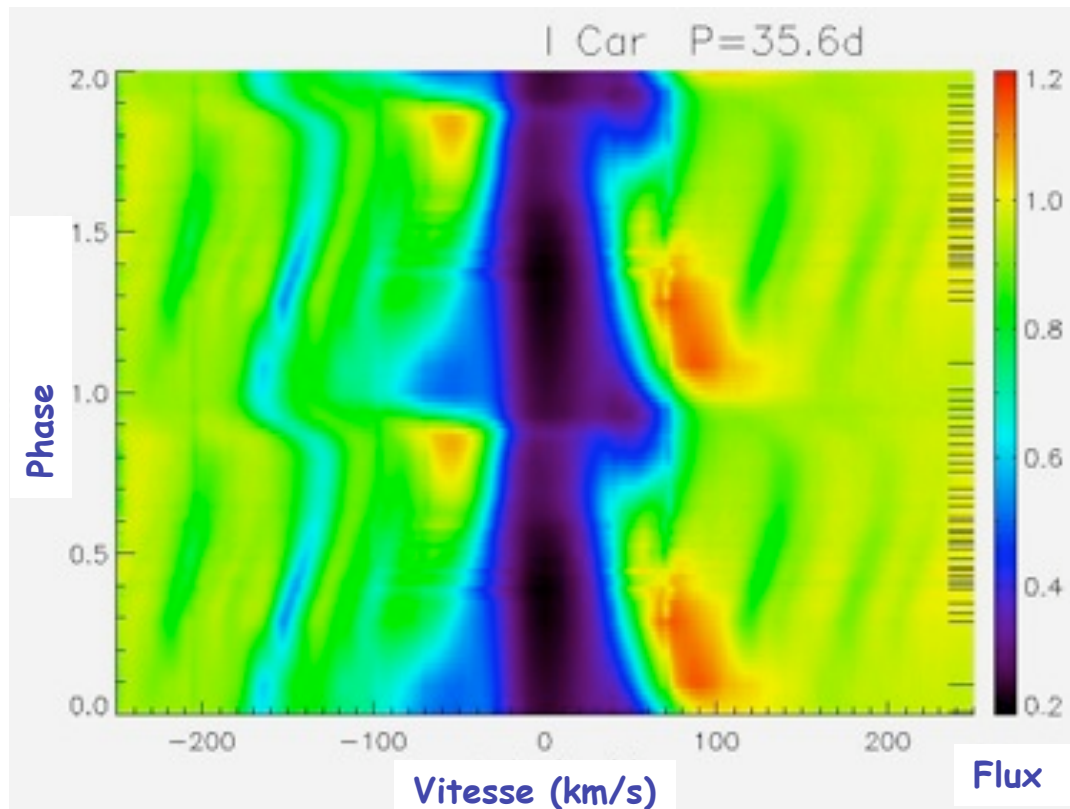
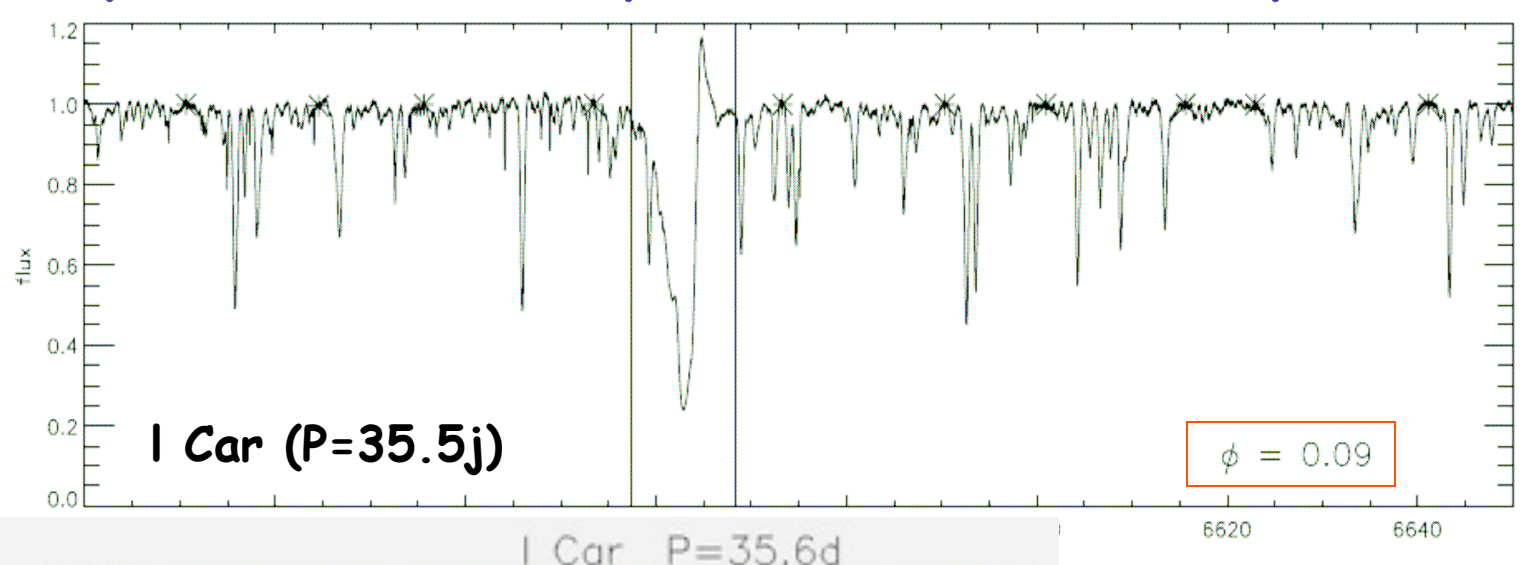


Mérand et al. 2007, *A&A*, 453, 155

Les profils $H\alpha$ des Céphéides (1/3) : le cas particulier de / Car



Les profils $H\alpha$ des Céphéides (1/3) : le cas particulier de ι Car



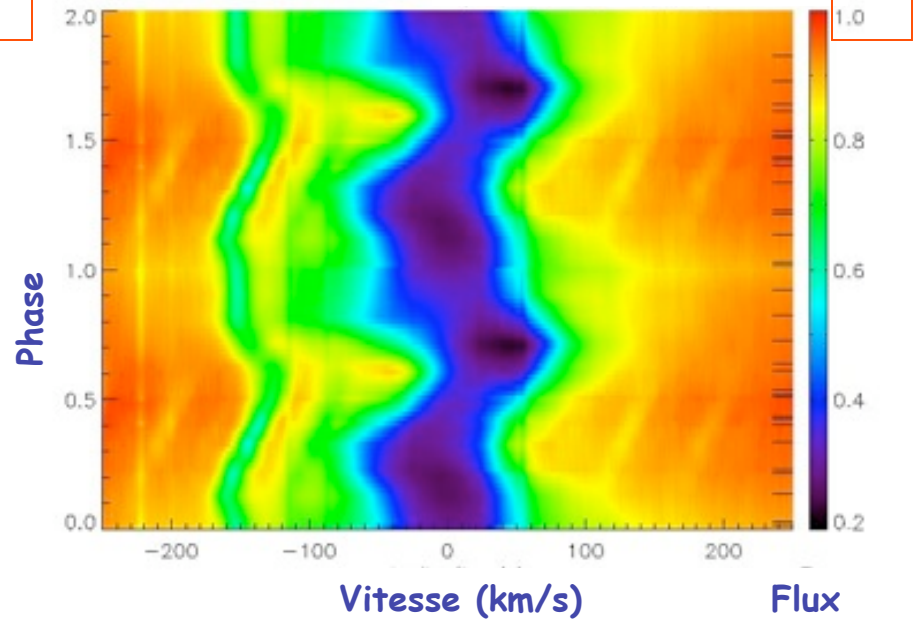
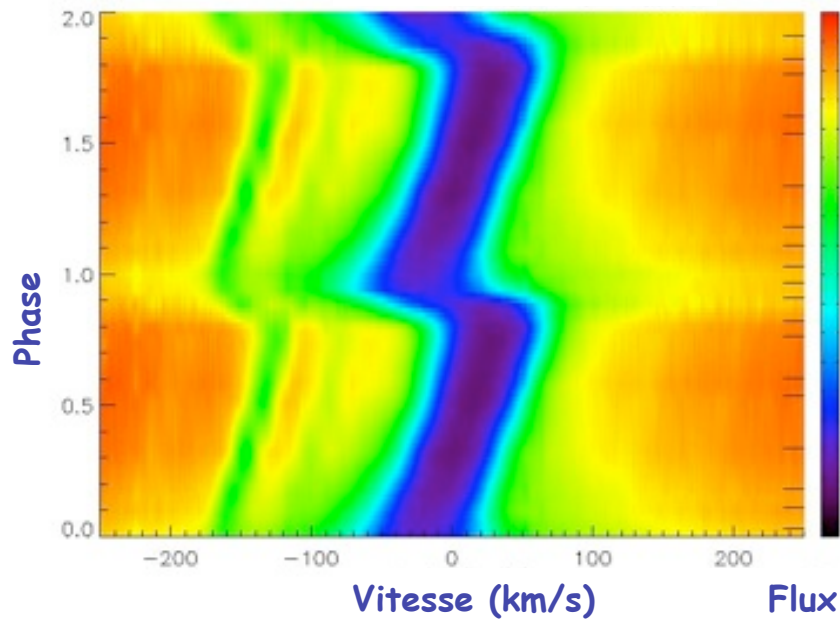
CONCLUSIONS concernant ι Car:

- Une composante centrale en absorption
- Composantes en émission (du côté rouge et du côté bleu)
- Forte asymétrie

Les profils Ha (2/3)

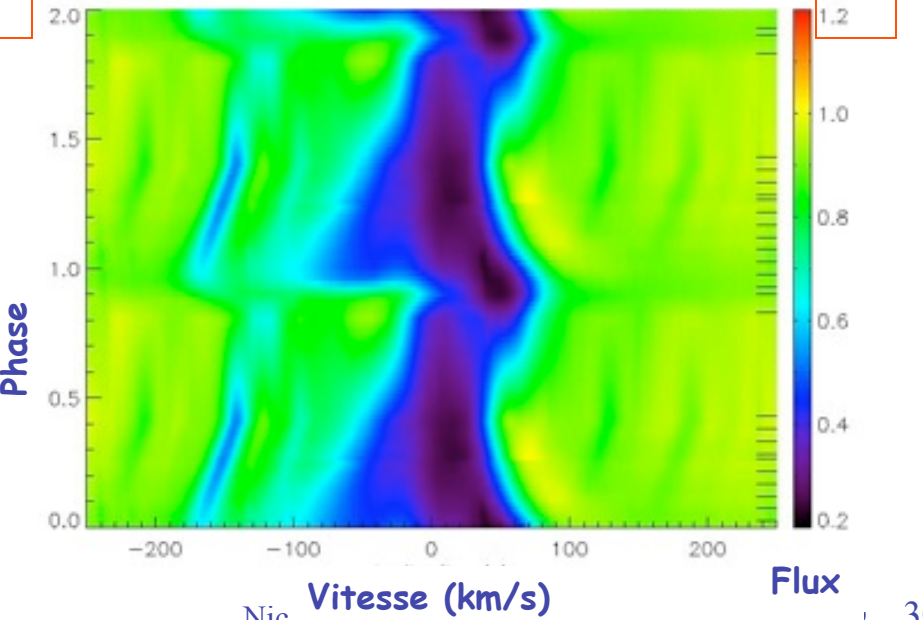
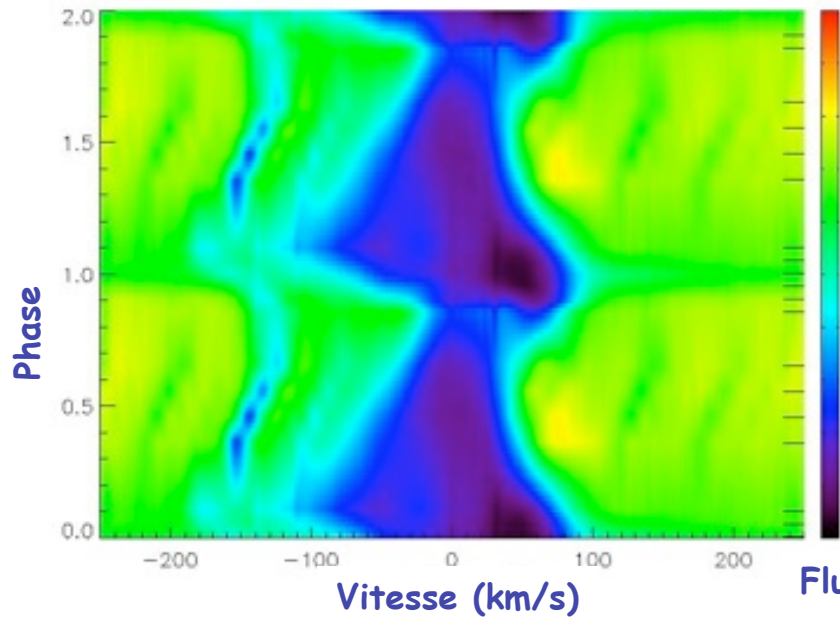
S Cru (P=4.7j)

β Dor (P=9.8j)



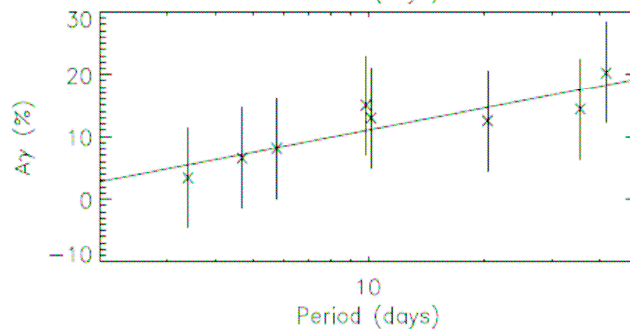
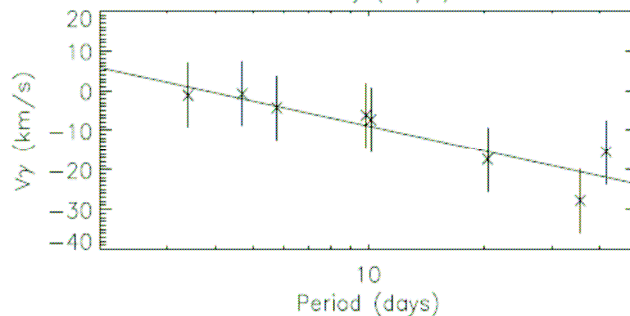
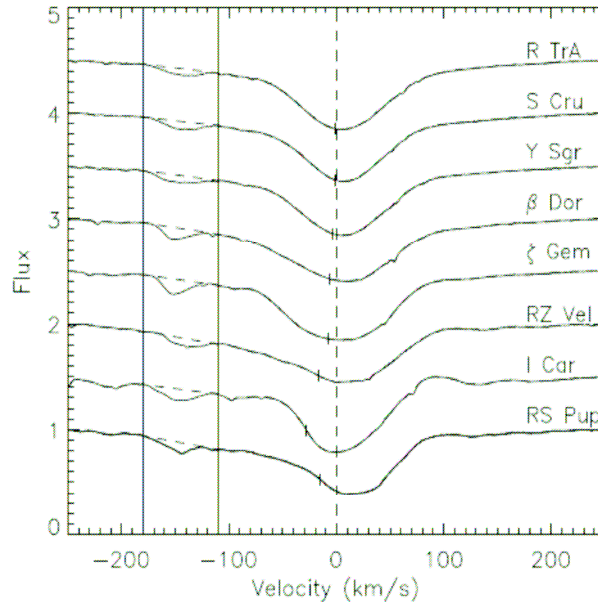
RZ Vel (P=20.4j)

RS Pup (P=41.5j)



Nic

Les profils $H\alpha$ des Céphéides (3/3): une relation "Période- $A\gamma$ "



High resolution spectroscopy for Cepheids distance determination

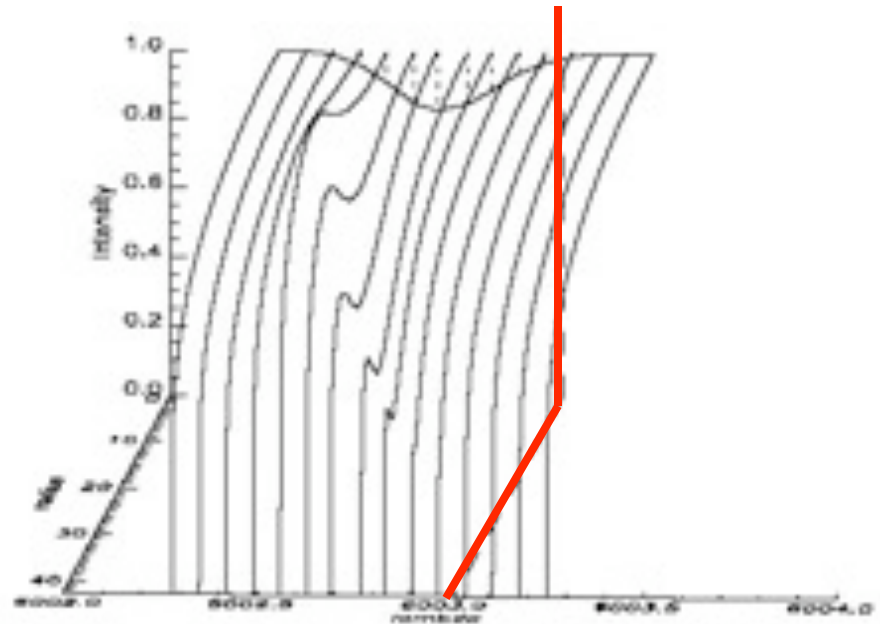
IV. Times series of $H\alpha$ line profiles

N. Nardetto, J. Groh, S. Kraus, F. Millour, D. Gillet, 2008, *A&A*, 489, 1263

CONCLUSIONS générales:

- 1/ Une relation entre la période et la perte de masse?
- 2/ Modélisation de l'enveloppe circumstellaire
- 3/ Observations spectro-interférométriques (AMBER & VEGA)

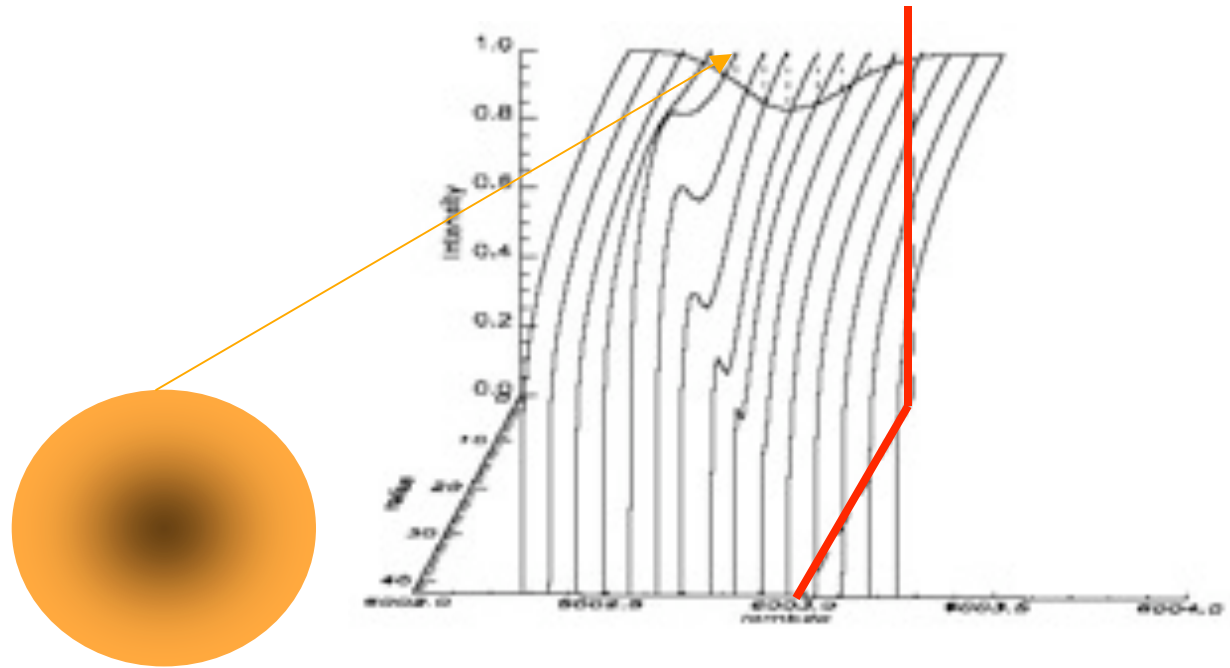
Perspectives : spectro-interférométrie



$$\varphi=0 \quad V_{puls}=20\text{km/s}$$

$$V_{rot}*\sin i=0\text{km/s}$$

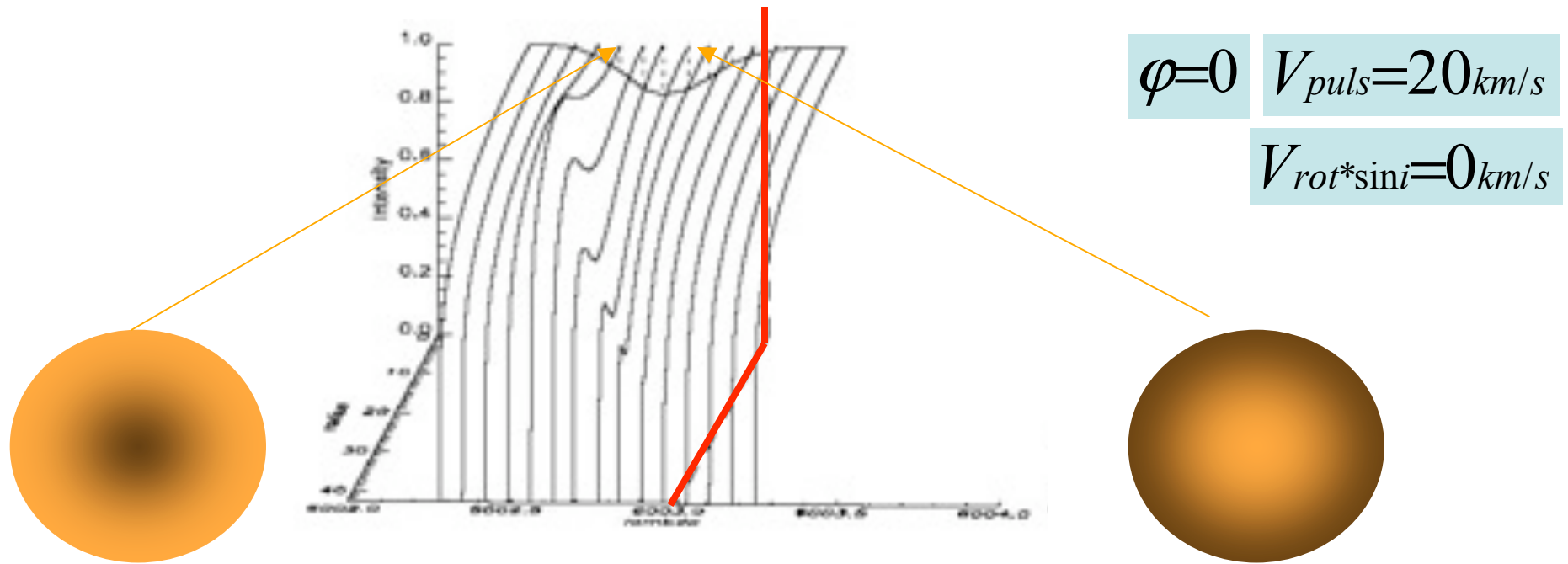
Perspectives : spectro-interférométrie



$$\varphi=0 \quad V_{puls}=20\text{km/s}$$

$$V_{rot}*\sin i=0\text{km/s}$$

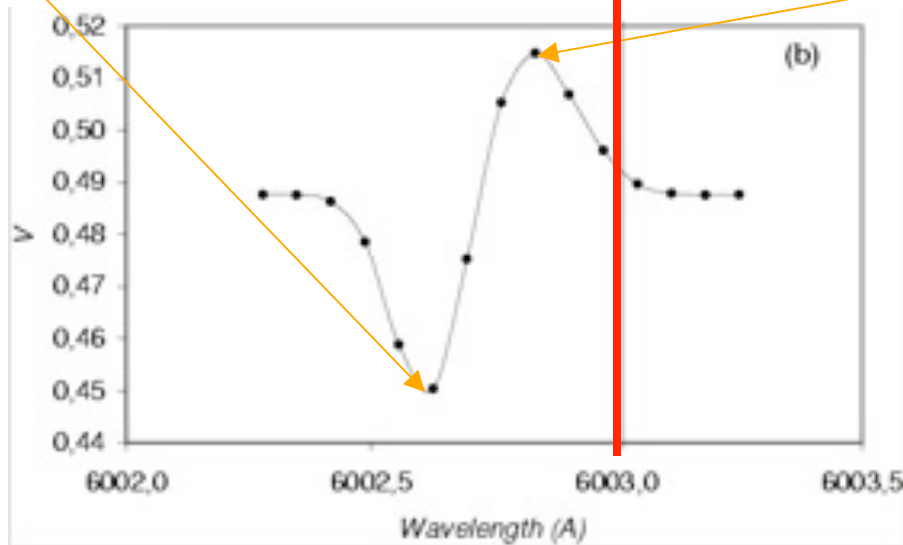
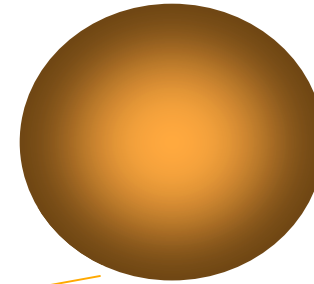
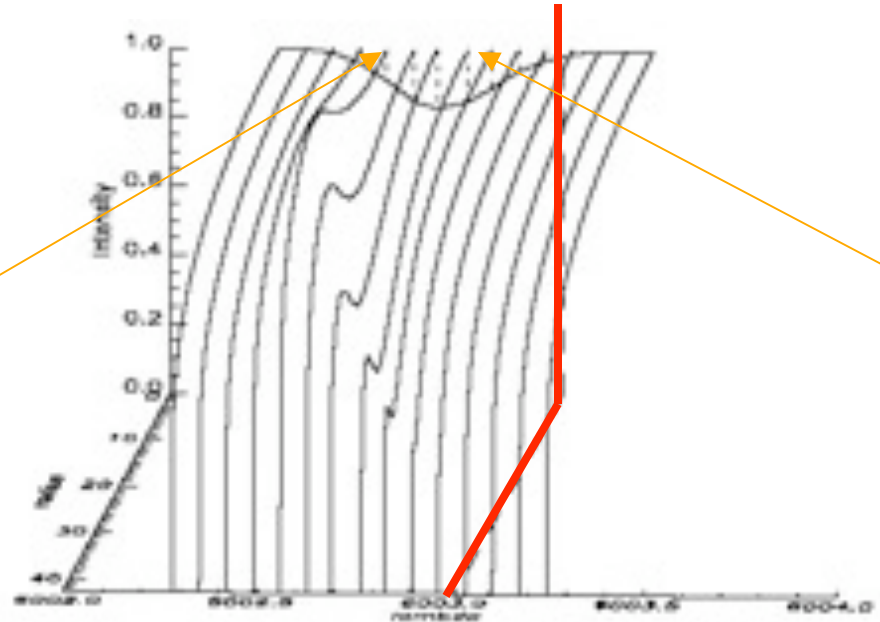
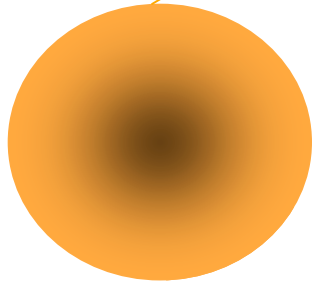
Perspectives : spectro-interférométrie



Perspectives : spectro-interférométrie

$$\varphi=0 \quad V_{puls}=20\text{km/s}$$

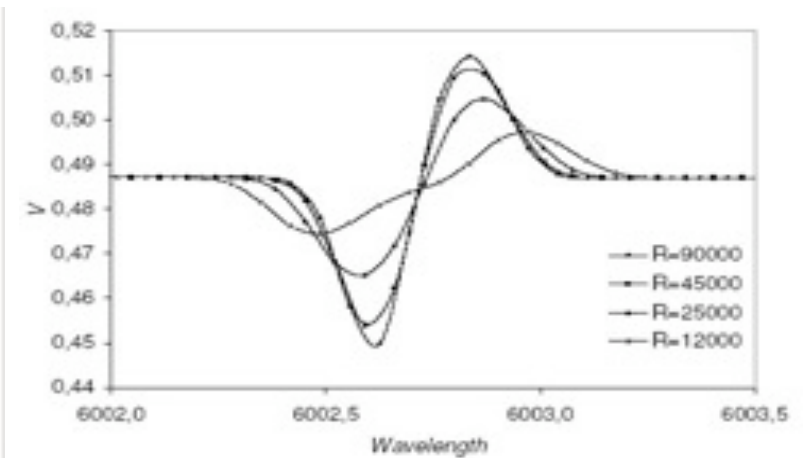
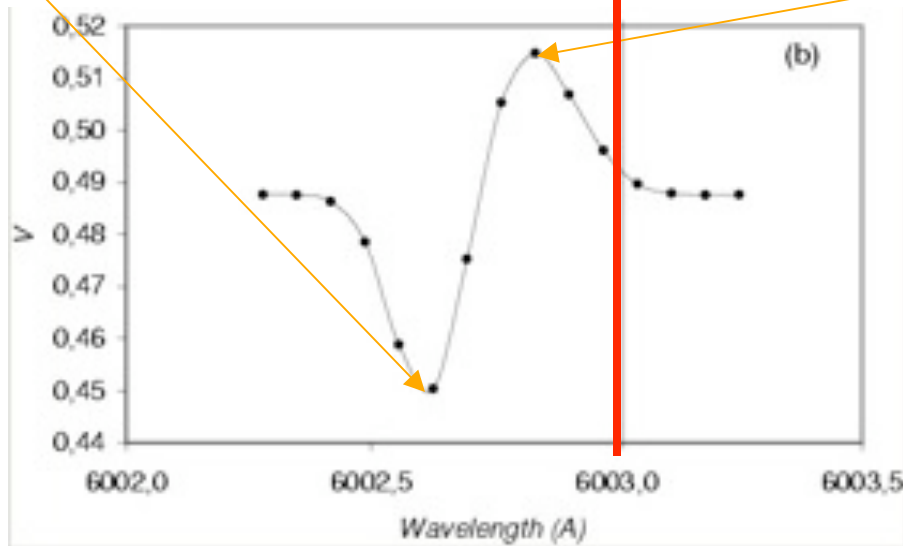
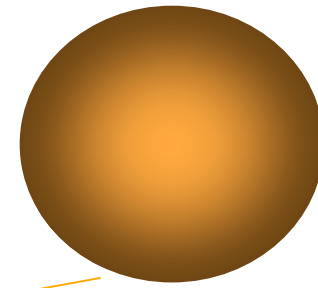
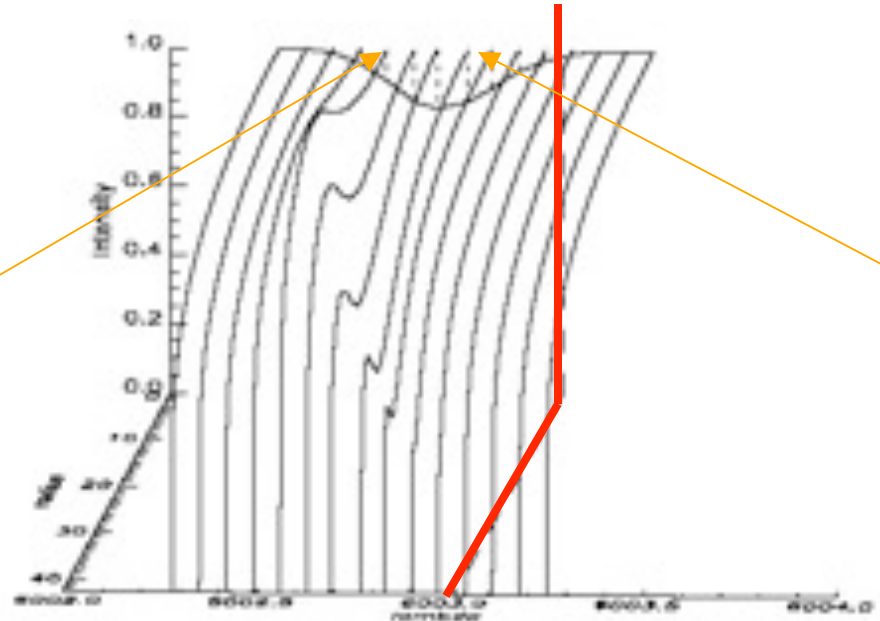
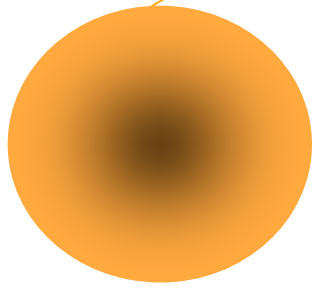
$$V_{rot} \cdot \sin i = 0\text{km/s}$$



Perspectives : spectro-interférométrie

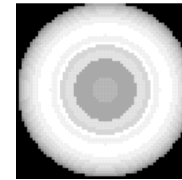
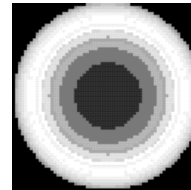
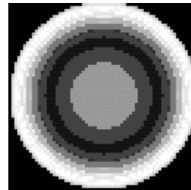
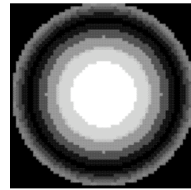
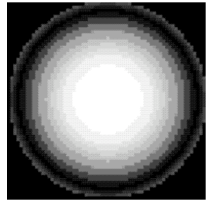
$$\varphi=0 \quad V_{puls}=20 \text{ km/s}$$

$$V_{rot} \cdot \sin i = 0 \text{ km/s}$$



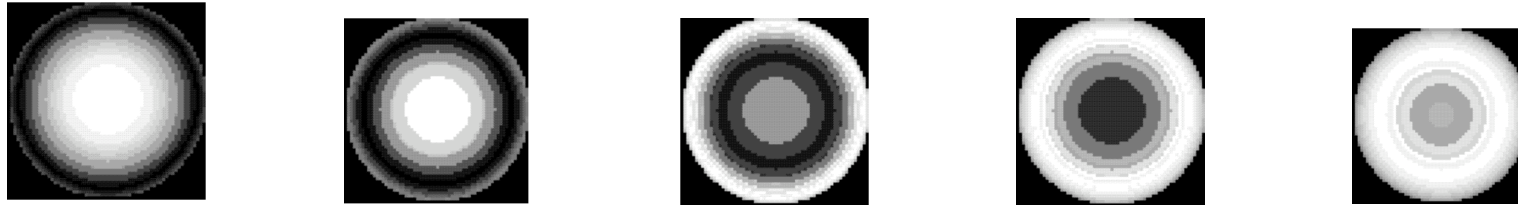
Perspectives : spectro-interférométrie

$$\boxed{ACB} \quad \sigma_c \quad \textcircled{V_{puls}} \quad \cancel{V_{rot} \sin i} + D \quad \theta$$

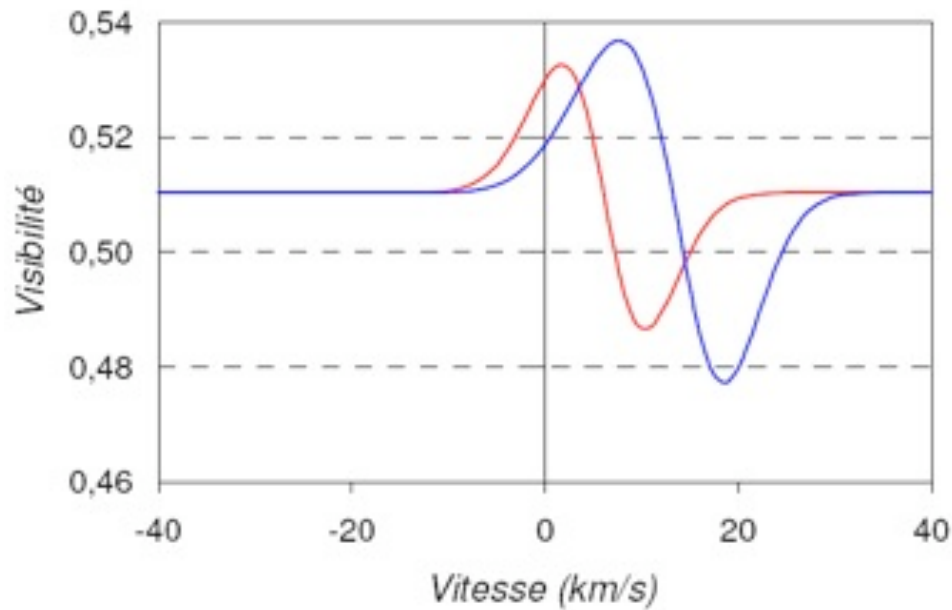


Perspectives : spectro-interférométrie

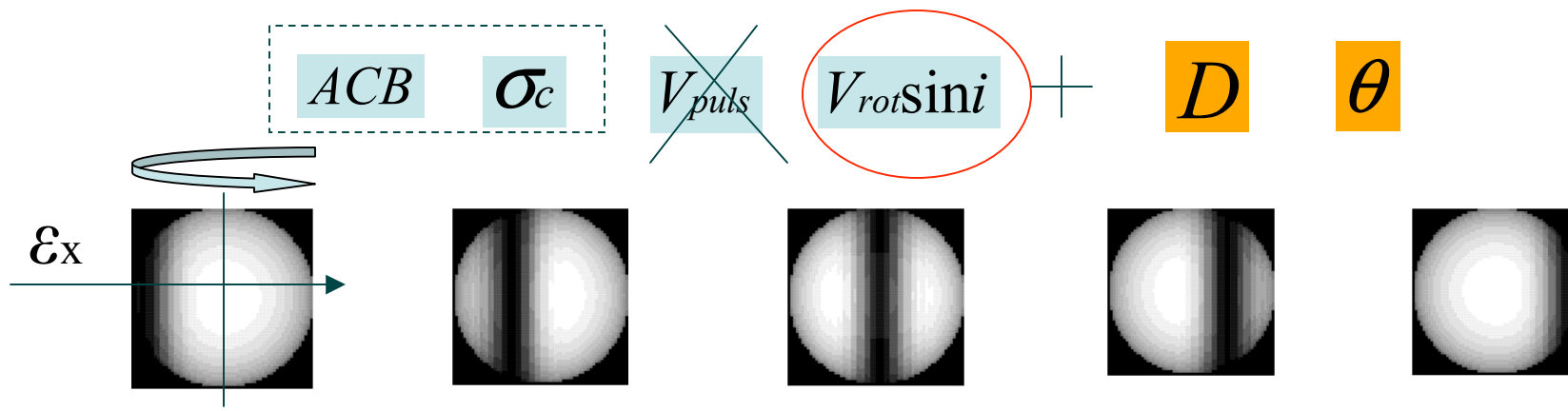
$$\boxed{ACB} \quad \boxed{\sigma_c} \quad \boxed{V_{puls}} \quad \cancel{\boxed{V_{rot} \sin i}} + \boxed{D} \quad \boxed{\theta}$$

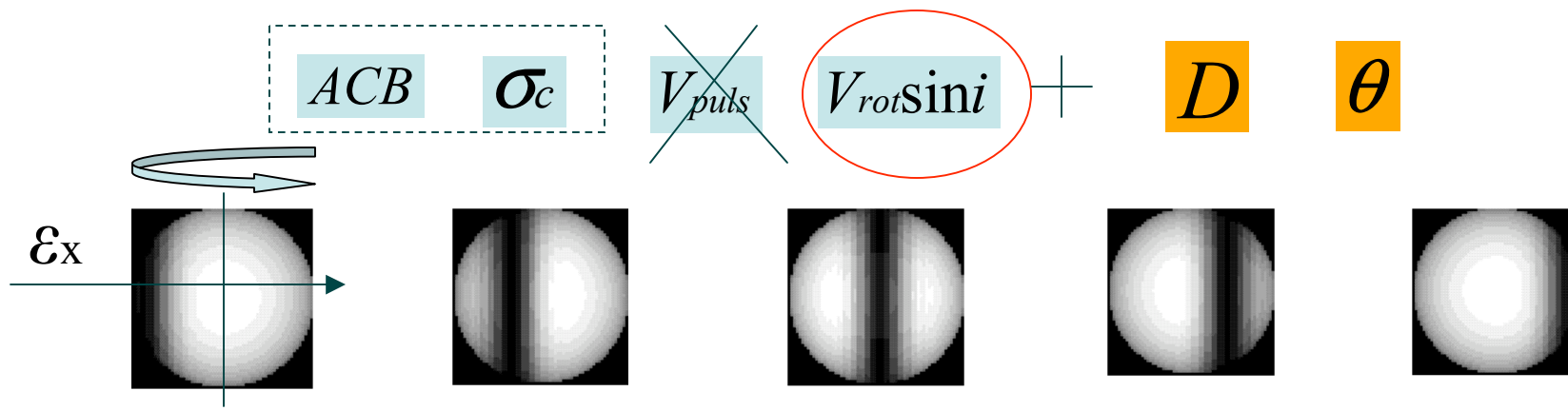


$$V_{puls} : \boxed{10} \text{ \& \ } \boxed{20} \text{ km/s}$$

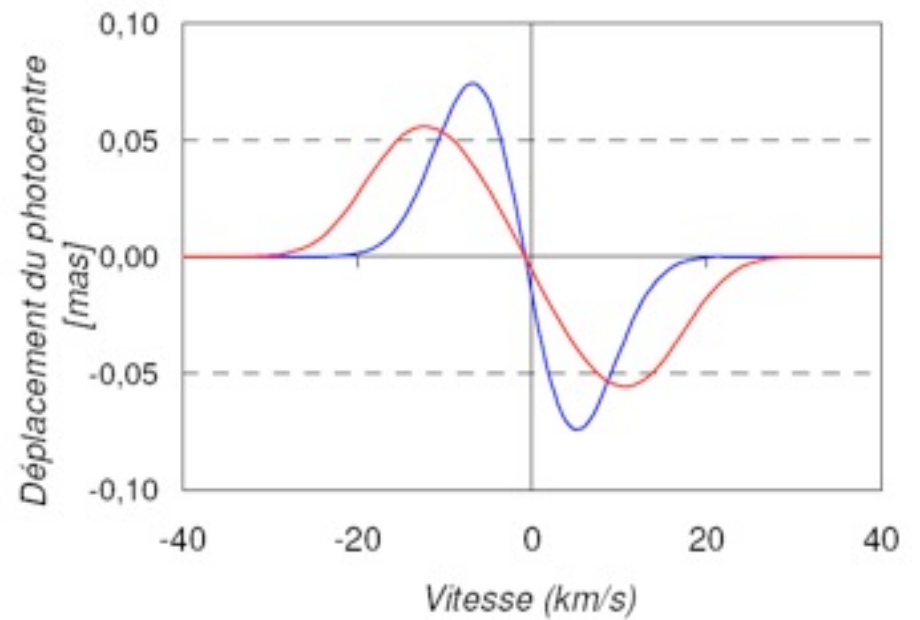
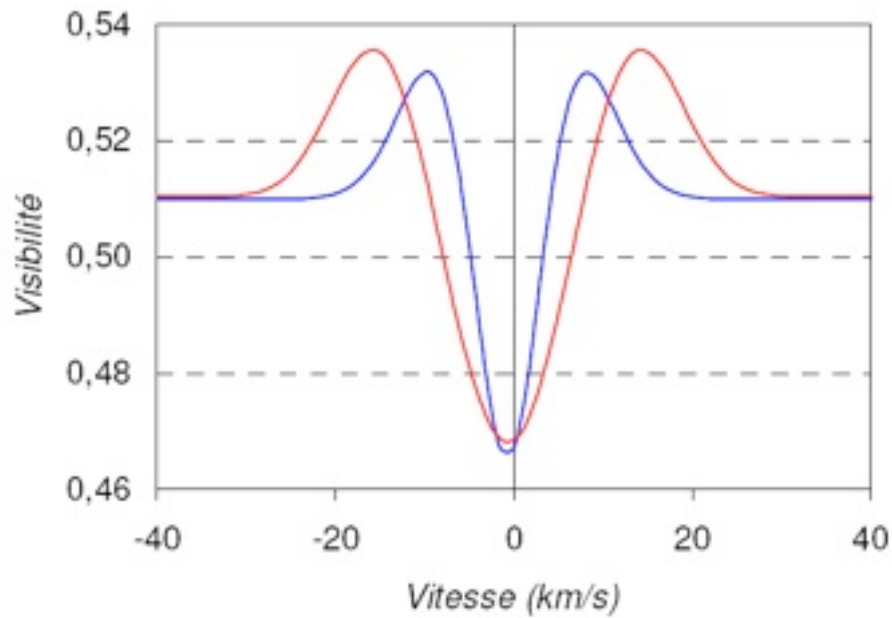


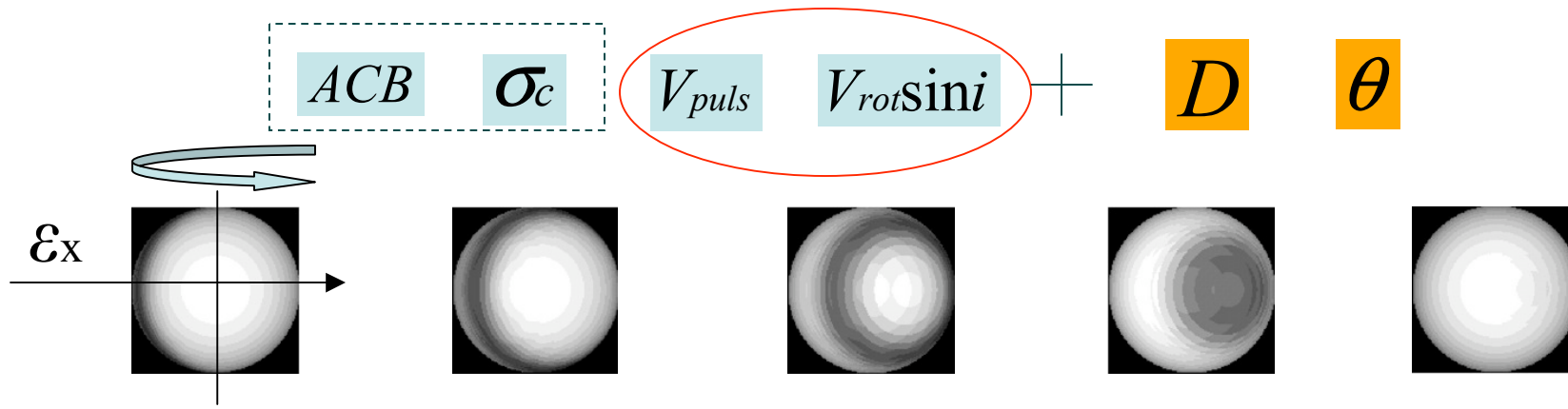
Pas de déplacement du photocentre

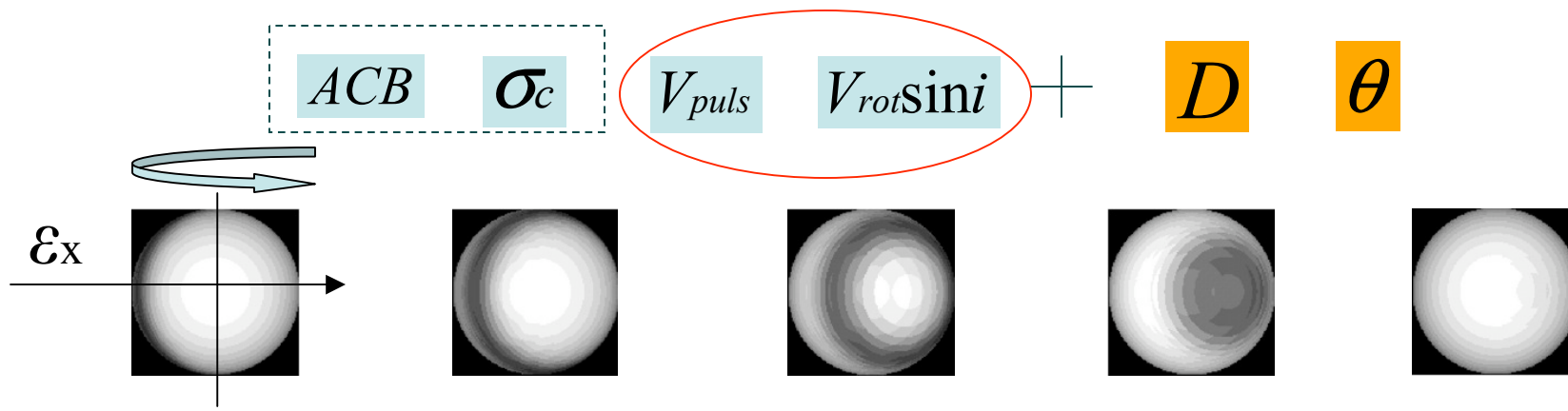




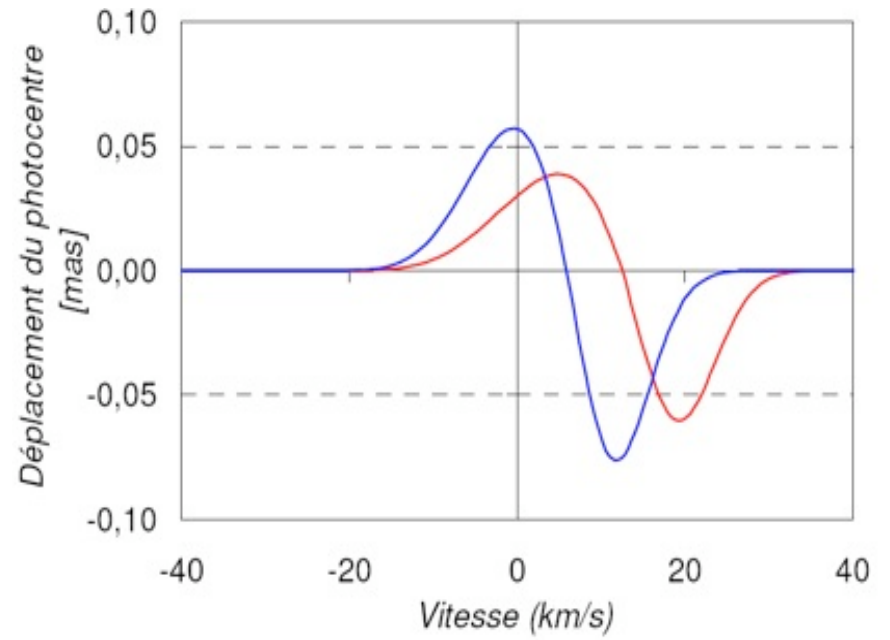
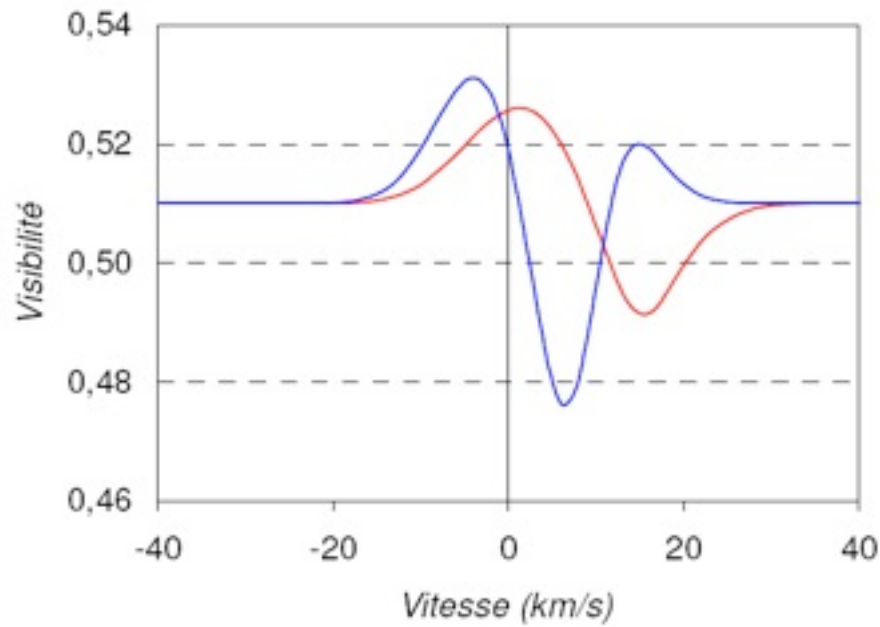
$V_{rot} \sin i$: 10 à 20 km/s

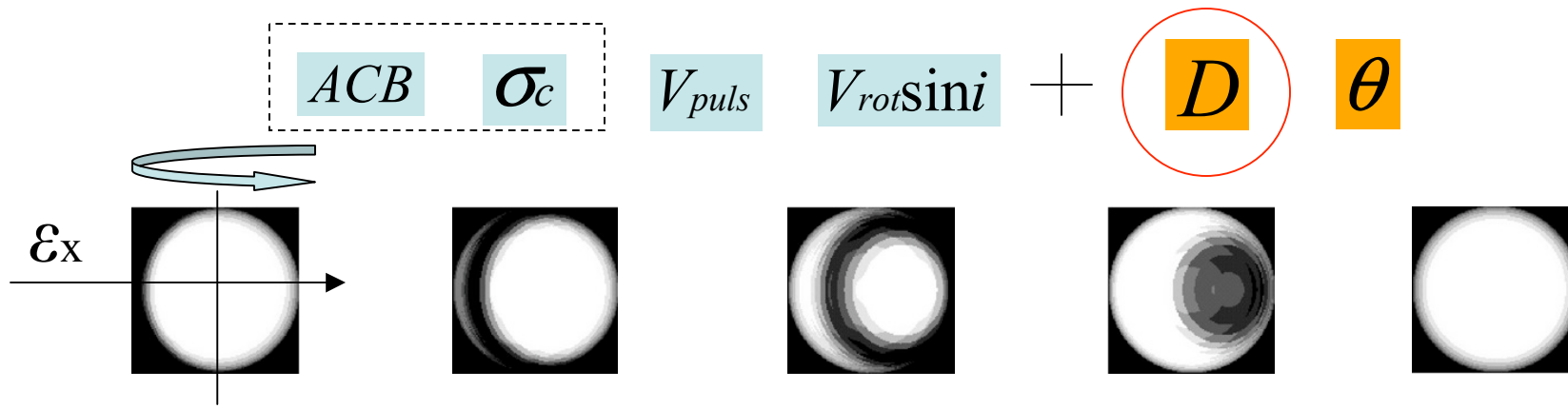


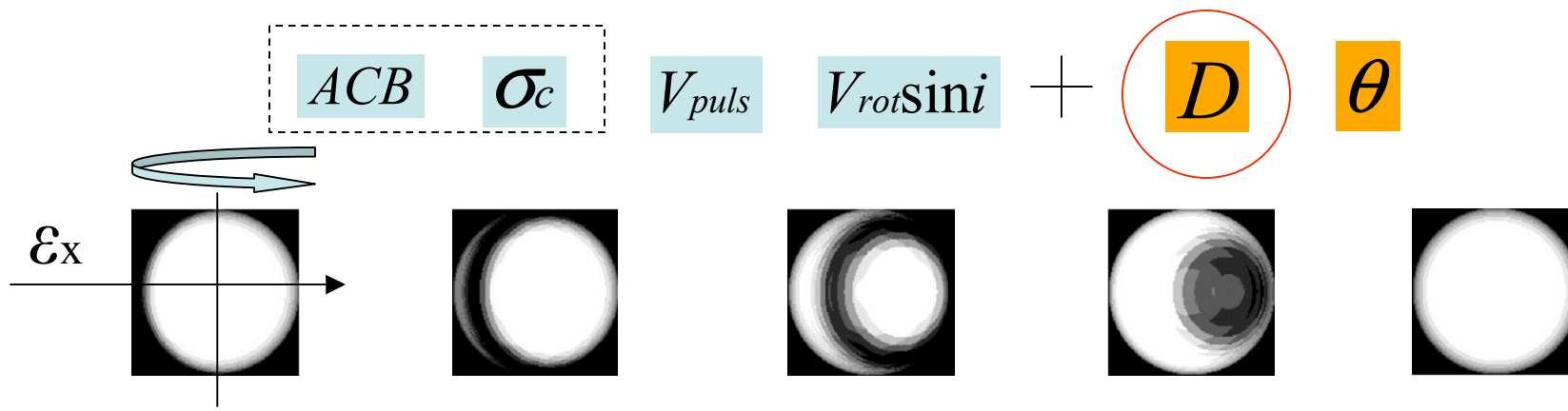




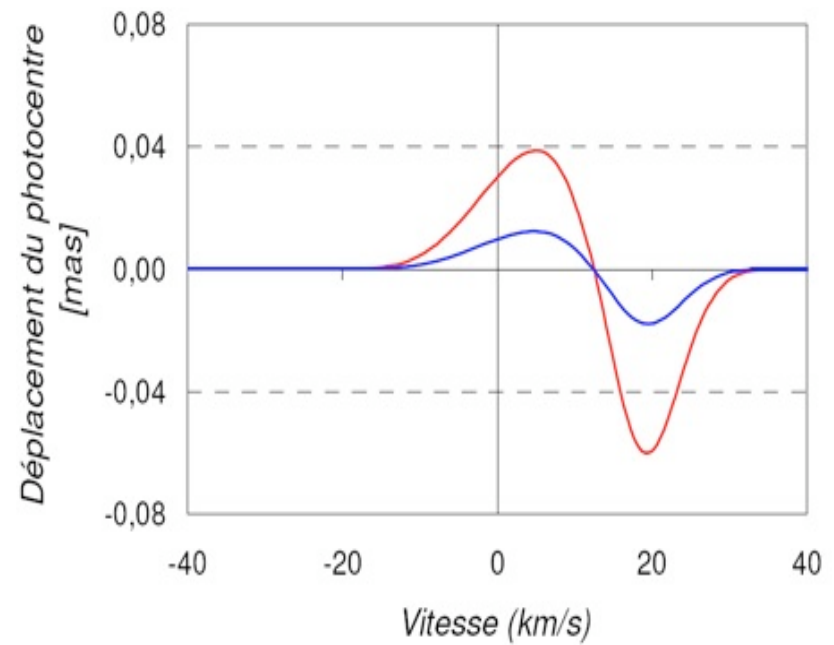
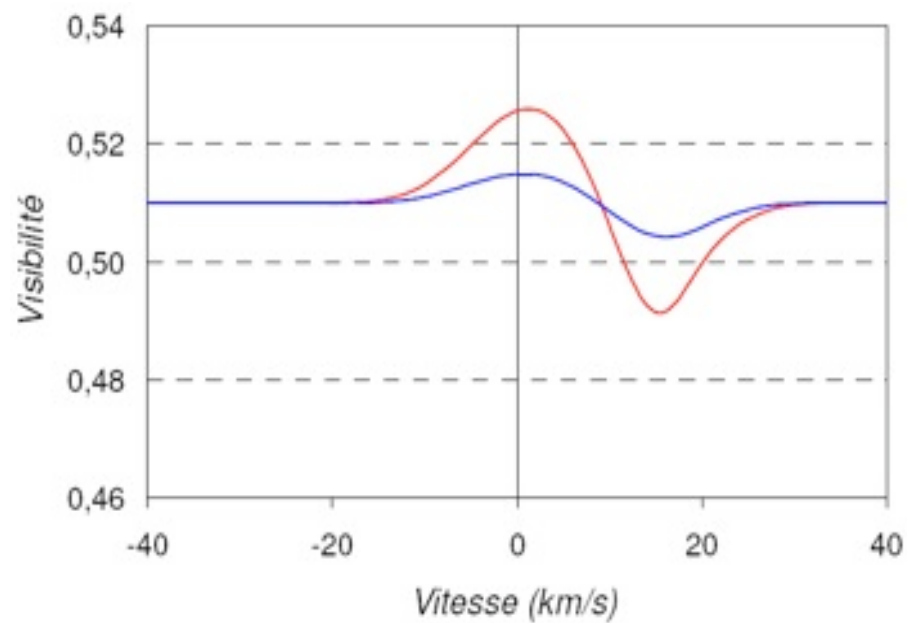
$V_{puls} : 10 \text{ \& } 20 \text{ km/s} + V_{rot \sin i} : 10 \text{ km/s}$

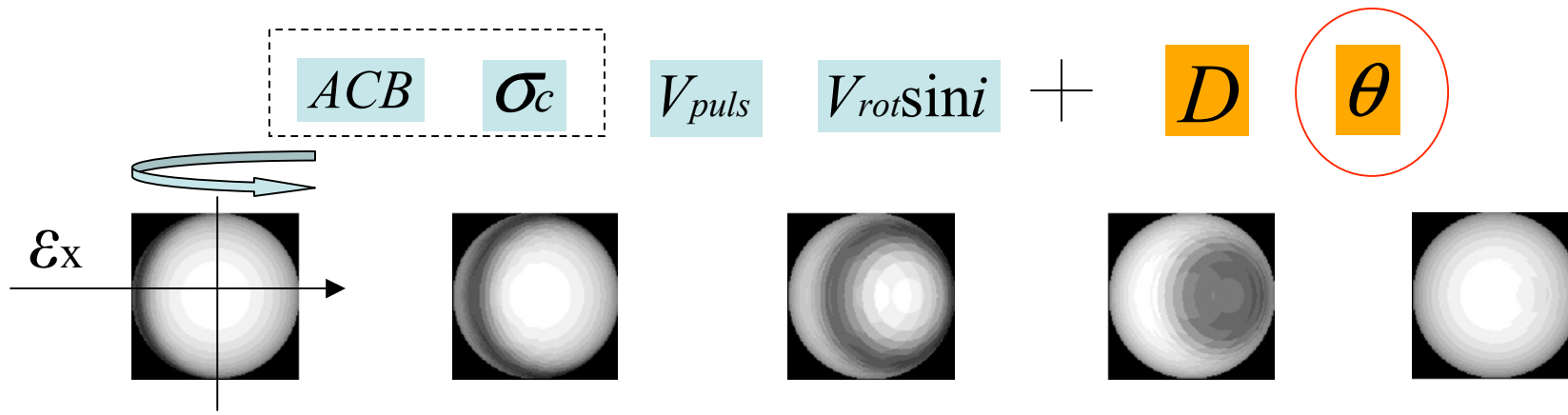


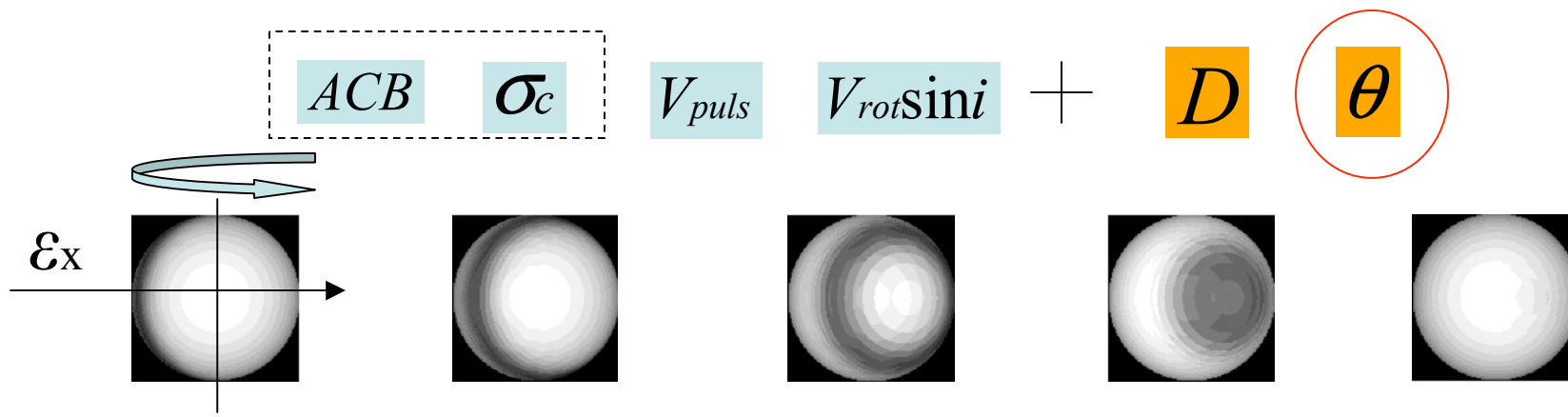




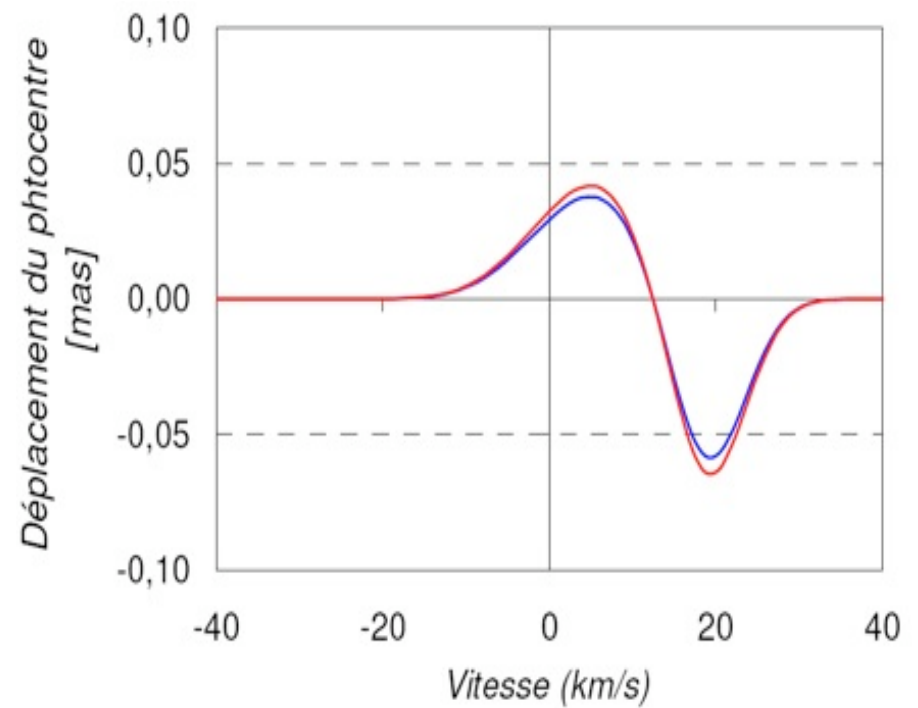
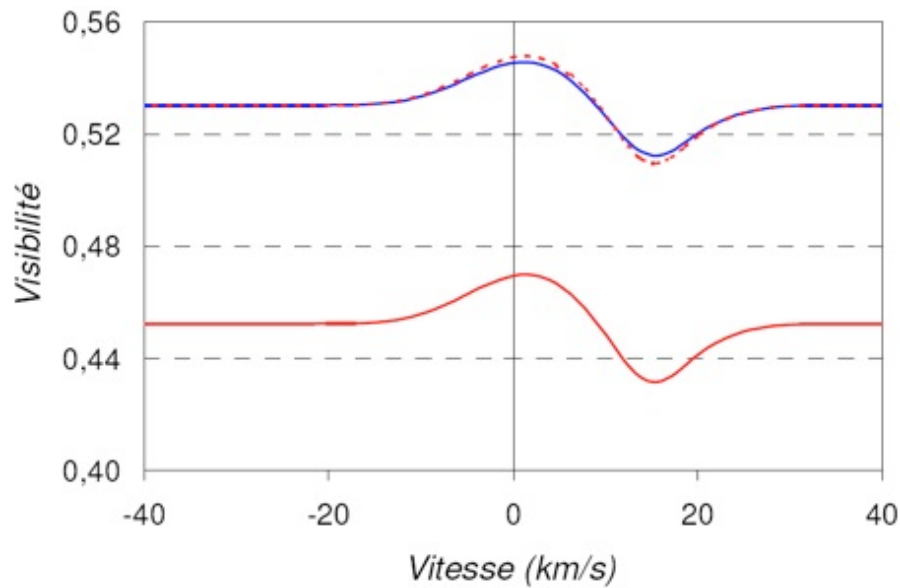
A : 0.05 à 0.15 of continuum







θ 1.38 mas & 1.53 mas (10%)

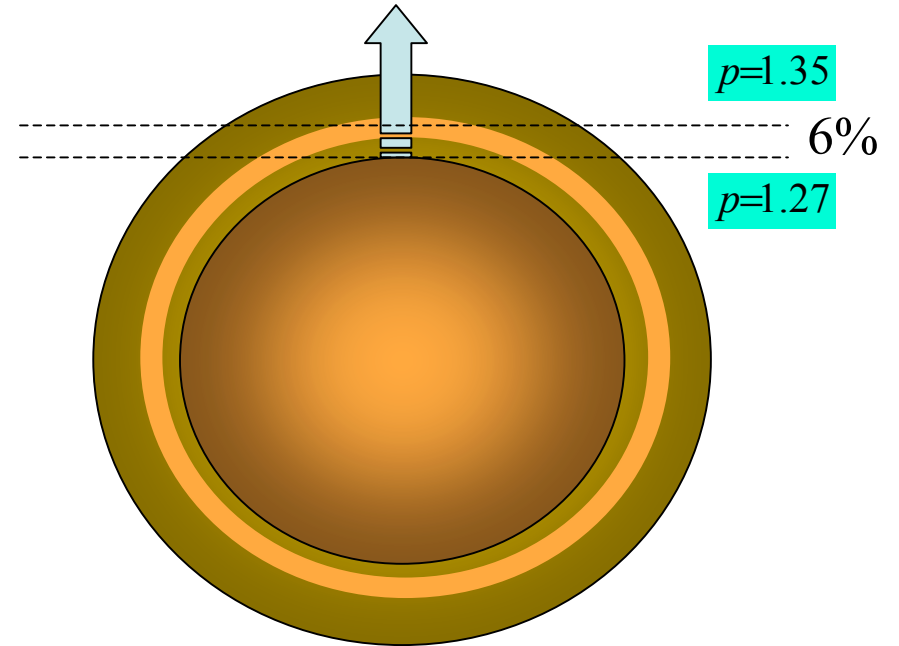
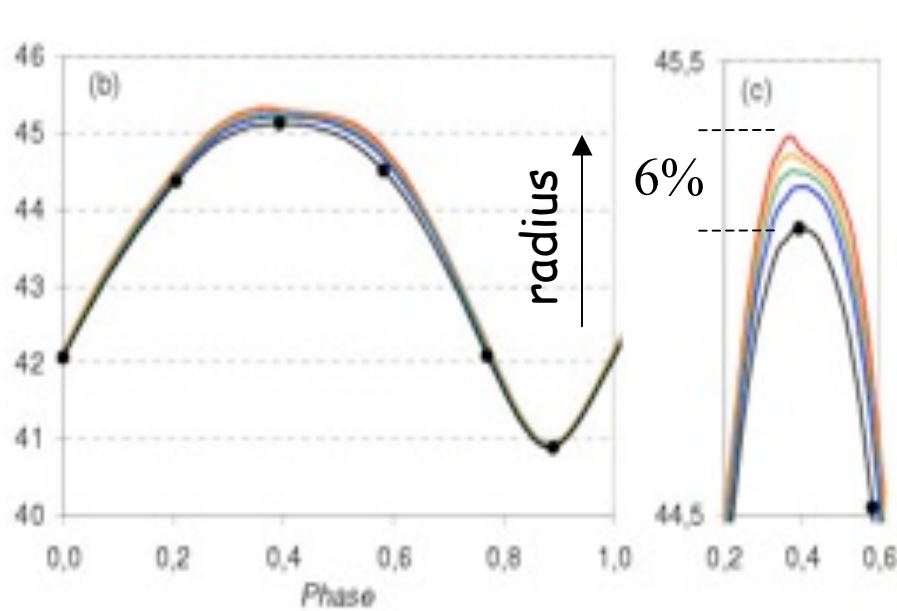


Precision at $1 \mu m$ & $B=200m$: $1 \mu as$ (AMBER/VLTI)
 Precision at $0.6 \mu m$ & $B=300m$: $0.5 \mu as$ (VEGA/CHARA)

Perspectives : spectro-interférométrie

« Probing the dynamical structure of Cepheid's atmosphere »

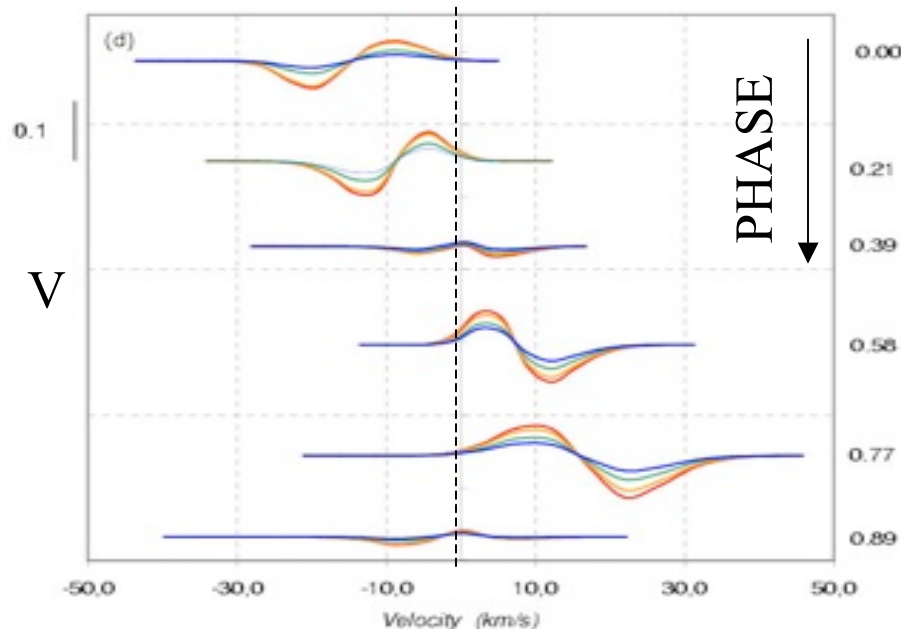
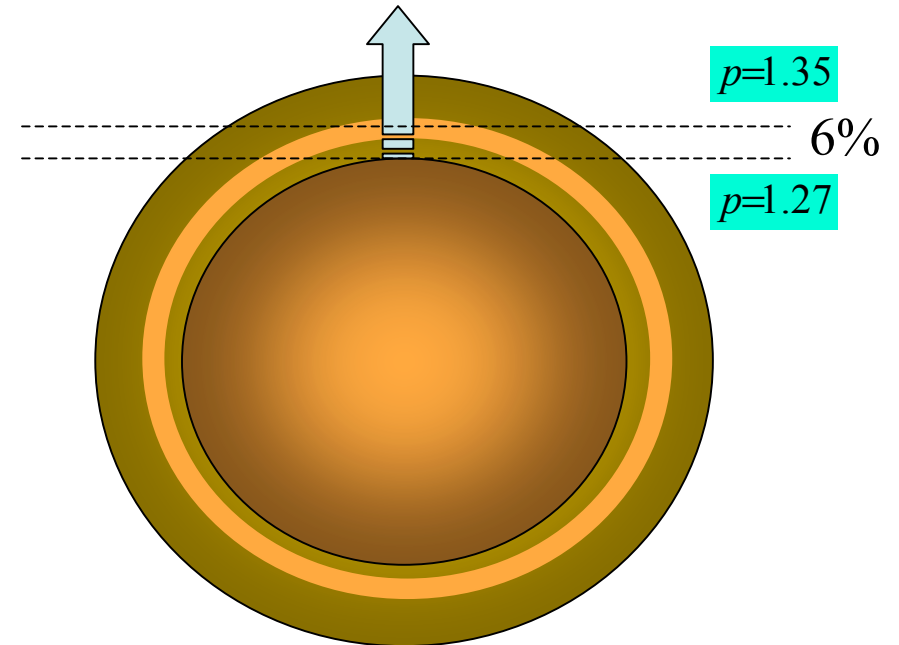
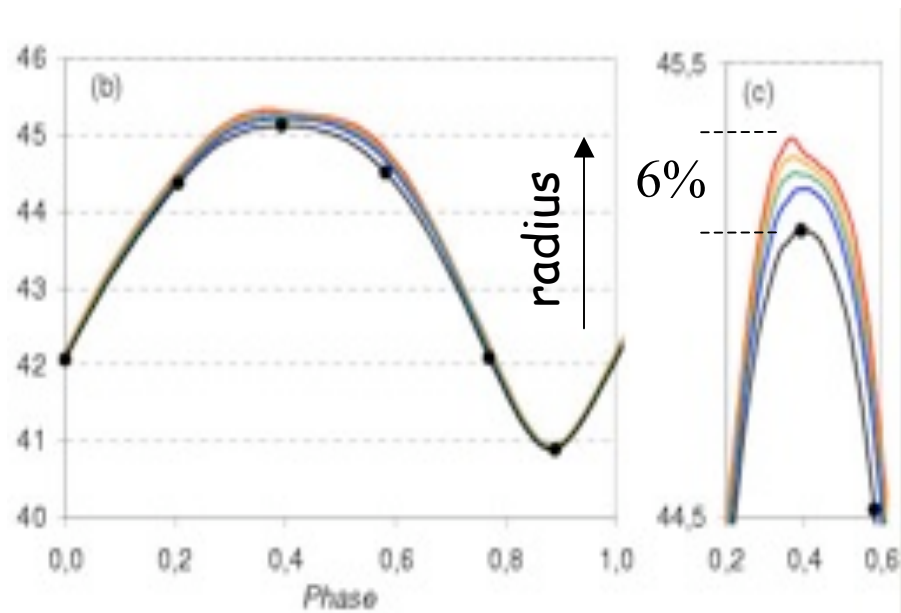
N. Nardetto, F. Fokin, D. Mourard, Ph. Mathias, 2005, A&A, 454, 327



Perspectives : spectro-interférométrie

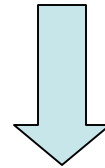
« Probing the dynamical structure of Cepheid's atmosphere »

N. Nardetto, F. Fokin, D. Mourard, Ph. Mathias, 2005, A&A, 454, 327



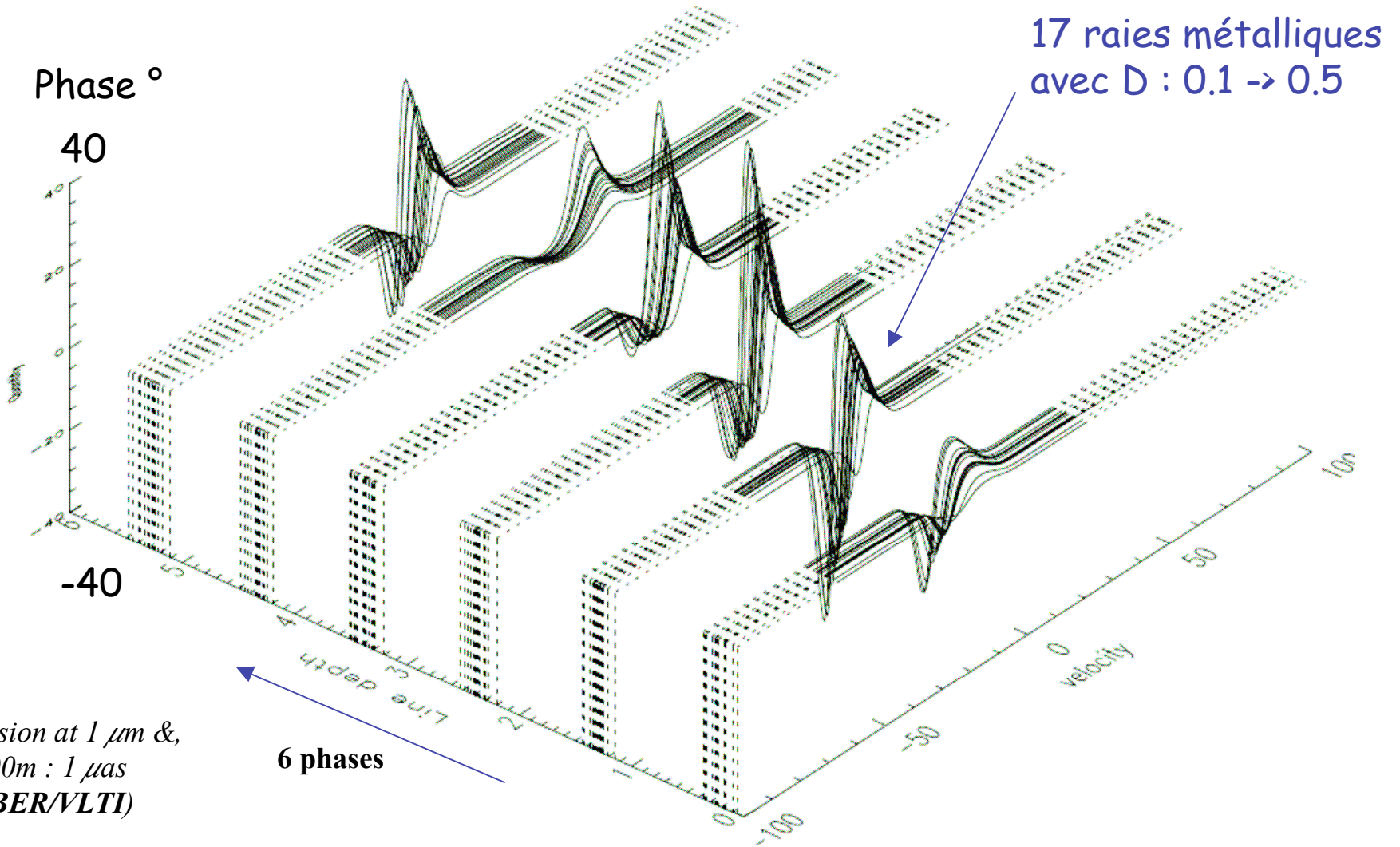
Conclusion:

PHYSIQUE DES CEPHEIDES



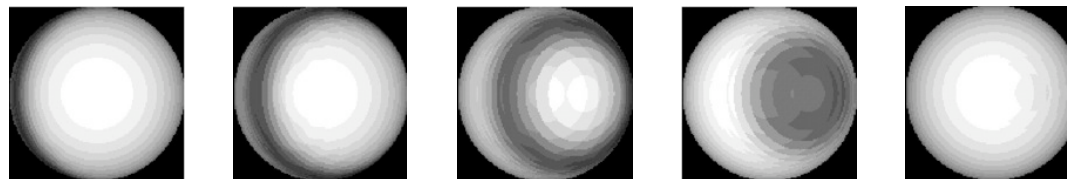
DISTANCES GALACTIQUES & EXTRAGALACTIQUES
CONSTANTE DE HUBBLE

p-facteur & spectro-interférométrie(3/3)



Precision at $1 \mu\text{m}$ &
 $B=200\text{m}$: $1 \mu\text{s}$
 (AMBER/VLTI)

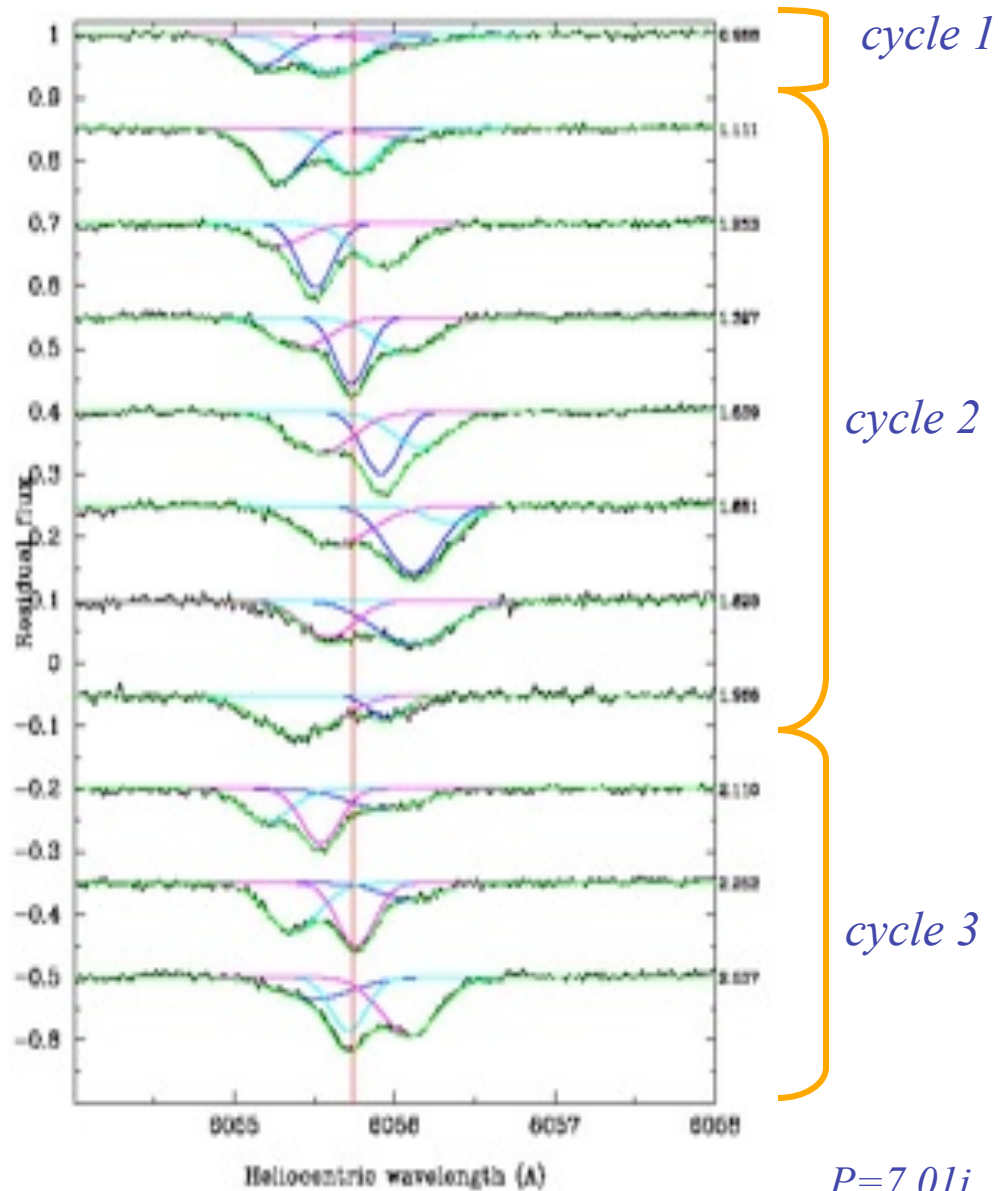
Precision at $0.6 \mu\text{m}$ &
 $B=300\text{m}$:
 $0.5 \mu\text{s}$
 (VEGA/CHARA)



Le cas atypique de X Sgr

Multiple shock waves in the atmosphere of the Cepheid X Sagittarii?

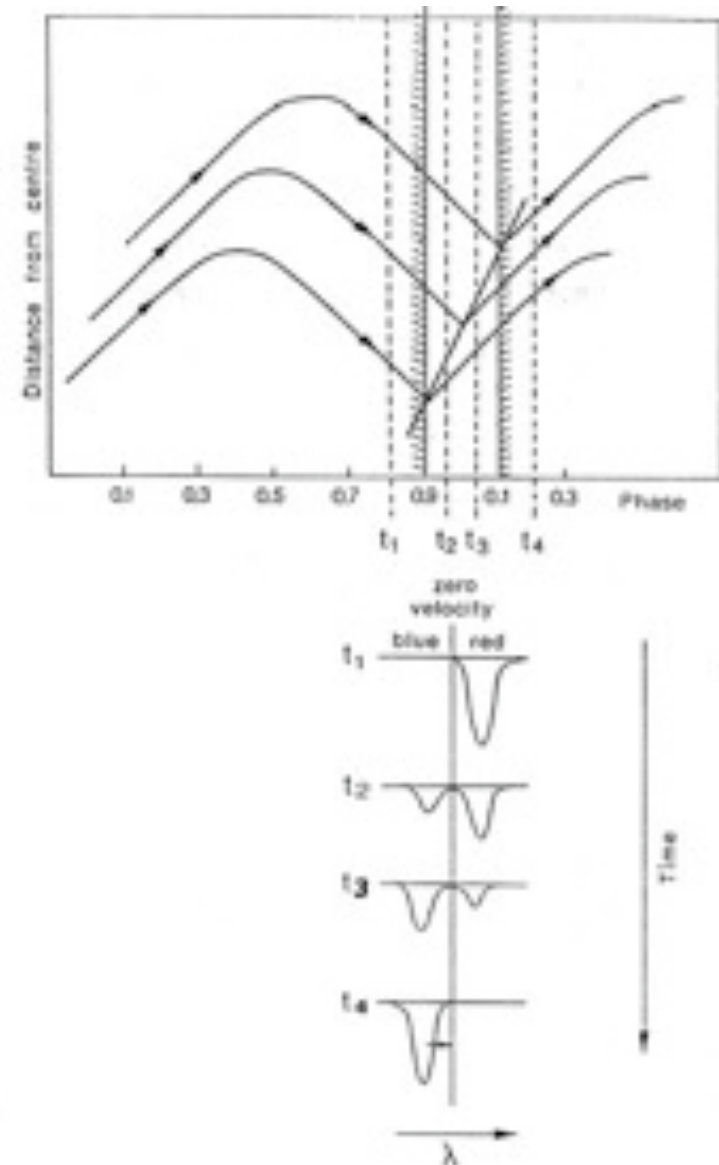
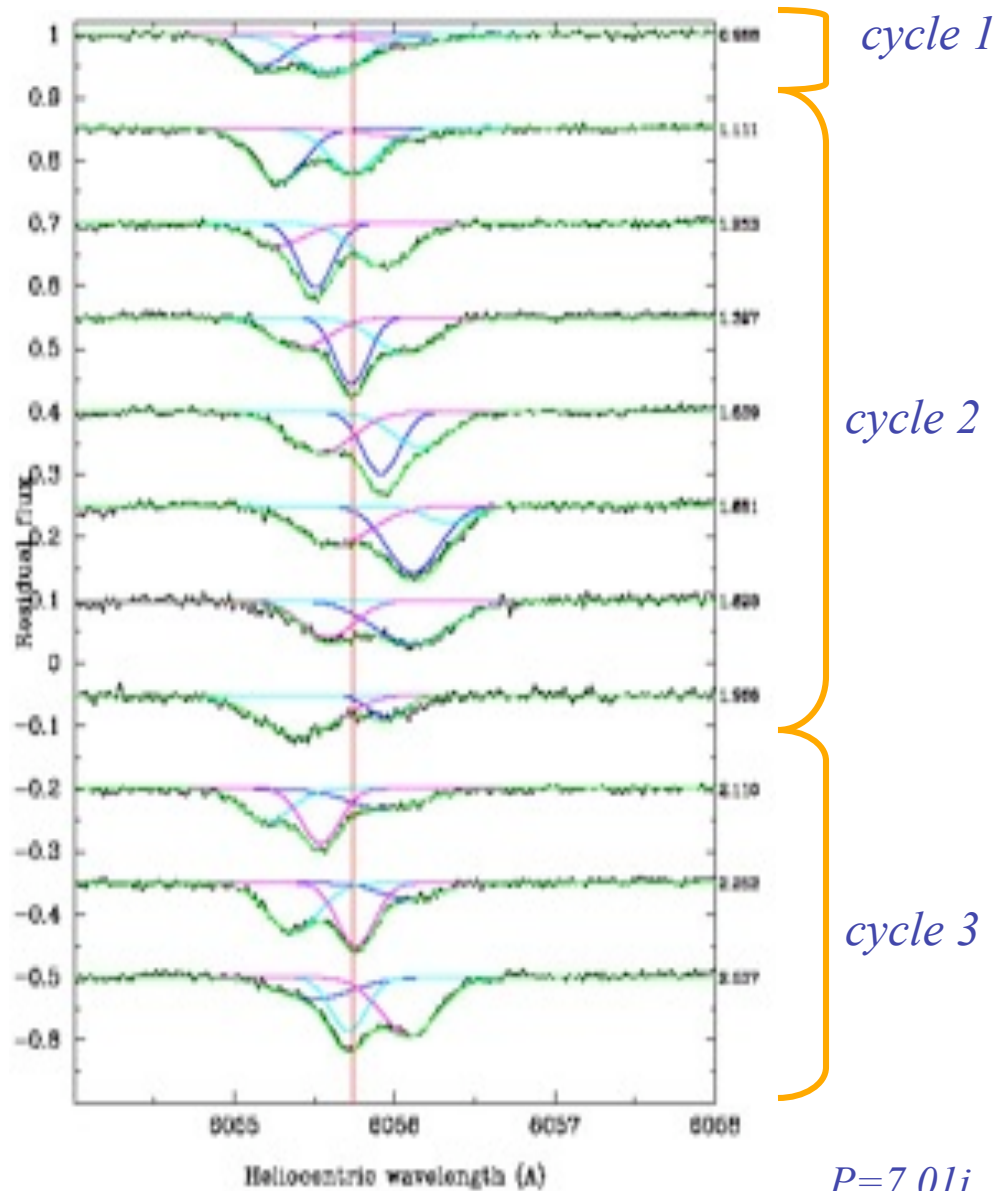
Mathias, P.; Gillet, D.; Fokin, A. B.; Nardetto, N.; Kervella, P.; Mourard, D., A&A, 2006, 457, 575



Le cas atypique de X Sgr

Multiple shock waves in the atmosphere of the Cepheid X Sagittarii?

Mathias, P.; Gillet, D.; Fokin, A. B.; Nardetto, N.; Kervella, P.; Mourard, D., A&A, 2006, 457, 575



OBSERVATIONS versus MODELISATION : perspectives

2. Asymétrie des raies métalliques non expliquée

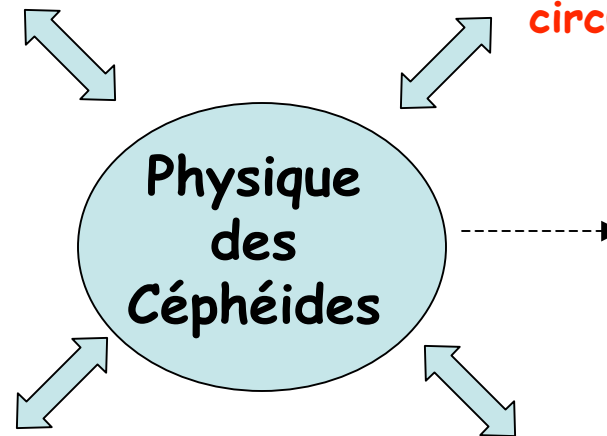
P-«dynamique atmosphérique»

- **Grille adaptative:** Vienne
- **Convection:** Lyon, Vienne

1. Profils d'hydrogène non expliqués

P- «perte de masse»
P-«env. circumstellaire»

- **Modélisation de l'enveloppe circumstellaire**



Extension aux **étoiles pulsantes** du diag. HR

- **Transfert radiatif hors-ETL...**
Boston, Moscou, ...

P-«assombrissement centre-bord»

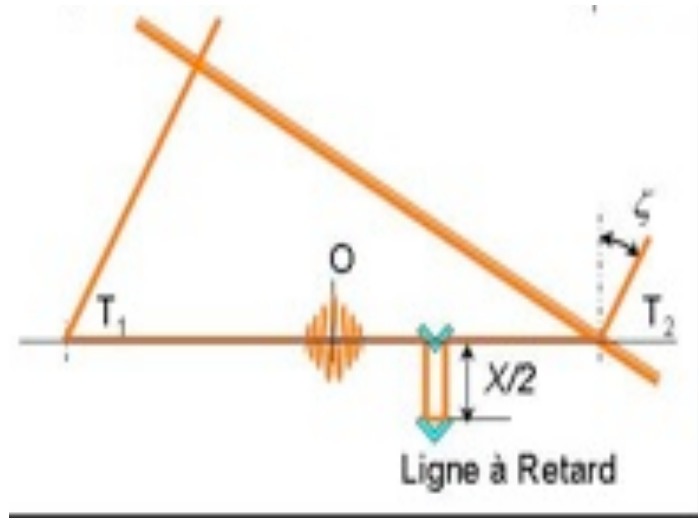
3. Lois d'ACB incompatibles (moyenne et variation)

- **Evolution/pulsation:**
Lyon, Rome, Budapest, Nice (CESAM)

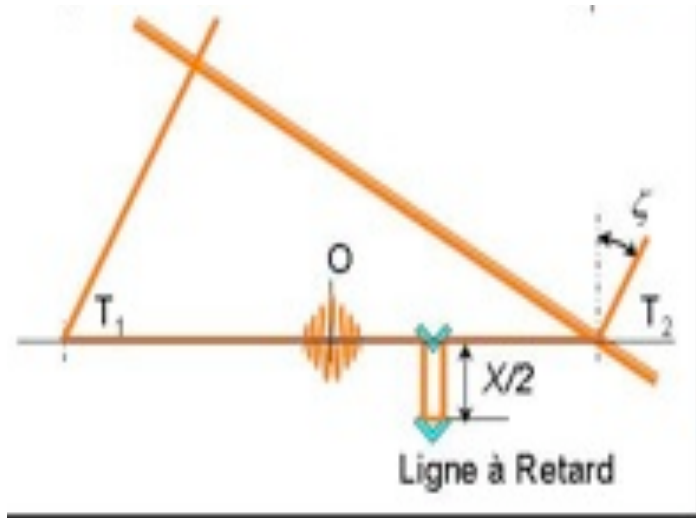
P-«masse»
paramètres fondamentaux

4. Masses incompatibles (10%)

Principe de l'interférométrie



Principe de l'interférométrie

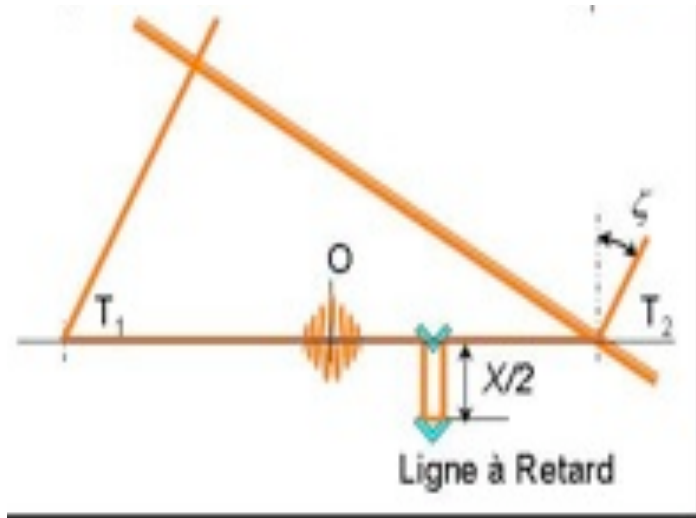


$$I = |\Psi_1 + \Psi_2 e^{i\theta}|^2$$

$$I = |\Psi_1|^2 + |\Psi_2|^2 + 2\Psi_1\Psi_2^* \cos(\theta)$$

$$I = (I_1 + I_2) * \left(1 + \frac{2\sqrt{I_1 I_2}}{I_1 + I_2} * \frac{\Psi_1 \Psi_2^*}{\sqrt{|\Psi_1|^2 |\Psi_2|^2}} * \cos(\theta) \right)$$

Principe de l'interférométrie



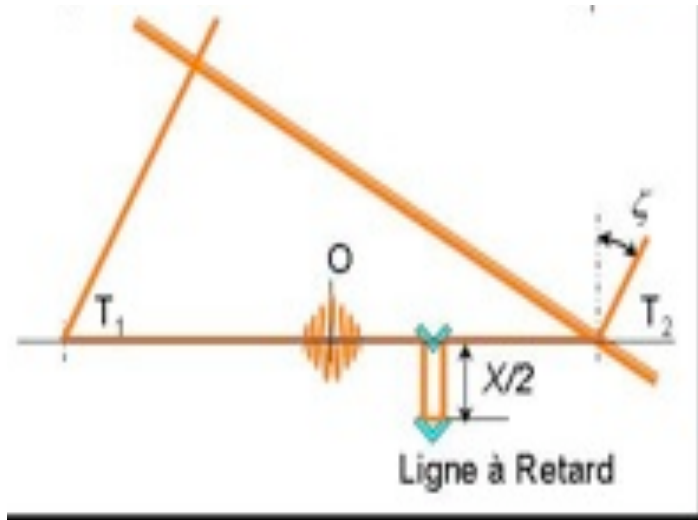
$$I = |\Psi_1 + \Psi_2 e^{i\theta}|^2$$

$$I = |\Psi_1|^2 + |\Psi_2|^2 + 2\Psi_1\Psi_2^* \cos(\theta)$$

$$I = (I_1 + I_2) * \left(1 + \frac{2\sqrt{I_1 I_2}}{I_1 + I_2} * \frac{\Psi_1 \Psi_2^*}{\sqrt{|\Psi_1|^2 |\Psi_2|^2}} * \cos(\theta) \right)$$

$$\gamma_{12} = \frac{\Psi_1 \Psi_2^*}{\sqrt{|\Psi_1|^2 |\Psi_2|^2}} = \frac{\left| \tilde{O}\left(\frac{B}{\lambda}\right) \right|}{\left| \tilde{O}(0) \right|}$$

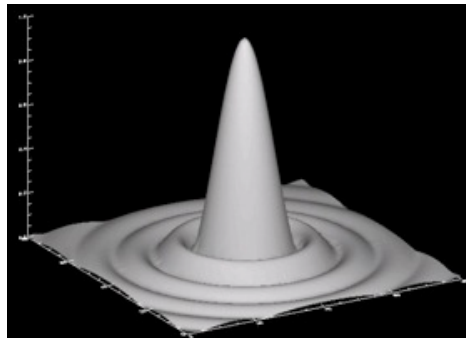
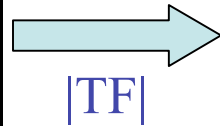
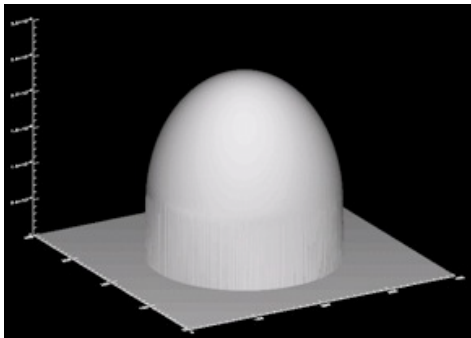
Principe de l'interférométrie



$$I = |\Psi_1 + \Psi_2 e^{i\theta}|^2$$

$$I = |\Psi_1|^2 + |\Psi_2|^2 + 2\Psi_1\Psi_2^* \cos(\theta)$$

$$I = (I_1 + I_2) * \left(1 + \frac{2\sqrt{I_1 I_2}}{I_1 + I_2} * \frac{\Psi_1 \Psi_2^*}{\sqrt{|\Psi_1|^2 |\Psi_2|^2}} * \cos(\theta) \right)$$



$$\gamma_{12} = \frac{\Psi_1 \Psi_2^*}{\sqrt{|\Psi_1|^2 |\Psi_2|^2}} = \frac{\left| \tilde{O}\left(\frac{B}{\lambda}\right) \right|}{\left| \tilde{O}(0) \right|}$$

θ PHOTOSPHERE
ACB